

**AKDENİZ ÜNİVERSİTESİ  
FEN BİLİMLERİ ENSTİTÜSÜ**

**BİYOMAS ENERJİSİ**

**(BİR UYGULAMA: GÜL ARTIKLARININ İNCELENMESİ)**

**YÜKSEK LİSANS TEZİ**

**Mak.Müh. Mustafa Reşit USAL**

**Tezin Enstitüye verildiği tarih:**

**Tezin Savunulduğu tarih :**

**Tez Danışmanı : Yrd.Doç.Dr.Mustafa USAL**

**Diğer Juri Üyeleri : Prof.Dr.Ing.Z.Kâzım TELLİ**

**EYLÜL-1988**

## Ö N S Ö Z

Yeni enerji kaynakları bulmak ve bunları enerji üretiminde etkin bir şekilde değerlendirebilmek yüzyılımızın en önemli konusu haline gelmiştir. Biyomas'dan enerji üretimi yeni bir konu olmamakla birlikte yapılan çalışmalar, bulunan yeni biyomas kaynakları ve geliştirilen teknoloji her geçen gün konuya yeni boyutlar kazandırmaktadır.

Bu alanda çalışmamı sağlayan hem literatür hem de deneysel araştırmalarımda her bakımdan yardımcı olan Sayın Yrd.Doç.Dr.Mustafa ACAR bey'e gösterdiği kolaylıklar, sabır ve metanetinden dolayı en derin saygı ve şükranlarımı sunarım.

Çalışmalarım esnasında, tezin yazımı ve tamamlanmasında yardımcı dokunan herkese burada teşekkür etmeyi bir borç bilirim.

İSPARTA-1988

M.Reşit USAL

## İÇİNDEKİLER

### Sayfa

ÖNSÖZ .....	1
İÇİNDEKİLER .....	II-III
SEMBOLLER .....	IV-V
ŞEKİL LİSTESİ .....	VI
TABLO LİSTESİ .....	VII
TÜRKÇE ÖZET .....	VIII
YABANCI DİLDE ÖZET .....	III
BÖLÜM 1: GİRİŞ .....	1
BÖLÜM 2: BİYOMAS HAKKINDA GENEL BİLGİ .....	4
2.1. Biyomas Enerjisinin Geçmişten Günümüze Gelişimi .....	4
2.2. Dünya'da Biyogaz Üretim Çalışmaları .....	5
2.3. Türkiye'de Biyogaz Üretim Çalışmaları .....	6
2.4. Biyogazın Tanımı ve Özellikleri .....	8
2.5. Biyogazın Kullanım Alanları .....	8
2.6. Ülkemizin Hayvansal ve Bitkisel Biyogaz Potansiyeli .....	12
BÖLÜM 3: BİYOMAS'DAN YARARLANMA TEKNİKLERİ .....	15
3.1. Termokimyasal Dönüşümler .....	15
3.1.1. Direkt Yakma .....	15
3.1.2. Gazifikasiyon .....	16
3.1.3. Piroliz .....	21
3.2. Biyokimyasal Dönüşümler .....	26
3.2.1. Fermentasyon Tekniği .....	26
3.2.1.1. Biyogaz Üretim Prosesleri .....	26
3.2.1.2. Etanol Prosesleri .....	26
3.2.2. Hidrojen Eldesi .....	27
3.3. Enerji Üretim Tekniklerinin İrdelenmesi .....	27
BÖLÜM 4: ANAEROBİK SİNDİRİM .....	29
4.1. Prosesin Biyokimyası .....	29
4.2. Biyogaz Oluşumunun Mikrobiyolojisi .....	32
4.3. Biyogaz Üretimine Etki Eden Faktörler .....	34
4.3.1. Mikroorganizmaların Üreme Evreleri .....	34
4.3.2. Biyogaz Üretiminde Sıcaklığın Etkisi .....	36
4.3.3. Besin ve Katkı Maddelerinin Üretime Etkisi .....	38

4.3.4. Biyolojik Parçalanabilirliğin Üretime Etkisi....	41
4.3.5. Alkalite ve PH'nın Üretime Etkisi .....	42
4.3.6. Aşı Mikroorganizmanın Üretime Etkisi .....	43
4.3.7. Karıştırmanın Üretime Etkisi .....	43
4.3.8. Zehirleyiciler ve Üretime Olan Etkileri .....	44
4.4. Mikroorganizmaların Üremeye Kinetiği .....	45
<b>BÖLÜM 5: BIYOGAZ TESİSLERİ VE ÖZELLİKLERİ .....</b>	<b>50</b>
5.1. Biyogaz Tesislerinin Başlıca Bölümleri .....	51
5.1.1. Gübre Besleme Rogarı .....	51
5.1.2. Bağlantı Boruları .....	51
5.1.3. Fermentör .....	52
5.1.4. Gaz Toplama Yeri .....	53
5.1.5. Fermente Olmuş Gübrenin Tahliye Rogarı .....	53
5.1.6. Gaz Dağıtım Sistemi .....	54
5.1.7. Fermente Olmuş Gübrenin Depolama Yeri .....	54
5.1.8. Isıtma Sistemi .....	55
5.2. Fermentörün Boyutlandırılması .....	59
5.2.1. Fermentör İşi Dengesi .....	59
5.2.2. İşi Transfer Alanı .....	63
5.2.3. Besleme Sistemi .....	64
5.2.4. Karıştırma Sistemi .....	65
5.2.5. İzolasyon .....	66
5.2.6. Ekonomiklik Hesabı .....	66
<b>BÖLÜM 6: GÜL POSALARININ TEORİK VE DENEYSEL İNCELENMESİ .....</b>	<b>68</b>
6.1. Teorik Yaklaşım .....	68
6.2. Deneysel İnceleme .....	72
<b>SONUÇLAR VE ÖNERİLER .....</b>	<b>79</b>
<b>KAYNAKLAR .....</b>	<b>82</b>
<b>EKLER .....</b>	<b>83</b>
<b>ÜZGEÇMİŞ .....</b>	<b>116</b>

## S E M B O L L E R

A	İş transfer alanı, $m^2$
$A_r$	Arrhenius katsayısı, $g\cdot\text{ün}^{-1}$
B	Contois denklemindeki kinetik parametre
b.	Karıştırıcının kanat genişliği, m
BY	Uçucu katının biyolojik parçalanabilirlik yüzdesi
C	Sıvı evredeki karbondioksit derişimi, mol/lt.
$C_d$	Gaz evredeki karbondioksit ile dengede olan sıvı evredeki karbondioksitin derişimi, mol/lt
$C_{p,b}$	Besleme sıvısının ısı kapasitesi $Mj/kg\cdot{}^0C$
$C_{p,Ch_4}$	Metanın molar ısı kapasitesi, $Mj/kmol\cdot{}^0C$
$C_{p,CO_2}$	Karbondioksitin molar ısı kapasitesi, $Mj/kmol\cdot{}^0C$
$C_{p,su}$	Suyun ısı kapasitesi, $kJ/kg\cdot{}^0C$
$D_i$	i katmanın çapı, m
$D_{opt}$	Optimum fermentör çapı, m.
E	Aktivasyon enerjisi, $kJ/kmol$
$E_0$	Yıllık enflasyon yüzdesi
f	Sürtünme faktörü
F0	Yıllık net faiz
GM	Üreteçin birim hacminden günde üretilen metan $m^3/m^3\cdot\text{gün}$
h	Havanın konveksiyonla ısı transfer katsayısı $Mj/m^2\cdot{}^0C\cdot\text{gün}$
$H_{opt}$	Optimum fermentör yüksekliği, m
K	B ile Y nin çarpımından elde edilen kinetik parametre
k	Reaksiyon hız katsayısı, $\text{gün}^{-1}$
$k_i$	i katmanın ısıl iletkenlik katsayısı, $Mj/m^0C\cdot\text{gün}$
M	Amortisman süresi, yıl
N	Karıştırıcının devir sayısı, d/s.
n	Herhangi bir andaki canlı mikroorganizma sayısı

$n_0$	Başlangıç anındaki canlı mikroorganizma sayısı
$Q$	İsı enerjisi, MJ/gün
$R_i$	$i$ katmanın ısıl direnci, ( $^{\circ}\text{C}$ gün/MJ)
$r$	Substrat tüketim hızı (g substrat/lt-gün)
$r_i$	$i$ katmanın yarıçapı, m
$S_0$	Başlangıç anındaki substrat konsantrasyonu (g/lt)
$S$	Biyolojik parçalanabilen uçucu katı olarak substrat konsantrasyonu (g/lt)
$T$	Sıcaklık, $^{\circ}\text{C}$
$t$	Zaman, gün
$U$	Toplam ısı transfer katsayısı, (MJ/m <sup>2</sup> $^{\circ}\text{C}$ gün)
$v$	Besleme sıvısının çizgisel hızı
$\gamma_{x/s}$	Verimlilik katsayısı
$x$	Mikroorganizma derişimi, g/lt
$X_0$	Başlangıçtaki mikroorganizma derişimi, g/lt
$X_{ggk}$	Fermentöre yüklenen günlük katı madde miktarı kg/gün
$X_{vs}$	Katı maddedeki uçucu katı oranı
$X_yh$	Artıktaki katı madde yüzdesi
$w$	Fermentörde buharlaşan su miktarı, kg/gün
$\alpha$	Karıştırıcı kanadın yatayla yaptığı açı, derece
$H_{su}$	Fermentör sıcaklığında suyun buharlaşma entalpisi, kj/kg.
$\Delta T_{\log}$	Logaritmik sıcaklık farkı ortalaması, $^{\circ}\text{C}$
$x$	Mikroorganizma kütle değişimi, g
$\mu$	Mikroorganizma özgül büyümeye hızı, $\text{gün}^{-1}$
$\mu_m$	Maksimum özgül büyümeye hızı, $\text{gün}^{-1}$
$\pi$	$P_i$ sayısı
$\rho$	Fermentör besleme sıvısının yoğunluğu, kg/m <sup>3</sup> .
$\delta_i$	$i$ katmanın kalınlığı, m
$\theta$	Hacimsal kalma süresi, gün.

## ŞEKİL LİSTESİ

- Şekil 3.1. RESCO Şirketinin geliştirdiği yakna sistemi
- Şekil 3.2. USBM Fraksiyonlara ayıran mekanik sistem
- Şekil 3.3. UNION-CARBIDE purox sistemi
- Şekil 3.4. Piroliz işlemi
- Şekil 3.5. Flash piroliz prosesi
- Şekil 3.6. Arıtma çamuru tarımsal ve orman artıklarının çöpyakıt eldesinin işlem akış şeması
- Şekil 4.1(a,b): Anaerobik sindirimin oluşum düzeni
- Şekil 4.2. Karbon çevrimi maddeleri ile metanbakterilerinin ilişkisi
- Şekil 4.3. Mikroorganizmaların üreme evreleri
- Şekil 5.1. Biyogaz tesisi projesi
- Şekil 5.2. Tesisin üstten görünüşü
- Şekil 5.3. Mekanik karıştırıcı
- Şekil 5.4. Değişik tip biyogaz üreteçleri
- Şekil 6.1. Deney setinin şematik gösterilişi
- Şekil 6.2. Gül artıklarından elde edilen gaz üretimi
- Şekil 6.3.a. Samandan gaz üretiminin zamana göre değişimi
- Şekil 6.3.b. Metan yüzdesinin zamana göre değişimi
- Şekil 6.3.c. Metan üretim hızının zamana göre değişimi
- Şekil 6.4.a. İnek gübresi için mikroorganizma derişimi ile fermentasyon süresi arasındaki ilişki
- Şekil 6.4.b. Biyolojik parçalabilir uçucu katı ile fermentasyon süresi arasındaki ilişki
- Şekil 6.4.c. Mikroorganizma özgül büyümeye hızı ile biyolojik parçalabilir uçucu katı arasındaki ilişki
- Şekil 6.4.(d,e,f) Değişik miktarlarda biyolojik parçalabilir uçucu katı için günlük gaz ve metan üretimi
- Şekil 6.5. Ege Üniversitesinde kurulan tesisin şeması

## TABLO LİSTESİ

- Tablo 2.1. Biyogaz, metan ve diğer bazı yakıtların özellikleri
- Tablo 2.2. Türkiye'de cinslerine göre hayvan sayısı ve yıllık gübre miktarları
- Tablo 2.3. Değişik atıklarda karbon yüzdeleri
- Tablo 2.4. Türkiye'nin yıllık biyogaz potansiyeli
- Tablo 3.1. Purox gaz yakıtın özellikleri
- Tablo 3.2. Pirolitik ürünlerin kimyasal analizi
- Tablo 4.1. Mikroorganizmaların üreme hızının sıcaklığa göre sınıflandırılması
- Tablo 4.2. Değişik biyomas kaynakları için C/N oranı
- Tablo 4.3. Katyonların zehir etkisi yapan derişim değerleri
- Tablo 4.4. Mikroorganizmaların özgül büyümeye hızları
- Tablo 5.1. Düz bir yüzeyden akan havanın kondüksiyonla ısı transfer katsayısı
- Tablo 6.1. Gül artıklarının kimyasal analiz sonuçları

## ÜZET

Bu çalışmada biyomas'dan enerji üretim teknikleri incelenmiştir. İlk aşamada biyomas kaynakları ve biyogaz ele alınmıştır. Daha sonra Termokimyasal ve biyokimyasal enerji üretim teknikleri araştırılmıştır. Bu teknikler içinde "ANAEROBİK SİNDİRİM" prosesi ideal bir yöntem olarak görülmüş ve detaylı bir şekilde incelenmiştir.

Anaerobik sindirim prosesinin gerçekleştiği reaktörlerdeki ısıl olaylar belirtilmiştir. Güç artıklarından biyogaz elde etmek için teorik ve deneyel bir araştırma yapılmıştır. Kısıtlı laboratuvar olanaklarıyla yapılan deneyel inceleme sonuçları ve öneriler son bölümde sunulmuştur.

## ABSTRACT

In this study, techniques of producing energy from biomass are studied. At the first stage, sources of biomass and bio-gas are taken chemical and bio-chemical are examined. Among these techniques "ANAEROBIC DIGESTION PROCESS" are found an ideal method and investigated in detail.

Thermal phenomena taking place in this process which was occurring in the reactor are shown. Theoretically and experimentally research are done in order to produce bio-gas from waste of rose. Experimentally research results which are carried out limited experimental work opportunities are presented in the last chapter.

## BÖLÜM 1. GİRİŞ

Bu günkü enerji bunalımı tek boyutlu bir sorun değildir. Oluşması, yapısı ve çözümü bakımından çok yönlülük göstermektedir. Soruna getirilebilecek çözüm önerileri içinde en gerçekçi olanı alışılmış kaynakların rezervlerini gerçekçi olarak saptamak, tasarruflu davranışmak, yeni enerji kaynaklarını devreye sokmak ve etkin bir eğitim sistemi uygulamaktır. Bu öneri tüm dünya ülkeleri için geçerlilik taşımaktadır.

Enerji kaynakları yenilenebilir ve yenilenemez olmak üzere iki gruba ayrılmaktadır. Yenilenemeyen enerji kaynakları fosil yakıtlar denilen hidrokarbon esaslı yakıtlardır. Yenilenebilir olanlar ise güneş, rüzgar, hidrolik, dalga, jeotermal ve biyogaz gibileridir.

Dünya'daki enerji tüketiminin kaynaklarına göre dağılımı aşağıda belirtilmiştir.

% 44 Petrol

% 31,5 kömür

% 1,2 doğal gaz

% 3,3 ise hidrolik, nükleer ve diğer enerji türleridir.

Göründüğü gibi halen tüketilen enerji büyük oranda yenilenemeyen kaynaklardan sağlanmaktadır. Oysa bu enerji rezervlerinden kömür doğal gazın ve petrolün yakın gelecekte ekonomik ölçüde üretimi olası olmayacağıdır. Türkiye için bu durum daha hayatı bir konudur. Çünkü dünya enerji tüketiminde 44.sırada yer alan ülkemiz harcadığı enerjinin % 40'ını ithal etmektedir. Bu ithalatında % 90'ı petroldür. Bu nedenle yenilenebilir enerji kaynaklarından yararlanmak zorunlu bir hale gelmiştir.

Coğrafi konumu nedeniyle üç tarafı denizlerle çevrili olan Türkiye'de dalga enerjisi de büyük bir potansiyel sahiptir. 3.Genel Enerji Kongresinde 40.000 Megawattlık bir üretim kapasitemiz olduğu ileri sürülmüştür. Yılda ortalamma 2500 saat güneş alan memleketimiz için bu kaynaka oldukça cazip görülmekte ve yaygın bir şekilde kullanılmaktadır.

Radyoaktif artıklar nedeniyle çevre sağlığı açısından birçok dezavantajına rağmen, pek çok ülkede halen yararlanılmakta olan nükleer

enerjide, yurdumuzda araştırılmaktadır. 2000 yılına kadar hidrolik ve termik santrallerimiz tamamlansa bile temel enerji gereksinimimizin karşılanamayacağı, diğer kaynaklarla takviye edildiği durumda bile sonunda nükleer enerjiye gereksinim duyulacağı görülmektedir.

Türkiye'de 430 milyar kw-saatlik bir hidroelektrik enerji potansiyeli olduğu ileri sürülmektedir. Bir tarım ülkesi olan memleketimizde küçümsenmeyecek bir enerji kaynağı "BIYOMAS" dır. İleride geniş kapsamlı olarak anlatılacak olan biyomas, her türlü artık için genel bir ifadedir. Biyogaz üretimi, biyomas'ın en etkin şekilde değerlendirilmesinin sonucudur, ayrıca geriye kalan organik artıklarda kaliteli gübre olarak tarım sektöründe rahatlıkla kullanılabilir.

Ülkemizin sahip olduğu biyogaz potansiyelini aşağıdaki gibi ifade etmek olasıdır.

1. Gübre Potansiyeli: İstatistiklere göre yurdumuzda 63 milyon Küçükbaş, 19 milyon büyükbaş, 55 milyon kumes hayvanı mevcuttur. Bu hayvan varlığımızdan yılda 140 milyon ton çiftlik gübresi elde edilmektedir. Bu gübrenin 15 milyon tonu tarımın çeşitli kesimlerinde organik madde olarak kullanılmaktadır. 45 milyon tonu ise mer'a, otlaklar ve yollarda kalmaktadır. Geriye kalan 80 milyon ton gübrenin 20 milyon ton'u tezek olarak yakılmaktadır.

2. Bitkisel artık potansiyeli: Yurdumuzda 13 milyon hektar hububat ekim alanı mevcuttur. Bu alandan 148 milyon ton organik madde elde edilmektedir. Bunun 88 milyon tonu saman ve hayvan yemi olarak kullanılmakta ve geriye kalan 60 milyon tonuda tarlalarca yakılmakta, kağıt imalinde hammadde olarak kullanılmaktadır.

3. Organik (Turbo) toprak potansiyeli: Tarımsal istatistiklerde sahası belirtilmemesine rağmen Türkiye Toprak Haritası Envanterlerine göre 22000 hektar organik turbo sahası mevcut olup yapılan hesaplara göre 154.455.000 ton organik turbo artığı mevcuttur.

4. İnsan dışkısı ve kanalizasyon artığı potansiyeli: Yaklaşık yılda 90 milyon ton insan dışkısı ve kanalizasyon artığı çöp ve potansiyelin mevcut olduğu belirtilmektedir. Bunların yanında endüstriyel artıkların, hastane artıklarının da önemli bir yer kapladığı görülmüşdür.

Bu potansiyelden ilk etapta mevcut çiftlik gübresi tezek olarak yakılmayıp biyogaz üreticilerinde kullanıldıktan sonra tarımda tekrar

gübre olarak kullanılması halinde 1.800.000 ton azotlu gübre, 400000 ton fosforlu gübre, 360000 ton potaslı gübre elde edilmiş olur.

Cerek zirai gerekse kanalizasyon artıklarından biyogaz ve gübre elde etmeyen Amerika ve Avrupa ülkesi yok gibidir. Büyük harcamalarla yapılan baraj ve su nakil tesisleri ile elde edilen suyun bir defa kullanıldıktan sonra, o suyu doğayı kirletmek için nehirlere ve denizlere boşaltan ülke pek nadirdir.

Teknolojisi ileri ülkeler kanalizasyon suyunu arıtıp kullanma suyu elde etme işlemlerinde, artıkları büyük ve derin havuzlarda dindendirip artığın üst kısmında biriken yağı alıp deksxle ettikten sonra mevcut yağ steril duruma getirilerek sabun sanayinde hammadde olarak kullanılmaktadır. Arta kalan kanalizasyon artığı organik maddenin litresinde % 3-4 mlg. deterjan varsa bu organik madde biyogaz tesislerinde değerlendirilmektedir. Litrede % 3-4 mlg. dan fazla deterjan varsa bu organik maddeler termik santrallerde hammadde olarak değerlendirilmektedir. Böylece hem ülke ekonomisi güçlenmeye hemde çevrenin kirlenmesi önlenmektedir.

Bu büyük biyomas potansiyelin değerlendirilmesi gereği açıkça ortadadır. Tezin akışı içerisinde konu sistematik bir şekilde incelenmiştir.

## BÖLÜM 2 BIYOMAS HAKKINDA GENEL BİLGİ

Günümüzde, gerek biyolojik ve termik parçalanabilen gerekse parçalanamayan organik atıklar olsun, hepsine bir enerji kaynağı olarak bakmak mümkündür. Yeşil bitkilerin fotosentez yoluyla güneş enerjisini kimyasal enerjiye dönüştürerek depolaması sonucu meydana gelen biyolojik kütler ve buna bağlı olarak oluşan organik madde kaynakları biyokütlerleri oluşturmaktadır. Her türlü bitkisel ve hayvansal organik maddeye (ağaç, tahıl sapı, bitki, insan ve hayvan dışkısı, su yosunu, v.s.) biyomas denilmektedir. Genel olarak karbon ihtiiva eden tüm maddeler için bu isim kullanılabilir.

Enerji üretiminde kullanılacak biyokütle kaynakları kaynağın kalitesi ve miktarı, mevsimsel bulunabilirliği, teknik ve ekonomik kısıtlamalar, sosyal ve çevresel unsurlara bağlı kalır. Biyo kütle kaynaklarını,

- a: Hayvansal atıklar
- b: Bitkisel atıklar
- c: Şehirsel atıklar (çöpler ve kanalizasyon çamurları)
- d: Endüstri atık ve atıkları

olarak 4 ana grupta toplayabiliyoruz. Bu atıklar içerisinde özellikle inert olmayıp biyolojik veya termik reaksiyona girebilen, oksitlenebilen sıvı, yarı katı ve katı atıkların büyük bir enerji kaynağı potansiyeli olduğu bilinmektedir.

### 2.1 Biyomas Enerjisinin Geçmişten Günümüze Gelişimi:

Bu konuda ilk çalışmalar 1860 yılında Fransa'da Muras'ın inşa ettiği kanalizasyon tipi çökeltme havuzu ile başlatılmıştır. Pasteur ve V.Gayen birlikte 1884 yılında ahır gübresinden metan üretimi konusunda bir yayın yapmışlardır. 1895 yılında Cameron çökelme zamanı 16-21 saat arasında "Septik tank" adıyla bir tesis geliştirmiştir. 1899 da Amerika'lı Clark, kanalizasyon çamurunun anerobik sindirime tabi tutulmasını teklif etmiş bu fikirden hareketle İngiliz Travis çift katlı bir mahzen inşa etmiştir. 1902 yılında Omelianski filtre kağıdının gübre veya bataklık çamuru ile aşılanıp fermantasyona tabi tutulduğundan

da çoğu  $\text{CH}_4$  olan bir gaz karışımı elde edildiğini belirtmiştir.

1906 yılında Alman Imhoff, Travisin mahzen sistemini incelemeye başlamış, 1914 de imhoff tankları daha da geliştirilerek biyogaz toplanmaya ve ticari maksatlarla kullanılmaya başlanmıştır.

Önceleri şehirsel atık suların oksijenli (aerobik) ortamda arıtılması esnasında oluşan çamurun yok edilmesine uygulanan anaerobik parçalama teknolojisi sonraları çiftlik gübresi ve tarımsal artıklara da uygulanmaya başlanmıştır. 2.Dünya savaşı ve sonrasında enerji kıtlığı nedeniyle başta Fransa ve Almanya olmak üzere birçok Avrupa ülkesinde ve Cezayir'de binlerce çiftlikte bu tesisler kurulmaya başlanmıştır.

## 2.2 Dünya'da Biyogaz Üretim Çalışmaları:

Biyogaz üretim ve teknolojisinin genelleşmesinde, Çin Halk Cumhuriyeti ve Hindistan başta gelen ülkelerdir. Çin'deki biyogaz tesisleri 1976 dan bu yana 7 misli bir artış göstererek 7,5 milyona ulaşmıştır.

1930 lu yıllarda çalışmalarla başlayan Hindistan'da şimdi 80000 civarında biyogaz ünitesi vardır.

Hintliler araştırmaları sonucu yüler başlıklı "Hint-tipi" biyogaz üreticini geliştirmiştir. Son yıllarda Hindistan'da  $8-15 \text{ m}^3$  lük üreteçler yerine  $80-100 \text{ m}^3$  lük fermentör hacmine sahip köy tipi üreteçler yaygınlaştırılmaya çalışılmaktadır. Bu konuda yürütülen iki proje UNICEF tarafından da desteklenmektedir. (3 )

Köy tipi üreteçlerin genelleştirilmesine çalışan ülkelerden biride Güney Kore dir. Bu ülkenin kırsal kalkınma ofisi 1969 dan 1975'e kadar 29000 küçük fermentör hacimli biyogaz ünitelerini çiftcilere dağıtmıştır. Ancak çocukların soğuk geçmesi bu ünitelerin başarısını engellemiştir sonuçta da büyük kapasiteli üreteçlerin geliştirilip denenmesine başlanmıştır. Yapılan çalışmalarda  $137 \text{ m}^3$  lük beton tank içerişine yerleştirilen ısıtma ve karıştırma sistemine sahip üreteçlerden günde ortalama  $229 \text{ m}^3$  gaz üretildiği, üretilen gazın  $73,2 \text{ m}^3$  lük kısmının üreticin ısıtılmamasında kullanıldığı, böylece günde net  $156 \text{ m}^3$  gaz üretilerek 156 evin kişi süresince yemek pişirmek için gerekli enerjiyi sağladığı belirtilmektedir (2 ).

Bu ülkelerin dışında sırasıyla Pakistan, Tayland, Kenya, Kamerun, Mısır, Brezilya, Ekvator, Habeşistan, Jamaika, Endonezya, Nepal, Nijerya, Filipinler, Peru, Zambia ve Türkiye'de biyogaz üretimi ile ilgili çalışmalar sürdürülüyor ve bu çalışmalar Birleşmiş Milletler Teşkilatına bağlı kuruluşlarca desteklenmektedir. Projelerin organizasyon ve yapıları çok çeşitlilik göstermeye birlikte bunlar genellikle hükümetler tarafından yönlendirilmektedir.

### 2.3 Türkiye'de Biyogaz Üretim Çalışmaları:

Türkiye'de bu konuda ilk çalışma 1961 yılında M. Dağdelen (2) tarafından yapılmıştır. 1963-1969 yılları arasında Köyişleri Bakanlığının bağlı Eskişehir Topraksu Araştırma Enstitüsü tarafından değişik kapasiteli fermentörlerde araştırmalar devam etmiştir. Bu çalışmalar sonucunda, biyogazın enerji sorununu halledici bir kaynak olarak ele alınması gereği, çiftlik gübresinin biyogazlaşmasıyla enerji yanında asıl önemli konunun daha kaliteli gübre eldesi olduğu anlaşılmıştır (2). Bu çalışmalar karıştırmaz ve kesikli sistem halinde yürütülmüştür.  $12\text{ m}^3$  lük fermentörde elde edilen sonuçlara göre fermentasyon 13,5 ay sürerek, yükleme yapıldıktan 15 gün sonra başlayan yanıcı karakterdeki gaz karışımından en fazla  $6,4\text{ m}^3/\text{gün}$  en azda 4 lit/gün üretim yapılmıştır.

1964 yılında A.Ü. Ziraat Fakültesinde N. Sönmez ve arkadaşları tarafından iç anadolu şartlarına uygun bir prototip aile tipi biyogaz üretme tesisinin geliştirilmesi amacıyla araştırmalar başlatılmış ve 1967 de sonuçlanmıştır. TÜBİTAK Tarım Ormancılık Araştırma Grubu tarafından desteklenmiş olan bu çalışma iki aşamada yürütülmüştür. İlk aşamada etkin hacimleri  $1,8$  ila  $2\text{ m}^3$  arasında değişen dikdörtgen prizma ve silindirik 4 adet tankta çalışmalar yapılmış üretilen toplam gaz sırasıyla  $28.758$ ,  $37.69$ ,  $29.144$ ,  $48.715\text{ m}^3$  olmuştur. İlk aşamanın sonucu olarak gaz üretiminin tank içi ve atmosferik sıcaklığa son derece bağımlı olduğu gözlenmiş ve kış aylarında fermentasyon tanklarını izole etmeden veya dış şartları ayarlayıcı bir ısıtma yapılmadan bu tip tanklarda gaz üretiminin mümkün olamayacağı kanısına varılmıştır.

İkinci aşamada ise etkin hacmi  $18.75\text{ m}^3$ , gazometre hacmi  $3\text{ m}^3$  olan bir tesis kurularak üç ayrı dönemde denemeler yapılmıştır. Fermentöre toplam  $60.25\text{ m}^3$  besleme yapılarak 268 gün sonunda toplam  $728\text{ m}^3$  gaz üretilmiştir. Bu değere göre  $\text{m}^3$  fermentör hacminden günlük üre-

tilen gaz miktarı  $0,145 \text{ m}^3$  olmuştur.

MTA tarafından Türkiye Şeker Fabrikaları Anonim Ortaklığı Eti-mesgut tesislerinde iki bölmeli  $54 \text{ m}^3$  lük bir tesis kurulmuş ve 1979'da ilk denemeler başlatılmıştır. Toprak altında inşa edilen tesisin yan duvarları içte  $0,25 \text{ m}$  beton, dışta ise  $0,15 \text{ m}$  tuğla ile örülülmüş, iki duvar arasında  $0,05 \text{ m}$  kalınlıkta cam yünü konularak fermentör izole edilmiştir. Denemelerde üretecin kinci bölgesinde gaz üretimi gerçekleştirememiştir. Dış ortam sıcaklığının düşük olduğu dönemlerde üretilen gazın sistemi  $30^\circ\text{C}$  de tutmaya bile yetmediği gözlenmiştir.

1980 yılında Türkiye ve UNICEF arasında toplam yatırım değeri 475 000 ABD doları olan ortak biyogaz projesi hazırlanmıştır. Bu projede tarım ve Orman Bakanlığı, Köyişleri ve Kooperatifler Bakanlığı, Enerji ve Tabii Kaynaklar Bakanlığı, Maden Tetkik Arama Enstitüsü görev alarak, DPT'nin sorumluluk ve koordinatörlüğünde çalışmalar yürütülmüştür.

Türkiyenin soğuk iklim şartlarında biyogaz üretiminin ne ölçüde başarılı olabileceğinin belirlenmesi amacıyla Doğu Anadolu Bölgesi pilot bölge olarak seçilmiştir. İlk önce Muş-Alpaslan Devlet Üretme Çiftliğinde iki bölmeli ve toplam hacmi  $35 \text{ m}^3$  olan bir biyogaz tesisi kurulmuş ve 1980 kasımında üretime başlanmıştır. Kurulan bu tesise sıcaklığı sabit tutmak amacıyla içinde sıcak su dolaşan ısıtma sistemi yerleştirilmiştir. Isı kayıplarını azaltmak amacıyla da tesisin beton duvarları pomza tuğasıyla örülerek izole edilmiştir.

$30^\circ\text{C}$  de 30 gün alikonma süresinde çalıştırılan bu tesiste günde  $20 \text{ m}^3$  gaz üretimi bekłentisine karşılık  $10 \text{ m}^3/\text{gün}$  üretim gerçekleşmiştir. Muş'ta kurulan tesisten sonra Ulaş (Sivas) ve Altınova (Konya) Devlet Üretme çiftliklerinde sırasıyla 5 ve  $20 \text{ m}^3$  lük tesisler kurulmuştur.

Son zamanlarda üniversitelerimizin çoğunda hem teorik hem deneysel incelemeler yapılmıştır. O.D.T.Ü. de Saman'dan biyogaz üretimi Ege Üniversitesinde TÜBİTAK'ın da desteklediği tesis tasarımlı projeleri önemli çalışmalarlardır.

Yapılan bu çalışmalar ve incelemeler, Türkiye'de biyogaz üretimi gerçekleştirmek ve yaygınlaşmasını sağlamak amacının birer göstergesidir.

## 2.4 Biyogazın Tanımı ve Özellikleri

Batıklik gazi, marş gazi, gübre gazi veya gobar gazı adı verilen biyogaz ek ijenlerin ortamda oluşan bir fermentasyon ürünüdür. Renksiz belli bir kokusu olan ve ısıl değeri yüksek bir gaz karışımıdır. Gazın bileşimi ortamın ısısı, su miktarı, asitliği, bitkisel ve hayvan-sal artıkların cinsi ve karışım oranları ile değişmekte birlikte hacimsel olarak da özelliklere sahiptir.

% 55 - 70 Metan ( $\text{CH}_4$ )

% 30 - 45 Karbondioksit ( $\text{CO}_2$ )

% 0 - 3 Azot ( $\text{N}_2$ )

% 0 - 1 Hidrojen ( $\text{H}_2$ )

% 0 - 1 Hidrojen sülfür ( $\text{H}_2\text{S}$ )

Biyogazın ısıl değeri karışımındaki metan oranına bağlı olarak değişir. Saf metanın ısıl değeri  $8900 \text{ kcal/m}^3$  olup biyogazın yanma ısısı metanın % 60'ı kadar yani  $4700 - 6000 \text{ kcal/m}^3$  arasında değişmektedir.

Yanar metan gazının kendisi kokusuz olmasına rağmen biyogaz karışımında yer alan kükürtlü hidrojen gazı nedeniyle kokuludur. Ancak yanma esnasında koku kaybolur. Üretilen biyogazın kullanılmadığı esnada gaz taşıyıcı sisteme kaçak olup olmadığı bu kokudan kolayca anlaşılabılır.

Biyogaz yapmayan temiz ve mavi bir alevle yanar. Gün ışığında alemini görmek oldukça güçtür. Biyogazın sıvılaştırılmış tüpgaz olarak kullanılabilmesi için karışımındaki  $\text{CO}_2$  nin kireçli sudan geçirmek dahil bazı tekniklerle yapılması zorunludur. Bunun ifadesi:



denklemidir.

## 2.5 Biyogazın Kullanım Alanları

Biyogaz, gaz yakıtla çalışan tüm araçlarda rahatlıkla kullanılabilir. Bunlar arasında sıkıştırılmış gaz ile çalışan sobalar, fırınlar, ocaklar, v.s. sayılabilir. Piyasada bulunabilen bu araçlar üzerinde yapılacak küçük değişiklikler ile kullanıma sunulabilir. Hava gazı ile çalışan araçlarda değişikliğe gerek kalmaz. Biyogazı diğer enerji kaynakları ile karşılaştırıldığımızda:

$1 \text{ m}^3$  biyogaz, 3 tonluk bir kamyonu 2 km mesafeye götürür, 1.25 kw elektrik enerjisine, 0.7 kg petrole eşdeğerdir. 5-6 kişilik bir ai-

lenin üç ögün yemeğini pişirecek enerjiye sahiptir.  $60\sim100$  wattlık bir elektrik ampülü 6 saat yakacak enerjiyi sağlayabilir. Bunun yanında  $1 \text{ m}^3$  biyogaz,  $0,8 \text{ kg}$  taşkömürüne  $1,3 \text{ m}^3$  havagazına ve  $0,75 \text{ litre}$  benzine eşdeğerdir. Isınmada aydınlanmada, mutfağ ihtiyacında, kimya sanayiinde rahatlıkla kullanılabilen biyogaz yakıt değerini tamamen bileşimindeki metan dan almaktadır, enerji içeriği  $20\ 000\sim26\ 000 \text{ kJ/m}^3$  arasında değişir.

Biyogazın motorlarda yakıt olarak kullanılabileceği araştırmalar sonucunda belirlenmiştir. Diesel motorlarda kullanılırken belirli oranlarda (% 18~20) motorinle karıştırılmasında yarar olduğu söylenmektedir.

Bujili motorlarda metan kullanımını sağlayan gerekli çalışma düzeni aynı zamanda doğal gazın kullanılması içinde ayarlanabilmektedir. Çevirme sistemleri iki yakıt sistemi için güvenli olup sürücü bir kabloyu çekmekle veya bir anahtarı çevirmekle lensinle çalıştırılmaya tekrar donebilmeektedir.

Biyogazın bünyesinde metan dışındaki bileşimler yanıcı özelliğe sahip değildir. Metanın yanma denklemi incelenirse,



denklemi elde edilir. Reaksiyon ekzoterm olduğundan yani sonuçta enerji açığa çıktıığından reaksiyon entalpisi - 212 kcal/mol dır.  $16.03 \text{ kg/mol}$  molar kütleye sahip olan metanın bir metrekübünün yanma ısısı  $9487 \text{ kcal/m}^3$  tür.

(2.2) denkleminden görüleceği gibi 1 birim  $\text{CH}_4$ 'ün yanması için 2 birim  $\text{O}_2$  ye ihtiyaç vardır. Havadaki oksijen oranı yaklaşık % 20 olduğuna göre gerekli hava miktarı 10 birim olacaktır. Biyogazın bileşimindeki metan yüzdesi yaklaşık % 60~70 olduğuna göre bir birim biyogazın tam yanması için 7 birim hava gereksinimi olacaktır.

Hava fazlalık katsayısını da gözönüne alduğumuzda mükemmel bir yanma için 1 birim biyogaza 9 birim hava gereği görülür.

Kullanım esnasında bu durumun gözönüne alınması ve hava ayarının buna göre yapılması gereklidir. Eğer yanma olayı sarımsı renkte ve ılıçlı gerçekleşiyorsa oksijen yetmezliği vardır, bu durumda hava ayar deliğini açmak gereklidir. Yanma sık sık kesiliyorsa oksijen fazlalığı vardır, hava ayarı azaltılmalıdır.

Biyogazın motorlarda uygulamasını en iyi bir şekilde İtalyan FIAT firması TOTEM ismini verdiği biyogazla çalışan yüksek verimli motorlarda gerçekleştirmiştir. İçten yanmalı motorlarda biyogaz kullanıldığında şu sonuçlar gözlenmiştir.

1. Hava ile karışarak iyi bir türbilans sağlamakta ve tam yanalıbilmektedir.
2. Sıkıştırma sırasında ön yanma yapmaz ve aşındırıcı etkisi yoktur.
3. Gaz halinde olan metan benzinden ayrı olarak buharlaştırıldıgından iyi bir çalışma sağlamaktadır.
4. Piston üzerinde, silindirde karbon artığı bırakmaz.
5. Bileşiminde kurşun bulunmadığından bujilerde kirlenme daha az olur.
6. Karbüratör daha basitleşmiştir.
7. Biyogaz içindeki  $H_2S$  iyi filtre edilirse motor üzerindeki kükürt bileşimlerinin yan etkileri ortadan kalkar.
8. 5 PS deki bir motorun 10 saat çalışması için  $13 m^3$  biyogaz gereği tespit edilmiştir.

Biyogazdan su ısıtmak için ocaklardan yararlanılabileceği gibi termosifon ve şofbenlerde biyogazla çalıştırılarak kullanılabilir. Termosifonun ısıtıcı ocak kısmına bir biyogaz başlığı yerleştirilerek biyogazla çalışır hale getirilebilir. Şofbenlerde ise meme çapını genişletmek ve basınç yayını değiştirmekle biyogaz kullanımını sağlanabilir.

Isınmada kullanılması ise sıvılaştırılmış petrol gazı ile çalışan sobaların meme çaplarını basınç oranlarına göre artırmakla gerçekleştirilir. Aydınlatmada kullanımı ise bir biyogaz jeneratörü kullanarak veya direkt yakma ile mümkündür. Direkt aydınlatmada havagazı lambası veya sıvılaştırılmış petrol gazı ile çalışan lambalar kullanılabilir. Mutfak ihtiyacı için kullanılan havagazı ve sıkıştırılmış petrol gazı ocaklarında da kullanılımı mümkündür.

Yakıt olarak biyogazın dezavantajı, nakledilmesi ve depolanmasının zor olmasıdır. Alçak veya yüksek basınçlarda kullanım amacıyla göre depolanabilir. İçten yanmalı motorlarda kullanılacağı zaman  $CO_2$  in su ile yıkama veya kostik kimyasal madde ilavesiyle uzaklaştırılması gereklidir.  $CO_2$  in uzaklaşmasıyla biyogazın metan oranı artar ve ısı değeri  $18 \sim 24 \text{ mj/m}^3$  ten  $37,3 \text{ MJ/m}^3$  e yükselir. Metan gazı- $162^\circ\text{C}$  de atmos-

Tablo 2.1. Metan ve diğer bazı yakıtların özellikleri

Yakıt	İsıl Değeri	Yaklaşık Oktan Sayısı	Yaklaşık Setan Sayısı
Biogaz (%60 CH <sub>4</sub> )	22 MJ/m <sup>3</sup>	130	Düşük
Metan	33 MJ/m <sup>3</sup>	130	"
Süper Benzin	33 MJ/l	96	"
Benzin	34,5 MJ/l	83	25
Diesel	36 MJ/l	Düşük	50,55
Kömür	13-34 MJ/kg	-	-
Tabii Gaz	37-42 MJ/m <sup>3</sup>	130	Düşük
Hava Gazı	18 MJ/m <sup>3</sup>	-	-
LPG	44 MJ/kg	108	Düşük
Fuel Oil No:5	41 MJ/l	-	-
Kuru Odun	12-14 MJ/kg	-	-
Tezek	8,9-9,6 MJ/kg	-	-
Saman	13,9 MJ/kg	-	-
Elektrik	3,6 MJ/kWh	-	-

Biyogaz ve bileşimindeki maddelerin özellikleri

Özellik	Biyogazın bileşimindeki maddeler					Biyogaz %60 CH <sub>4</sub>
	CH <sub>4</sub>	CO <sub>2</sub>	H <sub>2</sub> S	NH <sub>3</sub>	H <sub>2</sub>	%40CO <sub>2</sub>
Hacimsal oran, %	50-70	50-30	0-5	0-1	0-1	100
İsıl değeri, MJ/m <sup>3</sup>	37,3	-	22,8	14,2	10,8	22
Yanma sınırı						
Hava ile hacim.kar.	4-15	5-15	4-45	-	4-80	6-12
Yanma sıcaklığı, °C	650-750	-	-	-	585	650-50
Kritik basınç, MPa	4,6	7,4	9,0	11,4	1,3	7,5-8,9
Kritik sıcaklık, °C	-82,5	31	100,4	132,5	-	-8,5
Yoğunluk kritik, g/L	162	468	349	-	31	320
Yoğunluk normal, g/l	0,72	1,98	1,54	0,77	0,00	1,2
Havaya göre bağıl yoğunluk						
	0,55	1,53	1,2	0,59	0,07	0,83

Metanın seçilmiş bazı fiziksel ve kimyasal özellikleri

Özellikler	Mıçüler
Kimyasal formülü	CH <sub>4</sub>
Molekül ağırlığı	16,042
Kaynama noktası (760 mm Hg'de)	-161,49
Donma noktası (760 mm Hg'de)	-182,48
Üzgül ağırlığı, kg/m <sup>3</sup>	
Sıvı, (-164 °C de)	415
Gaz(25 °C ve 760 mm Hg'de)	0,658
Üzgül hacim(15,5 °C ve 760 mm Hg'de)m <sup>3</sup> /kg	1,47
Yanma için gerekli hava, m <sup>3</sup> /m <sup>3</sup>	9,53
Yanma sıcaklığı °C	650
Yanma Denklemi	CH <sub>4</sub> +2O <sub>2</sub> → CO <sub>2</sub> +2H <sub>2</sub> O

fer basıncında sıvılaşlığından adım adım 16,5~25 MPa sıkıştırılarak çelik silindirlerde depolanabilir.

Tablo (2.1) Biyogaz ve Metanın özelliklerini göstermektedir.

#### 2.6 Ülkemizin Hayvansal ve Bitkisel Biyogaz Potansiyeli

Giriş bölümünde yüzeysel değinilen biyomas potansiyeli burada daha geniş ele alınmıştır. İstatistiklere göre hayvan sayısı ve elde edilen gübre miktarları Tablo 2.2 de gösterilmiştir.

Hayvan Cinsi	Sayı	Yıllık Gübre miktarı (Ton yaş gübre)
Toplam büyükbaş	19 000 000	76 000 000
Toplam küçükbaş	63 000 000	45 500 000
Kümes hayvanları	55 000 000	2 000 000

Tablo (2.2) Türkiye'de cinslerine göre hayvan sayısı ve yıllık gübre miktarları

Bitkisel artık olarak sadece hububat üretiminden elde edilen Sap-saman değerlendirilmesi yapılrsa, yem olarak tüketilen samanın dışında yaklaşık  $60 \times 10^6$  ton artık elde edilebileceği ileri sürülmektedir (7). Biyogaz potansiyelinin hesaplanabilmesi için çeşitli organik atıklardan elde edilen ortalama biyogaz miktarlarını bilmek gereklidir. Tablo 2.3. Değişik organik atıkların kuru maddeleri içerisindeki karbon yüzdeleri verilmiştir.

Artık cinsi	% C(Kuru baza göre)
Büyükbaş hayvan dışkısı	30.1
Kümes hayvanları dışkısı	23.4
Koyun dışkısı	83.6
At dışkısı	57.5
Sap-saman	50.4
Kağıt	40.6

Tablo (2.3) Değişik atıklarda karbon yüzdeleri

Karbon yüzdelerinden yararlanarak Türkiye'deki biyogaz potansiyelini hesaplamak mümkündür.

Normal şartlar altında (N.Ş.A) 1 kg karbon içeren bileşigin tam parçalanması ile  $1.867 \text{ m}^3$  biyogaz elde edilir. Organik karbonun tamamının parçalandığı düşünülürse, 1 kg artıktan (qübreder) üretilenek biyogaz miktarı

$$0,301 \frac{\text{kg karbon}}{\text{kg gübre}} \times \frac{1.867 \text{ m}^3 \text{ biyogaz}}{1 \text{ kg karbon}} = 0,56 \text{ m}^3 \frac{\text{biyogaz}}{\text{kg kuru gübre}}$$

olarak elde edilir. Deneyel araştırmalar, kuru maddenin ağırlıkça % 81 ini oluşturan uçucu katı maddenin kilogramı başına N.Ş.A.'da ortalamada olarak  $0.36 \text{ m}^3$  biyogaz üretildiği saptanmıştır. Kuru madde bazına dönüştürüldüğünde inek gübresi için:

$$0,36 \frac{\text{m}^3}{\text{kg uçucu katı}} \times \frac{0,81 \text{ kg uçucu katı}}{\text{kg kuru madde}} = 0,291 \frac{\text{m}^3/\text{kg kuru}}{\text{madde}}$$

miktarda biyogaz elde edilir. Buradan görüldüğü gibi büyük baş hayvan gübresinden elde edilen biyogaz miktarı teorik miktarın yaklaşık yarısı kadar olmaktadır. Bu oran ayrıca atık maddedeki biyolojik parçalabilirliğede bağımlıdır. Büyükbash hayvan gübresinin biyolojik parçalabilirliği diğer hayvan gübresine göre daha düşüktür. Değişik kaynaklardan üretilebilecek olan biyogaz miktarları aşağıdaki Tabloda verilmiştir.

Organik atığın cinsi	% katı (yaşbaz)	üretilen gaz ( $\text{m}^3/\text{kg madde}$ )	kabul edilen ( $\text{m}^3/\text{yıl}$ )	üretim atık yüzdesi $\times 10^9$
Büyükbaş hayvan dışkısı	16	0,291	60	1,7931
Tek tayınlılar dışkısı	33	0,540	85	1,5417
Küçükbaş hayvan dışkısı	36	0,780	35	4,4710
Kümes hayvanları dışkısı	29	0,217	95	0,1200
Saman-sap	100	0,470	45	12,4700
TOPLAM				20.400

Tablo (2.4) Türkiye'nin biyogaz potansiyeli

Tablo (2.4) dan görüleceği gibi bitkisel ve hayvansal artıkların yıllık toplam biyogaz üretim potansiyeli  $20.4 \times 10^9$  olmaktadır. Yalnızca hayvan dışkısından elde edilen miktar  $8 \times 10^9 \text{ m}^3/\text{yıl}$  olmakta ve buda 13

değeri 41900 kJ/kg ve yanma verimi % 85 olan  $4.83 \times 10^6$  ton/yıl fuel-oil'e eşdeğer olmaktadır.

### BÖLÜM 3. BIYOMAS'TAN YARARLANMA TEKNİKLERİ

Enerji üretiminde önemli faktörler kullanılan teknigin ekonomik olması, yenilenir olması, hava su ve çevre kirliliğine yol açmamasıdır. Bu düşünceler doğrultusunda biyomas'tan enerji üretimi teknikleri incelenmiş ve en uygun teknik olarak görülen ANAEROBİK SİNTİRİM PROSESİ detaylı bir şekilde ele alınmıştır.

Biyomas'tan enerji üretim tekniklerini Termokimyasal ve Biyokimyasal dönüşümler olmak üzere 2 ana grupta toplamamız mümkündür.

#### 3.1. Termokimyasal Dönüşümler

##### 3.1.1 Direk yakma

##### 3.1.2 Gazifikasiyon

##### 3.1.3 Piroliz

#### 3.2. Biyokimyasal Dönüşümler

##### 3.2.1 Fermentasyon Tekniği

##### 3.2.1.1 Biyogaz üretim prosesleri

##### 3.2.1.2 Etanol prosesleri

##### 3.2.2 Hidrojen Eldesi

#### 3.4 TERMOKİMYASAL DÖNÜŞÜMLER

##### 3.4.1 Direkt Yakma:

Artıkların doğrudan yakılmasıyla depoladıkları enerjinin geri alınmasıdır. Az gelişmiş ülkelerde bu durum çok sık kullanılmaktadır. Sanayileşmiş ülkelerde ise çeşitli bitki yakacak ve odun artıklarını önfermentasyon ve sıkıştırma yolu ile 1 cm çaplı briketler haline getirilmekte ve bu briketler özel brülörlü ocaklarda yakılmaktadır. Böylece 1 kg briketten 900 kcal lik enerji sağlanabilmektedir. Artıkların uygun bir sistemde yakılarak buhar, elektrik enerjisi ve ısı enerjisi üretimi olayı:



denklemiyle özetlenebilir.

Gelişmiş yakma sistemleri ile biyomasın yakılarak açığa çıkan enerjiden elektrik enerjisi üretimi ileri ülkelerde uzun zamandan beri uygulanmaktadır. Buna örnek olarak RESCO şirketinin geliştirdiği yakma sistemi şekil 3.1 de gösterilmiştir. Artıkları yakmadan bir takım faydalı fraksiyonlara ayırma işlemine yönelik mekanik sistemlere örnek olarak USBM (United States Bureau of Mines) sistemi Şekil 3.2 de verilmektedir. Mekanik sistemle ayrılabilen yanabilir katı artık ya doğrudan doğruya yakılarak veya kömürle birlikte enerji üretiminde kullanılmaktadır. Bu yolla kömüre % 10~15 oranında artık katı yakıt katılarak çok iyi sonuçlar alındığı bildirilmektedir.

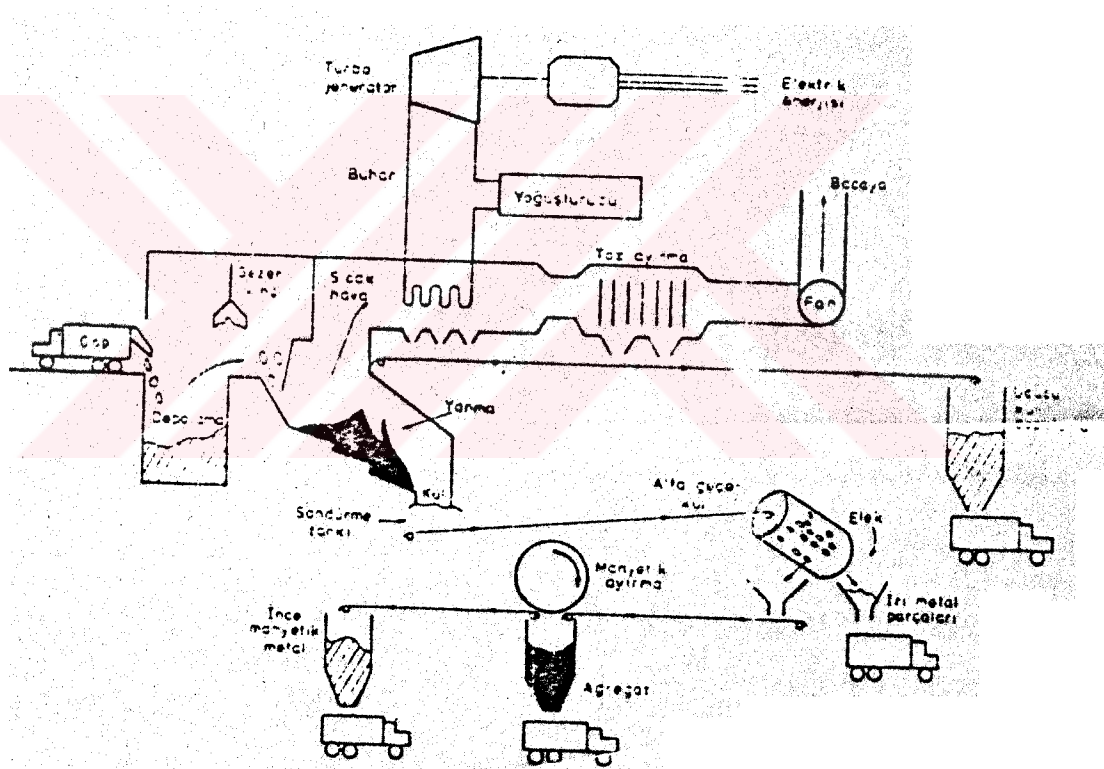
Yakma tesislerinde tam yanma ile hava kirliliği oluşturmadan yakılacak artıkların alınsı değerinin en azından 1250 kJ/kg (300 kcal/kg) olması gerektiği (Anonim system Studie Krankenhausabfallbeceitigung in Berlin, Berlins Stadtreingung, 1977) belirtilmektedir. Yakma öncesi ısıl değer dengelemesi yapmak küçük tesislerde pek kolay ve pratik çözüm olmamaktadır. Bu nedenlede yakma odasında ya düşük sıcaklık yada aşırı sıcaklık oluşmakta buda tam yanmanın gerçekleşmesini engellemektedir.

Artıkların yakılması için geliştirilmiş bir tesisin ısı ve enerji bilançosu incelemiştir ve 100 kg/h kapasiteli olan bu tesisin her yeniden ısıtılmasında 23,4 kg fuel-oil gereksinimi olduğu görülmüştür. Sürekli çalışan tesislerde de ham madde, taşımacılık, çevre kirliliği faktörleri ortaya çıkmaktadır. Son zamanlarda gelişmiş teknolojiye sahip ülkeler bile bu yolu terketmektedirler. Hatta endüstriyel artıklarını az gelişmiş ülkelere ucuz fiyatla satmaya çalışmaktadır.

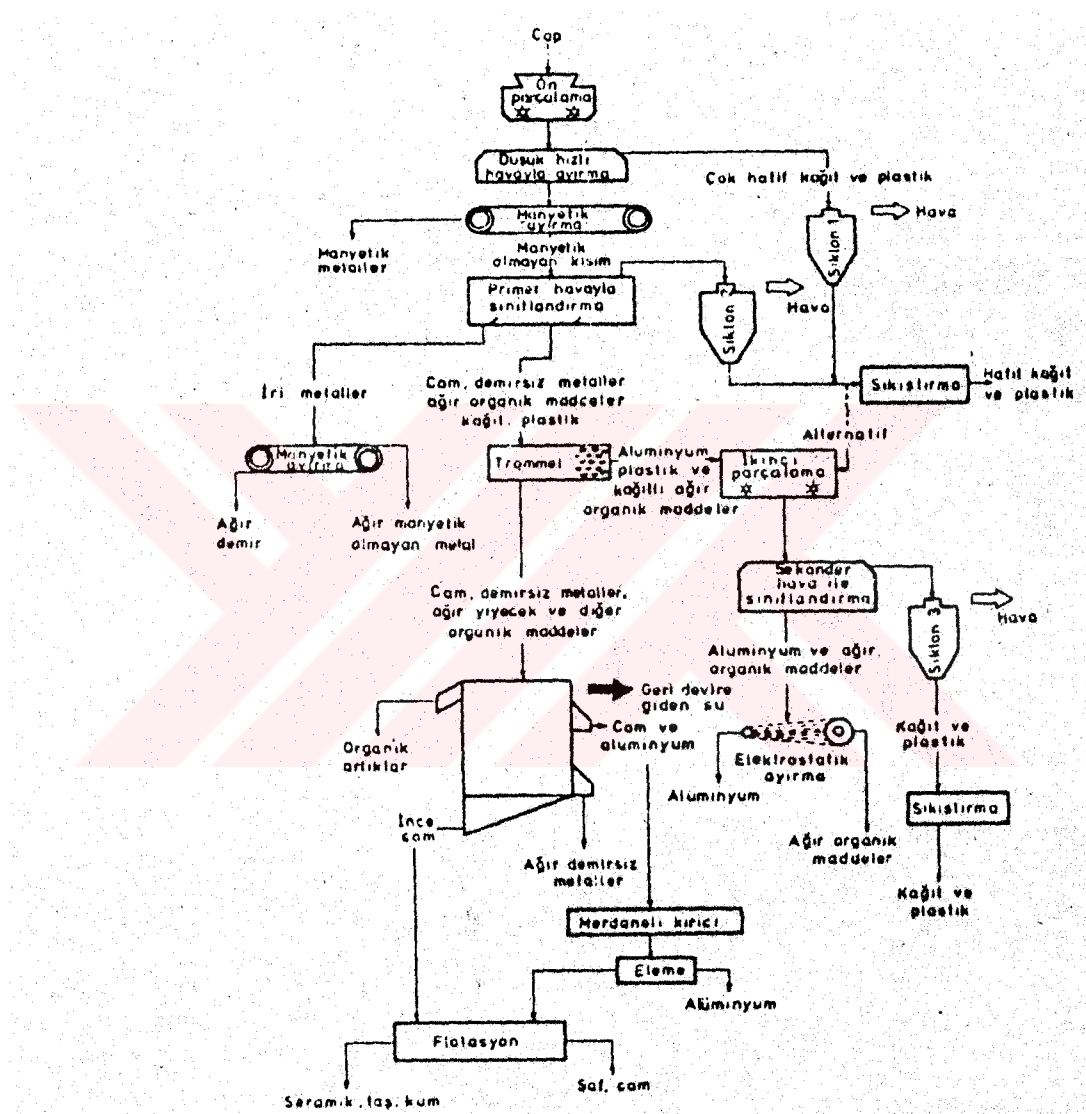
### 3.1.2 GAZİFİKASYON

Cöplerin sınırlı miktarda hava veya oksijen bulunduran bir ortamda ısıtılması sonucu sentetik doğal gaz, metanol, amonyak, hidrojen ve karbonmonoksit üretilebilmektedir.

Yanabilir organik artıkların daha temiz gaz ve sıvı yakıtlara dönüştürülmesini amaçlayan çalışmalar 1960 larda PERC(Pittsburgh Energy Research Center) tarafından başlatılmıştır. Union Carbide ve Occidental Petroleum Atomics şirketleri ticari sistemleri geliştirmek üzerelıkları çalışmaları içinde gitmektedirler.



Şekil 3.1. RESCO Şirketinin geliştirdiği yakma sistemi



Şekil 3.2. USBM Fraksiyonlara ayıran mekanik sistem

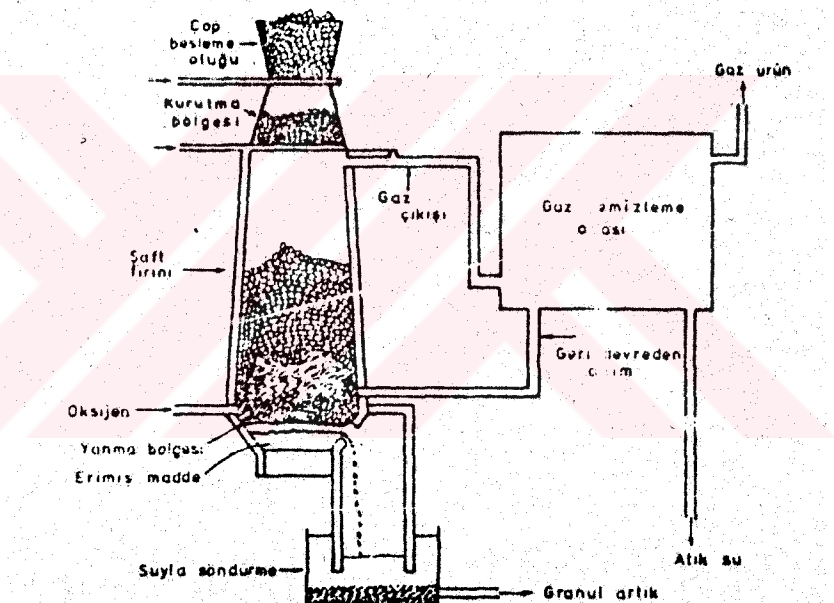
Union carbide şirketinin geliştirdiği purox sistemi % 20 katı ve % 80 neme kadar çöplerin değerlendirilmesinde uygundur. Şekil (3.3) de gösterilen sistemin en önemli bölümü artıkların çok hızlı bir şekilde reaksiyona uğradığı dikey bir şaft fırınıdır. Fırın yapı olarak yüksek fırına benzemektedir. Artıklar fırına üstten girer. Kurutma bölgesini geçtikten sonra kendi ağırlığıyla asıl reaksiyon bölgesine gelirler. Reaksiyon sonucu oluşan gaz ve sıvı ürünler bölgeyi üstten terkederken inorganik artıklar ve organik artıkların pirolizi sonucu geride kalan kömürleşen kısım (charcoal) yanma bölgesine doğru iner. Burada teorik olarak gerekenden daha az miktardaki alttan verilen saf oksijen atmosferi içerisinde kömür  $C+1/2 O_2 \rightarrow CO$  reaksiyonu ile yanar.

Yanma bölgesinde yükselen gazlar içerisinde  $CO$  bolluğu nedeniyle, reaksiyon bölgesi için indirgen bir ortam oluşur. Yanma bölgesi sıcaklığı  $1650^{\circ}C$  civarındadır. Reaksiyon bölgesinde gazlaştırma olayı  $650\sim 950^{\circ}C$  civarında gerçekleşir. Hızlı besleme ve indirgen ortam nedeniyle minimum oksidasyon ve maksimum gaz üretimi sağlanır.

Reaksiyon bölgesinde kurutma bölgesine yükselen gazlarla bu bölgeye inen artıkların çok iyi teması sonucu etkili bir kurutma gerçekleşmektedir. Gaz reaktörü terkettikten sonra sulu yıkama ve temizleme sisteminden geçer. Burada sıvı ürünler ve uçucu kül uzaklaştırılır. Reaktöre gönderilir. Elde edilen gaz ürün  $13000 \text{ kJ/m}^3$  lük ısı değerine sahiptir. Purox prosesi ile elde edilen gaz yakıtların bazı özellikleri tablo 3.1 de metanın ve propanın özellikleri ile karşılaştırılarak verilmiştir.

	Purox gaz yakıtı	Metan	Propan
Alt ısıl değeri ( $\text{kJ/m}^3$ )	13000	34000	86000
Sıkıştırmadaki enerji sarfiyatı( $\text{kwh/Mj}$ )	5400	1700	570
Yakma havası ihtiyacı( $\text{m}^3/\text{Gj}$ )	223	282	276
Yanma ürünleri hacmi( $\text{m}^3/\text{Gj}$ )	282	311	300
Isı değerleri/Yanma ürünleri sürekli hacmi( $\text{KJ/m}^3$ )	3500	3200	3300

Tablo 3.1 Purox gaz yakıtın özellikleri



**Şekil 3.3. UNION-CARBIDE purox sistemi**

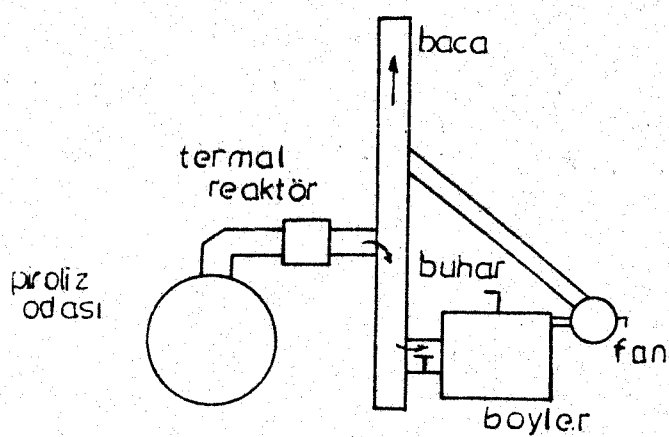
### 3.1.3 PIROLİS

Biyomasın oksijensiz ortamda fakat gazifikasiyonдан daha düşük sıcaklıklarda parçalanması suretiyle yağı, mangal kömürü ve sentetik doğal gaz'a dönüştürülmesidir. Pirolis dönüşümü iki aşamada oluşur. Birinci aşamada artık malzemeler mekanik yükleyiciyle pirolis odasına taşınır. Burada gazifikasiyon gerçekleşir, piroliz odasındaki yanıcı gazlar bir termal reaktöre geçerek burada tamamen yanmaktadır. Termal reaktörde oluşan sıcak gazlar, ikinci aşamada bir boyler içinden geçirilerek buhar üretmektedir. Pirolis de ısı akışı Şekil(3.4)de gösterilmiştir.

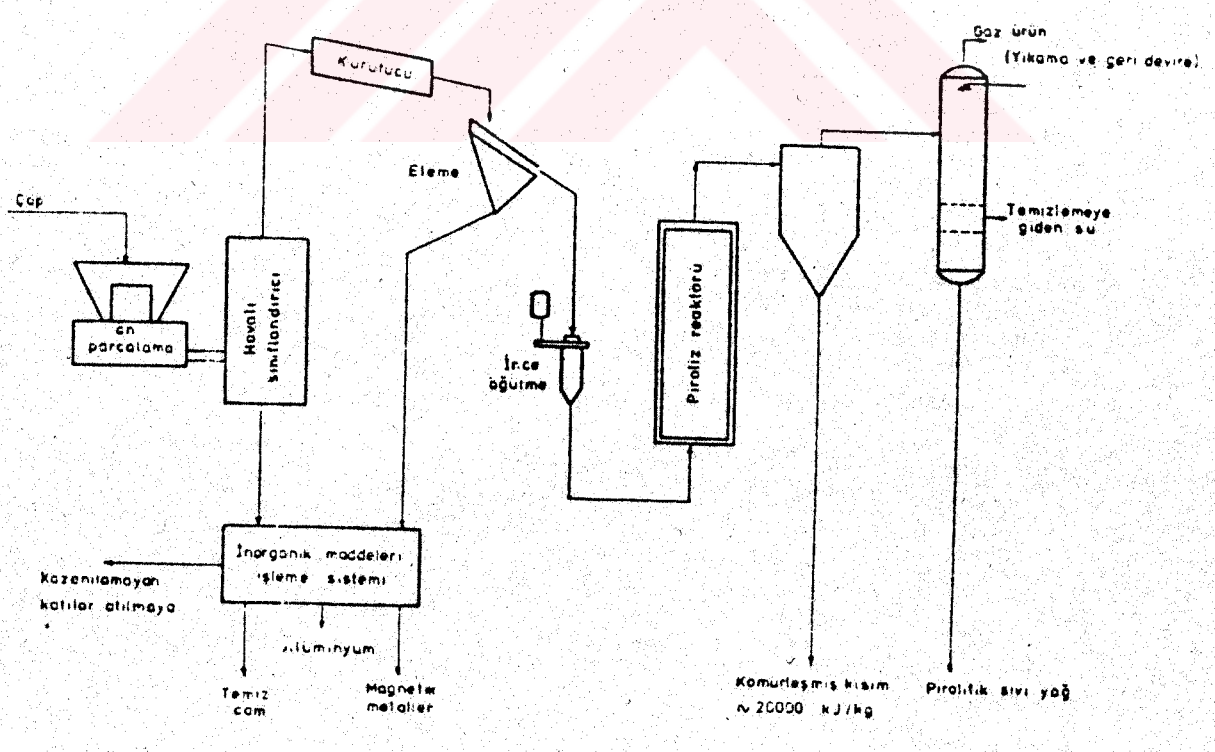
Kömür, sentetik sıvı yakıt elde etme çalışmalarının ortaya çığırdığı flash piroliz prosesinin organik katı artıkclarada uygulanabileceği görülmüştür. Endüstriyel katı artıkcların değerlendirilmesinde uygulanan flash piroliz prosesi Şekil(3.5)de görülebilir. Buradaki proses kademeleri şöyle sıralanabilir.

1. Ham çöpün 7-8 cm büyülüğe kadar ön parçalama işlemi
2. Demirli metallerin manyetik olarak ayrılması
3. Pirolis kademesine beslenecek materyalden inorganik materyalin ayrılması amacıyla hava ile sınıflandırma
4. Parçallanmış artıkcların % 3 neme kadar kurutulması
5. İnorganik materyali % 4 ün altına düşürmek üzere yapılan eleme işlemi
6. Alüminyum ve camın kazanılması
7. Organik materyalin tekrar öğütülmesi
8. Organik materyalin flash pirolizi
9. Piroliz ürünlerin toplanıp ayrılması.

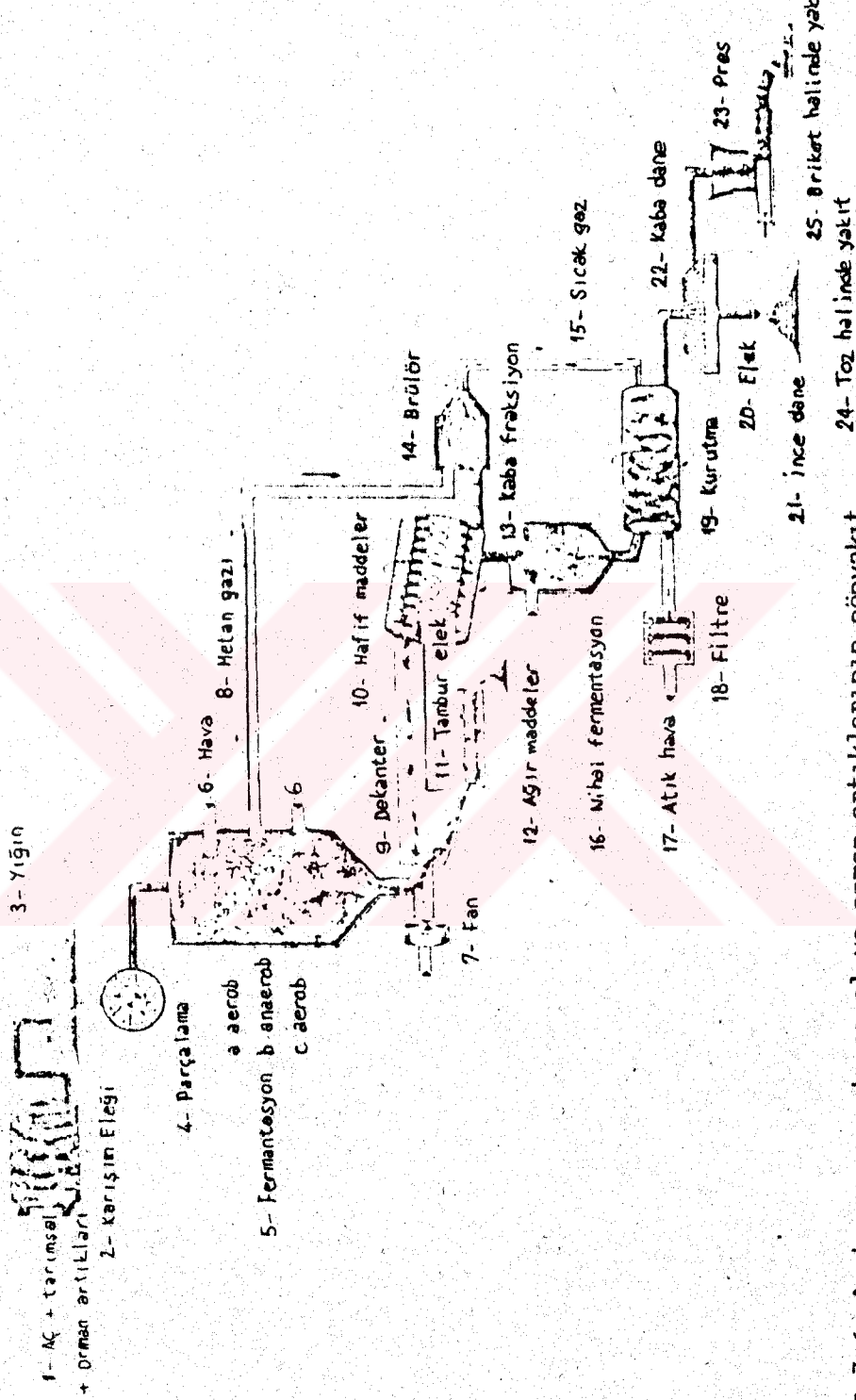
Hammadde hazırlama kademelerinin amacı piroliz reaktörüne kuru oldukça küçültülmüş ve inorganik artıklardan büyük ölçüde kurtarılmış bir besleme akımı verilmesidir. Flash piroliz kademesinde organik materyal havasız ortamda, uygun bir ısıtma sistemi yardımıyla, hızlı bir şekilde devir ettirilen kömürleşmiş organik materyalle birlikte ısıtılmaktadır. Piroliz sonucu sıvı ve gaz ürünler oluşur. Geride kömürleşmiş organik materyal (char) kalır. Organik artıkcların pirolis kademesinde kalma süresi çok kısa olup, ısıtma hızı son derece yüksektir. Böylece uçucu ürün miktarı en yüksek ölçüde tutulurken, ürünlerin ikinci derecede parçalanmaları önlenmiş olmaktadır. Sıvı ürün miktarını maksimum değerde tutmada  $450\sim 560^{\circ}\text{C}$  sıcaklıklarını uygun görülmektedir. Sıvı



Şekil 3.4. Piroliz işlemi



Şekil 3.5. Flash-piroliz prosesi



Şekil 3.6. Arıtma çamuru tarımsal ve orman artıklarının çöپyakıt eldesinin işlem akış şeması

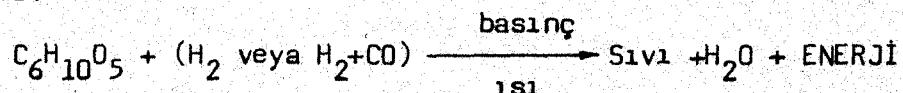
üründe bulunacak % 14 ~ 18 nemin değerlendirmeye açısından uygun bir viskozite sağladığı bildirilmektedir.

Flash pirolizle her ton çöpe karşılık bir varilden fazla pirolitik sıvı ürün elde edilmektedir. Uygun pompalama ve atomizasyon sıcaklığı sağlanması şartıyla pirolitik sıvı ürünün yanma karakteristiklerinin 6 nolu fuel-oil'e benzediği ve çok az is oluşturduğu belirtimmiştir.

Flash piroliz sonucu elde edilen pirolitik kömür (char) beslemenin % 20 sini oluşturur, bileşimi pirolitik gazın bileşimi ile birlikte tablo(3.2)de verilmiştir. Pirolitik kömürün ısı değeri alt bitümlü kömürlere benzer, kül yüzdesi oldukça yüksektir. Şehir göplerini flash piroliz yöntemi ile değerlendiren 200 ton/gün kapasiteli tesis 1977 den beri çeşitli Avrupa ülkelerinde kullanılmaktadır.

Ülkemiz'de önemli tarımsal artıklardan olan çeltik saplarının değerlendirilmesinde bu yöntemle ilgili bazı çalışmalar yapılmıştır. Çeltik sapları pirolitik ısıtıcıda 200~700 °C sıcaklığa tabi tutulmuş, işlem sonunda oluşan kömür ısıtıcının taban bölgesinde bulunan izgaradan aşağıya hareketli bir depo içerisinde sıvı ve gaz yakıt karışımı ise bir ayırcıya iletilmektedir. Karışım burada ayrıştırılarak sıvı ve gaz yakıt şekline dönüştürülür.

Katalitik bir işlemle biyomasın sıvılaştırılmasında mümkündür. İşlem yüksek basınç ve vasat sıcaklıkta,  $H_2$  veya  $H_2+CO$  karışımı içeren bir reaksiyon gerektirir. Elde edilen sıvı çok fazla oksijen ihtiyac eder ve direkt yanma hariç yoğun bir rafineri ister. Sistemin denklemi:



şeklinde özetlenebilir.

Yakıta dönüştürülebilen artıkların briket, pellet ve balya haline getirilmesi için yıllardır teknoloji geliştirme çalışmaları yapılmıştır. Bu konuda da oldukça gelişmiş ve oturmuş makina ekipmanları mevcuttur. Şekil 3.6 da bir Alman firması tarafından geliştirilmiş çöpten, arıtma çamurundan, tarımsal ve ormansal artıklardan çöp yakıt, taryakit, oryakit üretebilecek bir tesisin makina donanımı ve çevresel etki değerlendirmesinde gözönüne alan prosesin işlem akış şeması görülmektedir.

Bileşim (% Ağırlık)	Belediye Çöpü	Pirolitik Ürün No.6 Fuel-Oil
C	44,2	57,5
H	5,7	7,6
S	0,2	0,1-0,3
N	0,7	0,9
O	42,3	33,4
Cl	0,2	0,3
Kül	6,7	0,6-1
Spesifik gravite		1,90
Isı değeri, kJ/kg		24000
Akma noktası ( $^{\circ}$ C)		32
Parlama noktası( $^{\circ}$ C)		56
Viskozite cSt(88 $^{\circ}$ C)		3150
Pompalama sıcaklığı ( $^{\circ}$ C)		71
Atomizasyon sıcaklığı( $^{\circ}$ )		115

Belediye çöplerinin ve pirolitik sıvı ürünün analizi

% Ağırlık	Pirolitik Kömür	% Ağırlık	Pirolitik Gaz
C	48,8	H <sub>2</sub>	11,7
H	3,3	CO	34,9
N	1,1	CO <sub>2</sub>	35,4
S	0,4	CH <sub>4</sub>	5,7
O	12,8	C <sub>2</sub> H <sub>4</sub>	4,0
Cl	0,3	C <sub>2</sub>	0,4
Kül	33,3	H <sub>2</sub> S	0,4
Isıl değeri	20900 kJ/kg	Isıl Değeri	13000-18500 kJ/m <sup>3</sup>

Pirolitik gaz ve kömürün analizi

Tablo 3.2. Pirolitik ürünlerin kimyasal analizi

### **3.2 BIYOKİMYASAL DÖNÜŞÜMLER**

#### **3.2.1 FERMENTASYON TEKNİĞİ**

##### **3.2.1.1. Biyogaz Üretim Prosesleri**

Organik artıkların, değişik mikroorganizmalar aracılığıyla belirli sıcaklıklarda parçalanması olayına fermentasyon denir. Havalı ve havasız fermentasyon olmak üzere iki gruba ayırmamız mümkündür. Bu çalışmada havalı ve havasız fermentasyon deyimleri yerine Aerobik ve Anaerobik sindirim ifadeleri kullanılacaktır.

Aerobik sindirim, artıkların hava veya oksijen ile temas halindeki bozunmasını ifade ederken, Anaerobik sindirim havasız ortamda gerçekleştirilen bozunma olayını tanımlar. Organik maddelerin anaerobik işlenmesine oranla aerobik işleme çok daha fazla enerji verir, buda anaerobik işleme yöntemlerine, aerobik işleme yöntemlerinden daha fazla üstünlük sağlar. Öncelikle açığa çıkan enerjinin düşük olması nedeniyile birçok artıklarda ortaya çıkan biyokütle fazlası, aerobik biyokütlenin sadece % 10~20 sidir, bu biyokütle daha dengelidir. Böylelikle balık fazlası sorunuda giderilmiş olur. Ayrıca biyogaz üretiminde gerekli olan birçok mikroorganizma için oksijen öldürücü etki oluşturmaktadır. Anaerobik sindirim sonucu elde edilen son ürün kalitesi yüksek ve doğrudan kullanılabilecek bir gübre değerine sahip sindirim çamurudur.

Bu nedenlerden dolayı fermentasyon tekniği ilerde detaylı bir şekilde incelenirken "Anaerobik sindirim" prosesi ele alınacaktır. Biyogaz üretimi için bu en ideal prosesstir.

##### **3.2.1.2. Etanol Prosesleri**

Nişastalı, selülozik ve lignoselülozik artıkların hidrolizi ile elde edilen hidrolizatlardan havasız fermentasyonla etanolde elde edilir. Etanol fermentasyonunda kullanılan en önemli mikroorganizma sac-cromyces cerevisia dir. Günümüzde tarımsal ürünlerden etanol üretimi ve etanolün % 10 oranında benzine karıştırılarak motor yakıtı gibi kullanılması gerçekleştirilmiştir. Etanol oktan oranına destek olması gibi bir etkiye sahiptir. % 15~20 oranında süper benzinle karıştırılıp kullanımında gerçekleştirilmiştir. Ancak etanollu benzin kullanılırken bu karışımı suyun kesinlikle bulaşmaması gereklidir. Buda bir dezavantaj olarak görülmüştür.

Etanolin setan sayısının düşük olması buharlaşma ısısının yüksek olması ve emme havası sıcaklığını düşürmesi normal zamanda tutusmayı engellemekte ve motor da yeni düzenlemeler yapılmasını gerektirmektedir.

### 3.2.2. Hidrojen Eldesi

Hidrojen üreten birçok bakterinin yanında Algler, dediğimiz mikroorganizmalar oldukça önemlidir. Mikroorganizmaların türüne ve metabolizmalarında oluşan ara ürünlere göre hidrojen üretim mekanizması değişik olmaktadır.

Işıklı ve ışıksız ortamda  $H_2$  ve  $CO_2$  üretilmesi ilk kez chlamy Domonas Moewesii alg türünden gerçekleştirılmıştır. Daha sonra foto-kimyasal olarak mavi-yeşil algler ve kırmızı algler tarafından hidrojen üretildiği saptanmıştır.

Anaerobik koşullarda azot atmosferinde hidrojenaz enzimi içeren scendesmus gibi tek hücreli alglerin aydınlikta ürettiği hidrojen miktarının karanlıktakinden 10 kat fazla olduğu gözlenmiştir. Yeşil bitkilerde ve alglerde güneş tarafından suyun yükseltilmesiyle oksijen molekülleri salınır, aşağı çıkan elektronlar  $CO_2$  nin dönüşümünde ve hidrojen oluşumunda kullanılır. Anaerobik çürütücüler de gerçekleştirilen biyofotoliz tekniği halen geliştirilmeye çalışılmaktadır. Böyle bir çalışmaya hem metan hemde hidrojen elde edildiği ve kalan artıkların da gübre olarak değerlendirildiği söylenmektedir (5).

### 3.3 Enerji Üretim Tekniklerinin İrdelenmesi

Biyomas enerjisini ekonomik bir şekilde kullanabilmek ve elde edebilmek için bu tekniklerden en ideal olanını seçmek gerekmektedir. Yapılan literatür incelemelerinde bu konuda en iyi yöntemin Fermentasyon tekniğinin bir uygulaması olan "ANAEROBİK SİNDİRİM" prosesi olduğu sonucuna varılmıştır.

Direk yanma prosesleri kolay bir yöntem olmakla birlikte çevre kirliliği oluşturmaktır, sistemin durdurulup tekrar devreye alınması halinde ilave masraflar gerektirmektedir.

Gazlaştırma ve piroliz yöntemleri sonucu elde edilen ürünün fuel-oil'e göre asidik karakter de olduğu dolayısıyla korozif özellikler gösterdiği bilinmektedir. Ayrıca bu prosesler çöplerin önceden

mekanik olarak hazırlanmasını gerektirmekte bu faktörde maliyeti yükseltmektedir. Bu tip prosesler çok fazla miktarda artık bırakın ve sadece çöplerin miktarını azaltan işlemler olarak görülmektedir.

Biyolojik dönüşümler içerisinde hidrojen üretimi ileri bir teknolojiyi gerektirmekte ve halen gelişmektedir. Anaerobik sindirim prosesi sonucu çok yaygın bir kullanım alanı olan biyogaz elde edilmektedir. Bu teknik Türkiye gibi gelişmekte olan bir ülke için fazla masraf gerektirmeyen ve kolay uygulanabilen bir işlem olarak görülmüş ve incelenmiştir.

## BÖLÜM 4. ANAEROBIK SİNDİRİM

### 4.1 Prosesin Biyokimyası

Oksijene gereksinim duyan biyokimyasal süreçlerde  $O_2$ , elektron alıcısı olarak davranışın karbonlu bileşikleri  $CO_2$ 'e oksitler. Oksijen-siz ortamda gerçekleştirilen biyokimyasal süreçlerde ise elektron alıcısı olarak  $O_2$  yerine  $NO_3^-$  (nitrat),  $NO_2^-$  (nitrit),  $SO_4^{2-}$  (sülfat),  $H^+$  (Proton) ve  $CO_2$  gibi bileşikler görev yapmaktadır. Bu görev sonucunda  $NO_3^-$  ve  $NO_2^-$ ,  $N_2$  gazına (denitrifikasyon)  $SO_4^{2-}$ ,  $HS^-$ 'e;  $H^+$ ,  $H_2$  gazına,  $CO_2$  de  $CH_4$ 'a indirgenir. Bu süreçte önce nitrat, sonra  $SO_4^{2-}$  ve  $H^+$  son olarak  $CO_2$  indirgenir.

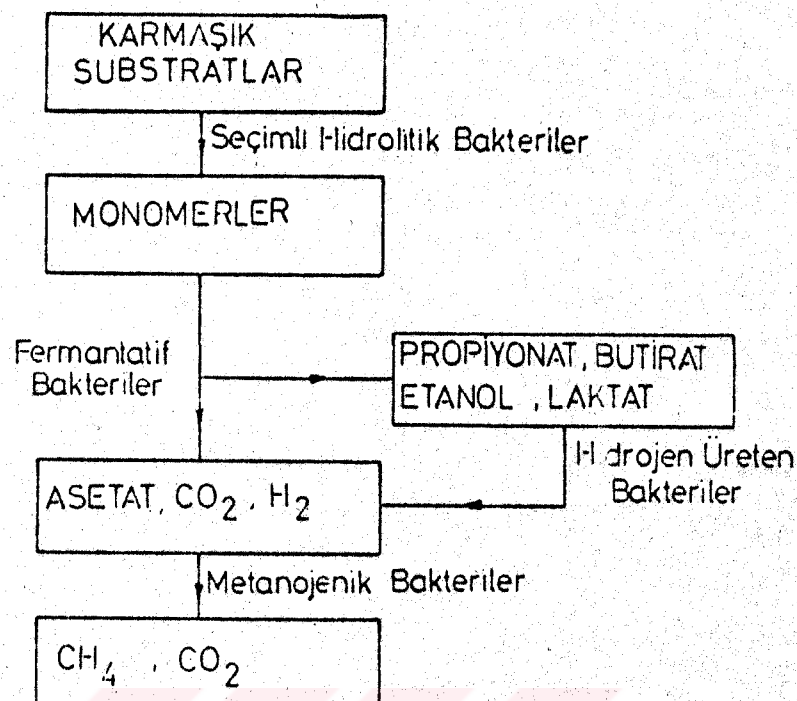
Son zamanlara kadar karmaşık substratların anaerobik sindiriminin iki aşamada gerçekleştiği öne sürülmektedir. İlk aşamada substrat bir grup fermentatif bakteriler tarafından uçucu asitler, alkoller,  $CO_2$  ve  $H_2$ 'e hidrolize olduğu ve ikinci aşamada da bu ara ürünlerin metanojenik bakteriler tarafından metana dönüştüğü kabul ediliyor. Ancak biyant ve arkadaşlarının 1979'da yaptığı çalışmalar sonucu bu olayın Şekil 4.1'de gösterildiği gibi üç aşamada oluştuğu saptanmıştır.

Birinci aşamada karbonhidrot, protein ve yağılardan oluşan karmaşık organik maddeler, seçimi hidrolitik bakterilerin salgılanıkları lipaz, amilaz, proteaz ve sülüaz gibi hücre dışı enzimlerle şeker aminoasit, yağ asitleri ve alkoller gibi suda çözünebilen monomerlerine parçalanmaktadır. Organik karbonun çözünür olmadığı artıklar da (hayvan dışkısı ve bitkisel artıklar gibi) bu aşama sisteme hız sınırlayıcı adımlı olmaktadır.

İkinci aşamada ilk aşamanın ürünlerini asetik asit ve  $CO_2$ 'e oksitlemekken bir kısmında propiyonat, butirat etanol v.b. gibi maddelere dönüsürler. Bu aşamada  $H^+$  iyonu hidrojen üreten bakteriler tarafından  $H_2$  e indirgenir.

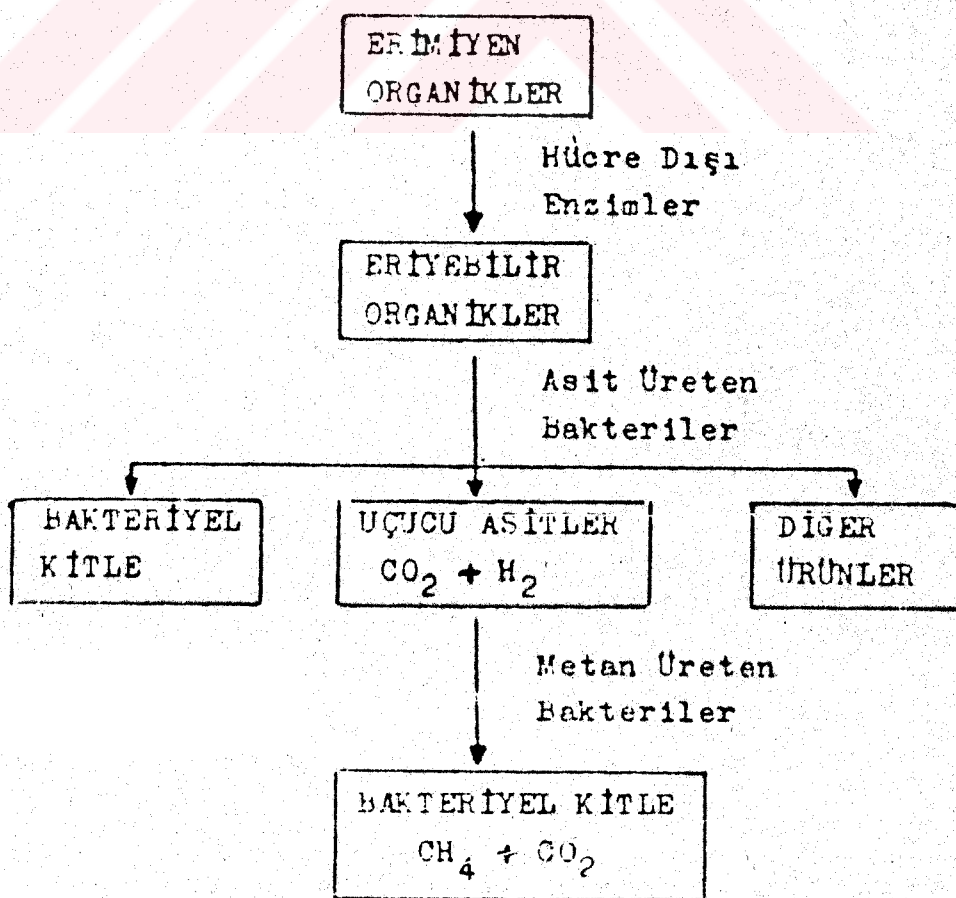
Üçüncü aşamada ise metan üreten bakteriler asetati,  $CO_2$  ve  $H_2$  ni substrat olarak kullanarak  $CH_4$  oluşumunu gerçekleştirirler. Metan üreten (metaojenik) bakterilerin yeterli derişimde olmamaları halinde sisteme asit birikimi olur ve bunun sonucunda metanojenik bakterilerin ölüm hızları artar. Bu nedenle başarılı bir biyogaz üretiminin gerçek-

- a -

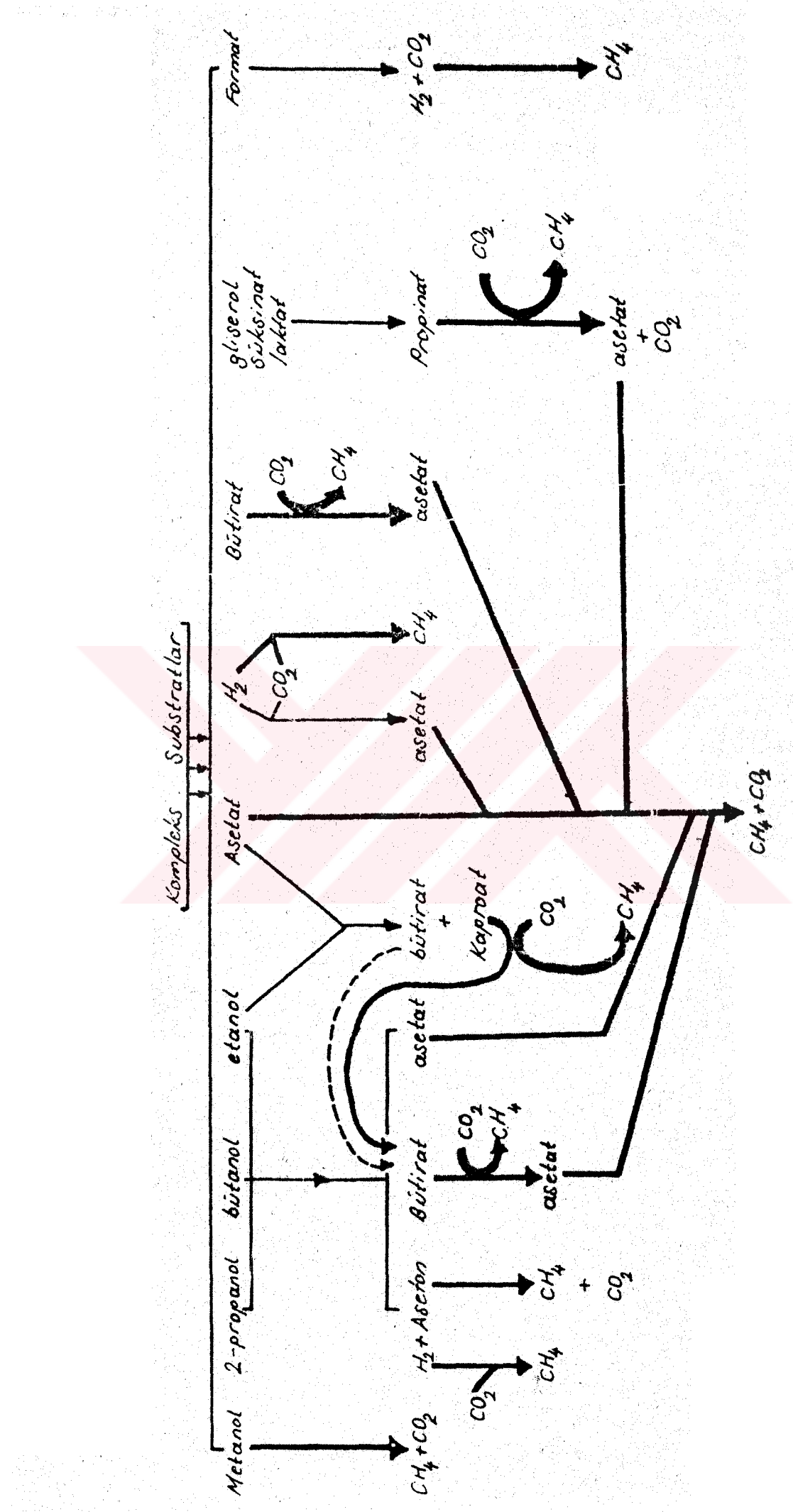


Şekil 4.1(a,b). Anaerobik sindirimin oluşum düzeni

- b -



Sekil 4.2. Karbon çevrimi maddeleri ile metan bakterilerinin ilişkisi



leşmesinde bu bakterilerin varlığı son derece önemlidir.

Şekil 4.2 de oksijensiz ortamda karbon çevriminin maddeleri ile metan bakterileri arasındaki besleme ve metabolizma ilişkileri özetlenmiştir. Şekilde kalın oklar metanojenik bakterilerin faaliyetlerini göstermektedir.

#### 4.2. Biyogaz Oluşumunun Mikrobiyolojisi

Yapılan araştırmalar sonucunda biyogazlaşma sürecinde birbirle-riyle çok yakın ilişkileri olan ve aşağıda özetlenen dört bakteri grubunun rol oynadığı saptanmıştır.

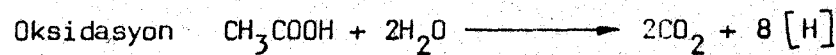
A) Hidrolitik Bakteriler: Bu bakteriler karbonhidrat protein, yağı ve benzeri yapıdaki polimer maddeleri hücre dışına salgıladıkları enzimlerle metabolize ederek, daha ufak moleküllere parçalarlar. *Propionibacter*, *Escherichie citrobacter*, *Clostridium* ve *Thermoanaerobium* bilinen hidrolitik bakterilerdir. Bunların içinde *Clostridium thermocellum* önemli bir hidrolitik bakteri olup yüksek sıcaklıkta selülozu parçalama yeteneğine sahiptir.

B) Hidrojen üreten Asetojenik bakteriler: Bu grup bakteriler üçten yedi karbona kadar olan alkol ve uçucu yağ asitlerini hidrojen ve asetata parçalarlar. Bu grubun bilinen en iyi örneği propiyonik asitten  $H_2$  ve asetik asit üreten *Syntrophobacter wolinii* dir.

C) Homoasetojenik Bakteriler: *Clostridium* ve *Acetobacterium* lar hidrojen okside edebilen homoasetojenik bakteri grubunun bilinen örnekleridir. Homoasetojenler, hem metan üretiminde gerekli olan asetikasidi oluşturduklarından hemde hidrojeni kullanarak hidrojen dengesini sağladıklarından önemlidirler. Çünkü,  $H_2$  nin kısmi basıncının yüksek olması metanojenik bakterilerin ölmesine neden olmaktadır.

D) Metanojenik Bakteriler: Biyogazlaşma sürecinin en son aşamasında etkin olan metanojenik bakterilerin hemen hepsi enerji ve hücre karbonunun sentezi için  $H_2$  ve  $CO_2$ 'e substrat olarak kullanabilirler. Ayrıca formatt, metanol ve asetat bazı metanojenikler tarafından substrat olarak kullanılabilirler. Amino asitleri ve moleküller azotu ise azot kaynağı olarak kullanamazlar. Azot kaynağı olarak  $NH_4^+$  a gereksinim duyarlar. Bazı metanojenik türlerinde kükürt kaynağı olarak  $H_2S$  ihtiyaç duydukları belirlenmiştir. Metanojenik bakteriler anorganik tuzlara da gereksinim duyarlar.

$\text{CH}_4$  oluşumu bakterilerin metabolizmaları sonucu olan küçük moleküllü organik bileşiklerin metan bakterileri tarafından  $\text{CO}_2$ 'e oksidasyonu ve oluşan karbondioksitin tümünün yada bir kısmının redüksiyonu ile olmaktadır.

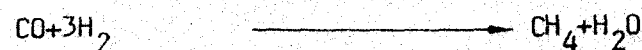


Çeşitli metan bakterilerinin gerçekleştirdiği metan oluşumu reaksiyonları aşağıda belirtilmiştir.

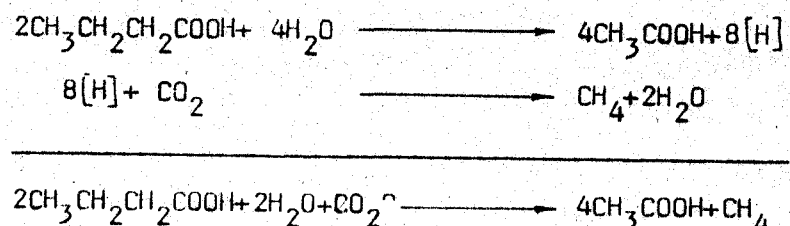
a) *Methanobacterium Omelianskii*



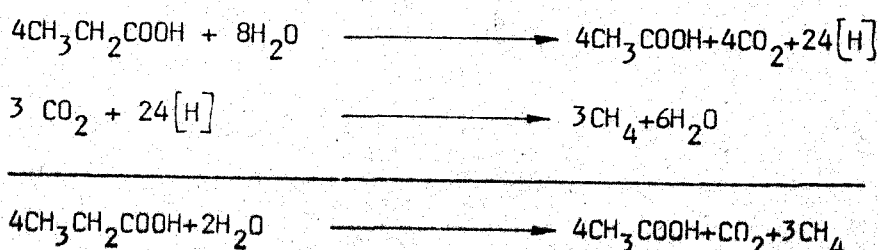
b) *Methanobacterium Formicicum*:



c) *Methanobacterium Suboxydans*



d) *Methanobacterium Propionicum*



(a) (1), (b) ve (c) şıklarında asetat bir ek son ürün olarak oluşur. Substratlar tümüyle metana dönüşmemiştir. Substratların tümüyle oksitlenmemesinden dolayı bu tip reaksiyonlar fermentatif tip olarak adlandırılır.

Yukarıdaki bakteri türleri içerisinde, çubuk şekilli müstakil olarak yaşayan ve sıcak ortamı seven *Methanobacterium omelianskii* türü literatürlerde belirtildiğine göre metan üretiminde en yaygın kullanılmıştır.

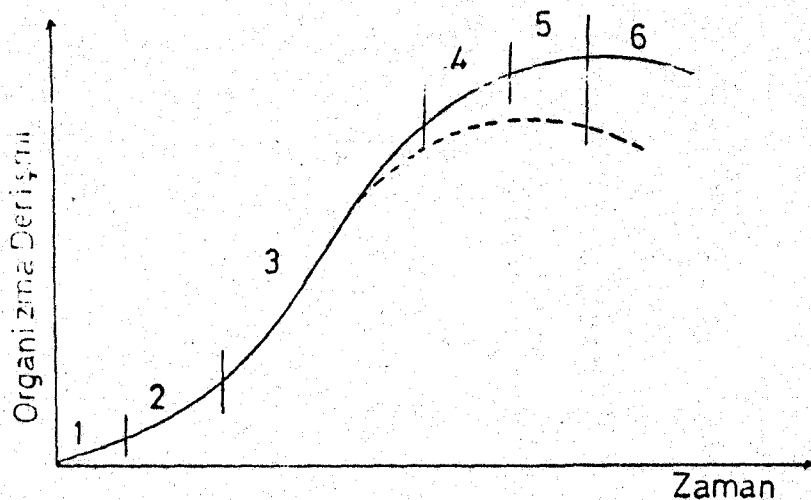
#### 4.3. Biyogaz Üretimine Etki Eden Faktörler

Biyogaz değişik tür mikroorganizma faaliyetlerinin yer aldığı fermentasyon işleminin sonucudur. Mikroorganizmaların gelişme ve üremelerine etki eden faktörler, dolaylı olarak biyogazlaşma sürecinde etkileyecektir. Üretime etki eden faktörler aşağıda özetlenmiştir.

##### 4.3.1. Mikroorganizmaların Üreme Evreleri:

Mikroorganizmaların gelişme ve üremeleri sırasında geçirilmekte oldukları evreler Şekil 4.3 de gösterilmiştir.

Birinci evre gelişme evresi olup sistemdeki mikroorganizmalar ortama uyum gösterip çoğalmaya başlayıncaya kadar geçen süredir. Bu evrede hücre sayısında önemli bir artış gözlenmiz. Gelişme evresi süresinin kısıtılması ekonomik yönden yararlıdır.



Şekil 4.3. Mikroorganizmaların Üreme evreleri

Gelişme evresinden sonra mikroorganizma sayısı artmaya başlar. Bu evreye hızlanma veya geçiş evresi denir. Üçüncü evre "logaritmik evre" olarak adlandırılmaktadır. Bu evrede mikroorganizmalar üssel olarak artar. Mikroorganizmaların üçüncü evrede genç ve dinç oldukları kabul edilerek ölüm yok sayılmakta ve kinetik bağıntılar türetildiğinde mikroorganizmaların ölüm hızı gözönüne alınmamaktadır.

Kesikli çalışan fermentörlerde, ortamdaki besin giderek azalmakta, mikroorganizmaları inhibe edecek ara ürünler oluşabilmekte sonuçta üreme ideallikten saparak şekil 4.3 de gösterilen duruma düşmektedir. Sürekli sistemde ise taze besin beslenmesi yapıldığından ideal olarak gösterilen logaritmik evreye varılabilir. Logaritmik devrede mikroorganizmaların üremeleri:

$$n = n_0 e^{kt} \quad (4.1)$$

üssel bağıntısı ile verilmektedir. Burada;

$n_0$ : Başlangıçtaki canlı mikroorganizma sayısı

$n$  : Herhangi bir  $t$  anındaki canlı mikroorganizma sayısı

$k$ : Sabit

$t$ : zaman

$\ln \frac{n}{n_0}$  ifade etmektedir.  $\ln \frac{n}{n_0}$  ile  $t$  arasında çizilen grafikten elde edilen doğrunun eğimi logaritmik evredeki üreme hız sabiti ( $k$ ) değerini

verir.

Logaritmik evreden sonra mikroorganizmaların yaşlanması ve ölüm olayının belirginleşmesi üzerine üreme hızında yavaşlama gözlenir. Dördüncü evreye yavaşlama evresi denilir. Beşinci evreye ise "duraklama evresi" denilmektedir. Bu evrede bazı mikroorganizmalar ürerken bazıları da ölürlü, bazlarında üremeden yaşamalarını sürdürür. Bu evrede mikroorganizmalarda net artış yada azalış gözlenmez. Son evre altında evrede mikroorganizmaların ölüm hızları artmaktadır ve bu nedenle mikroorganizma derişiminde azalma olmaktadır.

Şekil 4.3 den anlaşılabileceği gibi verimli bir biyogaz üretimini gerçekleştirebilmek için mikroorganizmaların üreme evrelerini mümkün olduğu kadar ikinci ve dördüncü evre arasında tutabilecek koşulları temin etmek gerekmektedir.

#### 4.3.2. Biyogaz Üretimeinde Sıcaklığın Etkisi:

Sıcaklık mikroorganizmaların üreme hızına etki eden bir faktör olduğundan, biyogaz üretiminde de önemli etkisi olmaktadır. Üreme hızının sıcaklığına göre mikroorganizmaların sınıflandırılması Tablo 4.1 de verilmiştir.

Grup	Sıcaklık ( $^{\circ}\text{C}$ )		
	minimum	optimum	maksimum
Termofil	40 - 45	55 - 70	60 - 80
Mezofil	10 - 15	30 - 45	35 - 47
Psikofil	(-5) - 5	15 - 18	19 - 22
Fakültatif	(-5) - 5	25 - 30	30 - 35

Tablo 4.1 Mikroorganizmaların üreme hızının sıcaklığına göre sınıflandırılması

Sıcaklığın etkisi Arrhenius bağıntısına göre tanımlanabilir.

Bu bağıntıya göre reaksiyon hızı katsayısı,

$$k = A \cdot e^{-E/RT} \quad (4.2)$$

k: Reaksiyon hızı katsayı (gün $^{-1}$ )

R: Gaz sabiti (kj/kmol  $^{\circ}\text{K}$ )

E: Aktivasyon enerjisi (kj/kmol)

$A_r$ : Arrhenius katsayı ( $\text{gün}^{-1}$ )

ifade etmektedir.

Mikroorganizmalar canlı varlıklar olduklarından, belirli bir sıcaklıktan sonra sıcaklığındaki artış, organizmaları öldürecekinden üreme hız katsayısında azalmakta ve eğim ters yöne doğru değişmektedir. Eğimin ters yöne doğru değiştiği yani kırılmaının başladığı bu nokta üretim için en uygun sıcaklığı vermektedir. Biyogaz üretiminde optimum sıcaklık bulunmasında mikroorganizmaların özgül büyümeye hızı temel alınmalıdır. Böylece büyümeye hızları optimuma ulaşan mikroorganizmaların substrati tüketme ve dolaylı olarak metan üretme hızları artacaktır. Çesitli araştırmacılar  $60^{\circ}\text{C}$  nin termofilik,  $35^{\circ}\text{C}$  nin mezofilik bölge için optimum olduğunu saptamıştır. Bu araştırmacılar (Varel, Hashimoto) sıcaklığın, mikroorganizmaların maksimum özgül büyümeye hızı ( $\mu_m$ ) üzerine etki eden birinci faktör olduğunu aşağıdaki empirik bağıntıyla göstermişlerdir.

$$\mu_m = 0,013 T - 0,129 \quad (4.3)$$

Burada;

$\mu_m$  = Maksimum özgül büyümeye hızı ( $\text{gün}^{-1}$ )

T = Sıcaklık, ( $^{\circ}\text{C}$ )

ifade etmektedir. Bu bağıntı, sıcaklığın  $20^{\circ}\text{C}$  ile  $60^{\circ}\text{C}$  arasındaki değerleri için geçerli olmaktadır. F.S.Atalay'ın bu konuda yaptığı deneyler ve incelemelerde kesikli fermentörlerde sıcaklığın fazla önem taşımadığı görülmüştür. İnek gübresi ile yapılan bu deneylerde sıcaklığın artmasıyla birlikte fermentasyon süresinin kısalıldığı gözlenmiştir. Düşük sıcaklıklarda da metan üretilebilmekte ancak istenilen miktarı üretmek için gerekli fermentör hacmi çok büyük olmakta, buda sistemin kuruş maliyetini artırmaktadır. Bu nedenle biyogaz üretimi gerçekleştirmek için çalışma sıcaklığı mezolitik yada termofilitik bölgede yapılmalıdır.

Metanojenik bakterilerin sıcaklık değişimlerinden etkilendiği bilinmektedir. Speece ve Kemi asetatla beslenen mezofilik bir kültürü 15 dakika ile iki saat arasında sürelerde  $15^{\circ}\sim 25^{\circ}\text{C}$  sıcaklık düşmeyeine tabi tutarak  $20^{\circ}\text{C}$  nin altında gaz üretiminin tamamen durduğunu ancak sistem  $35^{\circ}\text{C}$  ye çıkarıldığında gaz üretiminin tekrar başladığını gözlemiştir. Bu sonuç, mezofilik metanojenlerin kısa süreli sıcaklık

değişikliklerine uyum gösterdiğini ve sistem tekrar sıcaklığına getirildiğinde faaliyetlerine devam edebileceklerini ortaya koymaktadır.

Ancak, termofilik metanojenler için durum böyle değildir. D. Stuckey termofilik metanojenlerin sıcaklığa karşı çok hassas olduğunu ve  $1^{\circ}$ - $2^{\circ}\text{C}$  lik sıcaklık değişimlerinin bile kısa sürede giderilmemesi halinde termofilik metanojenlerin öleceklerini ve neticede gaz üretiminin tamamen durabileceğini belirtmiştir. Bu nedenle termofilik sıcaklıkta çalışmak çok hassas sıcaklık kontrolünde beraberinde getirmekte bu durum küçük tesisler için ekonomik olmamaktadır.

#### 4.3.3. Besin ve Katkı Maddelerinin Üretime Etkisi

Anaerobik sindirimde organizmaların besin ihtiyacı tespit edilirken daha önce bahsedilen dört grup organizmayı ayrı ayrı incelemek gereklidir. Fermentatif bakterilerin büyümeye hızları genellikle yüksek olup az bir besin eksikliği olsa da, büyümeye hızlarında azalma genel sürece fazla etkilememektedir. Ancak aretojenler ve metanojenler söz konusu olduğunda besin maddelerindeki bir sınırlama anaerobik sindirim sürecini bozmaktadır.

Üreteçlerin çoğu substrat kullanım modeli temel alınarak tasarlanmaktadır. Eğer bir besin maddesi sınırlayıcı rol oynuyorsa bu durumda reaksiyon hızı substrat teminine değil, bu besin maddesinin teminine bağlı olmaktadır. Mممكün olan en yüksek sindirim hızını sağlama bilmek için bütün besin maddelerinin gerekli miktarlardan daha fazla bulunması gereklidir.

Farklı bakteriler üzerinde yapılan denemeler sonucunda bakterilerin % 80  $\text{H}_2\text{O}$  ve % 20 sinin kuru madde olduğu, ve bu kuru maddenin yaklaşık % 90'unun organik % 10'unun anorganik madde olduğu saptanmıştır. Yapılan elementel analiz sonucunda bakterilerin yaklaşık formülüde  $\text{C}_{5}\text{H}_{7}\text{O}_2$  olarak saptanmıştır. Bu formülden anlaşılacağı gibi organik kısmın ağırlıkça % 53'ü karbondur. Yani bakterilerin metabolik faaliyetleri için öncelikle karbon kaynağına gereksinim vardır. Karbon ile birlikte azot ve anorganik maddeler gibi diğer besin kaynaklarına ihtiyaç vardır. Bakterilerin anorganik kısmının içeriği bileşiklerin niteliği % 50  $\text{P}_2\text{O}_5$ , % 15  $\text{SO}_3$ , % 11  $\text{Na}_2\text{O}$ , % 9  $\text{CaO}$ , % 8  $\text{MgO}$ , % 6  $\text{K}_2\text{O}$  ve % 1  $\text{Fe}_2\text{O}_3$  şeklindedir. Buradan anorganik maddeler içerisinde fosfora en fazla gereksinim duyulacağı anlaşılmaktadır.

Anaerobik mikroorganizmaların en önemli besin maddeleri karbon ve azottur. Bakteriler karbonun bir kısmını ve azotu yeni hücrelerin oluşturumasına yapı malzemesi olarak değerlendirirken karbonun bir kısmının yaşamalarını sürdürmek için enerji kaynağı olarak kullanmaktadır. Bu nedenle biyogaz üretiminde C/N oranı son derece önemlidir.

C/N oranının etkisi üzerinde birçok araştırmacılar çalışmıştır. Sievers ve Brune glukoz ve üreyi kullanarak domuz gübresinde 2 den 25'e kadar değişen C/N oranlarında denemeler yapıp düşük C/N oranında amonyağın zehir etkisi nedeniyle düşük  $\text{CH}_4$  verimi elde ettiklerini ve maksimum  $\text{CH}_4$  verimliliğinin C/N oranı 16-19 arasında olduğunu saptamışlardır. Diğer bir araştırmacı Hills inek gübresi içine glukoz katarak  $35^{\circ}\text{C}$  de deneyler yapmış ve C/N oranını 25 olarak saptamıştır. C/N oranı değişik biyomas kaynakları için Tablo 4.2 de gösterilmiştir.

Sonuçta düşük C/N oranına sahip artıkların fermantasyonunda daha yüksek  $\text{CH}_4$  verimi elde edebilmek için, biyolojik parçalanabilirliği yüksek karbon kaynakları ile takviye edilmesi gerekmektedir.

Diğer taraftan mikroorganizmaların üremeleri için anorganik maddelerde gereksinim olmaktadır. Clark ve Speece 150/2 oranında karbon fosfor önermektedirler. Biyokimyasal bulgular  $\text{Mg}^{+2}$  iyonlarının mikroorganizmada fosfataz enziminin aktivatörü olduğunu göstermektedir. Bu nedenle  $\text{Mg}^{+2}$  iyonlarından yoksun yada bu iyonların yetersiz oranda bulunduğu besin ortamından gelişen bakterilerde fosforilasyon reaksiyonu yavaşlayacağı için gelişme evresi uzun olmaktadır. Diğer taraftan K, Zn, Mn ve Cu'a da gereksinim duyulmaktadır. Keza  $\text{Fe}^{+3}$  şeklinde 300 mg/lit ye kadar demir katılmasının sindirim hızında önemli bir artış gösterdiği saptanmıştır. Bu durum değişik enzimlerin demire gösterdikleri gereksinimin bir fonksiyonu olduğu gibi demirin çözeltiden sülfiti çökelmesi ve böylece sülfit inkibisyonunu indirmesinede yardımçı olmaktadır.

Besin maddeleri dışındaki katkı maddelerin (örneğin enzimler) etkisi konusunda uzun yıllar araştırmalar yapılmış ancak henüz sonuca varılamamıştır.

Özellikle, sisteme selüloz enzimi katılarak bu enzimin selüloz artıklarına hücum edeceği böylece lignin kılıfının yırtılarak selülozu enzim hücumuna açık hale geleceği düşünülmektedir.

**Organik Maddelerde**

**C, 8 ağırlık N, 8 ağırlık C/N**

Bitki				
Buğday sapı	46	0,53	87:1	
Çeltik sapı	42	0,63	67:1	
Mısır sapı	40	0,75	53:1	
Dökülmüş yaprak	41	1,00	41:1	
Soya fasulyesi sapı	41	1,30	32:1	
Ot	14	0,54	27:1	
Yer fıstığı sap ve yaprağı	11	0,54	19:1	
Gübre				
Koyun	16	0,55	29:1	
Çığır	7,3	0,29	25:1	
At	10	0,42	24:1	
Domuz	7,8	0,65	13:1	
İnsan dışkısı	2,5	0,85	2,9:1	

#### 4.3.4. Biyolojik Parçalanabilirliğin Üretime Etkisi

Karmaşık organik maddelerin biyolojik parçalanabilirliğini doğrudan ölçmek mümkün değildir. Çünkü bunlar bakteriler tarafından ayrııştırıldıklarında bir bölümü metan gibi son ürünlere dönüşürken, geri kalani bakteriyel hücrelere dönüşmektedir. Bu nedenle uçucu katılardaki toplam azalma bakteriyel hücrelere dönüşen kısmın ilişkin bir ölçü vermediğinden biyolojik parçalanabilirliğin ancak bir göstergesi olabilemektedir. Bu ölçü üretilen metan miktarının değerlendirilmesine imkan verdiği için mühendislik açısından çok geçerli olmaktadır.

Bir organik maddenin biyolojik parçalanabilirliği esas olarak onun fiziki ve kimyasal yapısına bağlıdır. Genel olarak bir substrat ne kadar karmaşık olursa ayrıışabilirliği de o kadar düşük olur. Bu nedenle suda çözünür organikler çözünmeyenlere oranla daha fazla ayrışabilir eğilimdedirler. Saf selüloz ve lağım suyunda bulunan selülozun biyolojik parçalanabilirliğinin yüksek olduğu saptanmıştır. Hayvan ve tarımsal artıklarda olduğu gibi selüloz önemli miktarda lignin ve biraraya geldiğinde biyolojik parçalanabilirlik önemli miktarda azalmaktadır. Bunun, tümyle erimez durumda olan ligninin selüloz boşluklarını doldurarak lignoselüloz boşluklarını doldurarak lignoselüloz bileşğini oluşturmasi ve böylece selüloz enziminin içeriye girmesini engellemesinden ileri geldiği saptanmıştır.

Chandler ve çalışma grubu, lignin içeriği ile uçucu katıların parçalanması arasındaki ilişki üzerinde yaptıkları araştırma sonucunda, uçucu katıların sindirimini ile lignin arasında aşağıda verilen lineer bağıntının olduğunu saptamışlardır.

$$BY = -0.028x + 0.83 \quad (4.4)$$

Burada;

BY: Uçucu katının biyolojik parçalanabilir yüzdesi

X<sub>1</sub>: Uçucu katındaki lignin yüzdesi.

Büyükbaş hayvanlardan elde edilen çiftlik gübresi üzerinde yapılan deneyler sonucunda biyolojik parçalanabilirliğinin toplam uçucu katının % 53-57 arasında olduğu saptanmıştır. Böyle lignoselülozik bileşiklerin biyolojik parçalanabilirliğini artırmanın tek yolu sindirim öncesi yapılarını ıslık yada kimyasal yöntemlerle değiştirmektir. Böylece çözünür hale getirilen lignoselülozu çözünürlük devresine göre

ayrışabilme yüzdesinde artmış olacaktır.

Biyogaz üreteçlerinde geçerli olabilecek substrat tüketim modellerinde substrat derişimi olarak toplam uçucu katı yerine biyolojik parçalanan uçucu katı derişimi alınmalıdır. Buna göre kesikli fermentörde biyolojik parçalabilir uçucu katı maddenin derişimi, gaz üretiminde harcanan uçucu katının değişimi ile mikroorganizma değişimin toplamına eşit olacaktır.

#### 4.3.5. Alkalite ve PH'nın Üretime Etkisi

Anaerobik sindirim için optimum PH aralığı 6,8-7,5 arasındadır.

Anaerobik sistemlerdeki PH,  $\text{CO}_2/\text{HCO}_3$  tamponunun karşılıklı etkileşimi ve amonyağın bazik görevi ile kontrol edilmektedir. Biyogaz üreteçlerinde  $\text{CO}_2/\text{HCO}_3$  tamponu  $\text{CO}_2$  in biyolojik evrede oluşumu ile sıvı evreden gaz evreye olan kütle transferine bağlı olmaktadır.  $\text{CO}_2$  in sıvı fazda birikimi,

$$\frac{d(\text{CO}_2)_S}{dt} = R_B - k_{la} (C - C_d) \quad (4.5)$$

bağıntısı ile verilir. Burada,

$(\text{CO}_2)_S$ : Sıvı fazdaki  $\text{CO}_2$  derişimi (mol/lt)

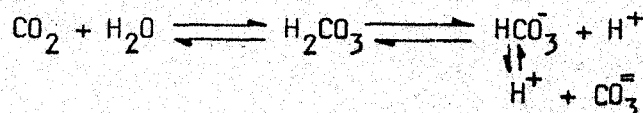
$R_B$  : Biyolojik evrede üretilen  $\text{CO}_2$  (mol/lt-gün)

$k_{la}$  :  $\text{CO}_2$  in sıvı evreden gaz evreye olan kütle aktarım katsayı (gün<sup>-1</sup>)

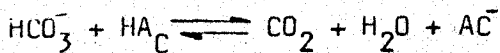
$C$  : Sıvı evredeki  $\text{CO}_2$  derişimi (mol/lt)

$C_d$  : Gaz evredeki  $\text{CO}_2$  ile dengele olan sıvı evredeki  $\text{CO}_2$  derişimi (mol/lt)

ifade etmektedir. Çözünün  $\text{CO}_2$  su ile aşağıdaki dengelere karbonat ve bikarbonat iyonları oluşturur.



Sıvı evredeki  $\text{CO}_2$  in derişimi bu dengelerdeki iyonlaşma sabitlerine ve PH'a bağlı olacaktır. Aşırı yükleme ve zehirlenme nedeni ile üreteçteki denge bozulursa, uçucu asit derişimi artar ve  $\text{HCO}_3^-$  alkalismasını yok eder.



reaksiyonuna göre  $\text{HCO}_3^-$  azalır ve neticede  $\text{CO}_2/\text{HCO}_3^-$  tamponu bozularak sistemin PH'ı azalır. Bu durumda sistem PH'ını optimum sınırlar içinde tutabilmek için  $\text{NaOH}$ ,  $\text{NaHCO}_3$ , veya  $\text{Ca(OH)}_2$  ilave edilebilir.

PH biyogaz üretiminde önemli olmakla birlikte yeterli C/N oranını oksijen ve diğer toksik maddelerin yokluğu v.b. koşulları sağlanmış bir üreteçte optimum PH doğal olarak korunmaktadır (2).

#### 4.3.6. Aşı Mikroorganizmanın Üretime Etkisi

Mikroorganizmaların birinci evresi olan gelişme evresini ortadan kaldırmak için sisteme aşısı yapmak gereklidir.

F.S.Atala yaptığı araştırmalarda ve deneylerde, 2 mm elektrot inek dışkısı süzüerek elde edilen elekaltı, serum şişelerine alınarak aşısı mikroorganizma üretilmiş ve bu kültürden alınan organizmalar üreteçlere % 3 uçucu katı oranında aşılanmış, bu sayede mikroorganizmaların yecikme evresinin kısallığını ve ortalama  $0.36 \text{ ltCH}_4/\text{g}$  tükenen VS verimliliğinde metan üretimini gerçekleştirmiştir.

Aşı mikroorganizmaların üretilmesinde değişik kaynaklardan alınan (lağım suyu, şakşembe v.b.) organizmaların aşısı kültürne aşılanmasından elde edilecek kültürlerin metan verimliliğini dahada artırabileceğि düşünülerek aşısı kültürleri üretimi yönünde çalışmaların yapılması gerekmektedir.

#### 4.3.7 Karıştırmanın Üretime Etkisi

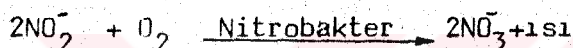
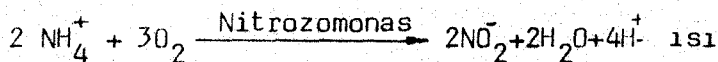
Karıştırma sisteme homojenlik sağlama açısından önemli olmaktadır. Substrat ve mikroorganizmaların dağılımında sağlanan homojenlik, organizmaların dengeli bir şekilde metabolizmalarını sürdürmelerini sağlamaktadır. Karıştırılmayan serum şişesinde ferment edilen inek dışkısının üç ayrı tabakaya ayrıldığı gözlenmiştir. Üst kısmında suyunu kaybeden hafif katmanların oluşturduğu katı katman gaz çıkışını engellemektedir. Orta kısmında sıvı evre, en alt kısmında da yüklenen dışkıının 2/3 lük kısmının çöktüğü bir katman oluşturmaktadır.

Karıştırma yapılmadığında sıcaklıkta homojen bir dağılım göstermemektedir. Hashimoto ve çalışma gurubu, sürekli karıştırmanın metan üretim hızına olan etkisini incelemiştir ve sürekli karıştırılan ferman-

törlerde, günde ortalama iki saat karıştırılan fermentörlerden elde edilen metanın % 8-11 kadar daha fazla metan elde edildiğini gözlemlerdir.

#### 4.3.8. Zehirleyiciler ve Üretime Olan Etkileri

Anaerobik mikroorganizmalar oksijene karşı çok duyarlı olup özellikle metanojenik bakteriler çözünmüş oksijen tarafından zehirlenmektedirler. Diğer taraftan, üreteçte var olabilen nitrit ve nitrat bakterileri amonyum iyonunu ortamda çözünmüş halde bulunan oksijen ile okside etmekte ve sonuçta  $\text{NH}_4^+$  kaybına neden olmaktadır.  
Bu olay sıcaklıkla artmaktadır.



Bu reaksiyonlar sonucunda  $\text{H}^+$  iyonu açığa çıktıından ortam PH'sının düşmesine neden olmaktadır. Sonuçta, ortamda metanojen ve asetojen bakterilerin üremeleri  $\text{NH}_4^+$  iyonunun kaybolması nedeniyle sınırlanmış olmaktadır.

Yapılan araştırmalar,  $\text{Na}^+$ ,  $\text{K}^+$ ,  $\text{NH}_4^+$ ,  $\text{Ca}^{++}$ ,  $\text{Mg}^{++}$  ve  $\text{Fe}^{+3}$  iyonlarının dışındaki iyonların 10 mg/lt derişim değerlerinde bile zehir etkisi yaptıklarını göstermiştir. Üreteçte var olan ve antagon olarak adlandırılan iyonların zehir etkisini azalttığı belirlenmiştir. Keyleman ve McCarty 300 mg/lt  $\text{K}^+$  iyonunun, 7000 mg/lt  $\text{Na}^+$  iyonunun zehir etkisini % 80 azalttığını saptamışlardır. Bu zehir etkisi 150 mg/lt  $\text{Ca}^{++}$  iyonlarının katılmasıyla tamamen ortadan kalkmaktadır.

$\text{NH}_3$  3000 mg/lt den fazla derişimde toksik olmakta ve düşük derişimlerde bile zehir etkisini sürdürmemektedir. Amonyağın zehir etkisi PH'a çok bağımlıdır. PH 7,5 üstünde olduğunda  $\text{NH}_4^+/\text{NH}_3$  dengesi  $\text{NH}_3$  lehine dönerek amonyak derişiminin artmasına neden olmaktadır.

Organik maddelerin zehir etkileri çok daha düşük derişimlerde olabilmektedir. Yapılan çalışmalarda bir milimolden küçük derişimlerde zehir etkisi yapan organik maddelerin  $\text{CCl}_4$ ,  $\text{CHCl}_3$ ,  $\text{CHCl}_2$ , etilen klorür, amin ve hidrozinler olduğunu, bir milimolden daha yüksek derişimlerde propiyonik asit gibi uzun yağ asitlerinin zehir etkisi yaptığı saptanmıştır. Arka sayfadaki tablodada katyonların zehir etkisi yaptığı

maksimum iyon derişimleri mg/lt cinsinden verilmiştir.

Kation	Antagonislerin Varlığında			
	Normalde	Alışılımış Durum	Normalde	Alışılımış Durum
Na	4600	7000	5750-7000	10500
NH <sub>4</sub>	1800	-	2700-3240	-
K	3500	5850	5580-7800	13600
Ca	2800	8000	5200	800
Mg	1215	1820	2430	3400

Tablo 4.3 Kationların zehir etkisi yapan (mg/lt) derişim değerleri

#### 4.4 Mikro Organizmaların Üreme Tekniği

Biyogaz üreteçlerinin tasarımının yapılabilmesi için mikroorganizmaların üreme kinetğini ve bundan yararlanarak, substrat tüketim ve gaz üretim modellerinin saptanması gerekmektedir. Bu bölümde konu ile teorik yaklaşım ve daha önceden yapılmış deneysel bulgular- dan yararlanılarak kesikli bir sistem için geliştirilmiş metamatiks model aktarılacaktır (3).

Kesikli bir üretekte substrat ve mikroorganizmaların ölüm hızını ihmali ederek kütle denklikleri kurulursa,

$$\frac{dS}{dt} = - \left( \frac{\mu}{Y_{X/S}} \right) X \quad (4.6)$$

$$\frac{dX}{dt} = \mu X \quad (4.7)$$

bağıntıları bulunur (2). Burada;

S: Biyolojik parçalanabilen uçucu katı olarak substrat konsantrasyonu (g/lt)

X: Mikroorganizmaların kütlesel konsantrasyonu (g/lt)

$Y_{X/S}$ : Verimlilik katsayısı, (üretilen g.mikroo./Tüketicili g.sub)

$\mu$  : Mikoorganizma özgül büyümeye hızı ( $\text{gün}^{-1}$ )

Verimlilik katsayısı substrat cinsine bağlı olup yaklaşık ola-

rak sabit kalmaktadır. Monod'un bulgularına göre  $\gamma_{x/s}$  değeri,

$$\gamma_{x/s} \approx -(dx/dS) \quad (4.8)$$

olmaktadır. (4.8) nolu denklemin sınır değerlerine göre entegre edilmesinden

$$x = x_0 + \gamma_{x/s} (S_0 - S) \quad (4.9)$$

bağıntısı bulunur. Burada,

$x_0$  = Başlangıç anındaki mikroorganizma konsant.(g/lt)

$S_0$  = Başlangıç anındaki substrat konsant.(g/lt)

ifade etmektedir. Eğer özgül büyümeye hızı ( $\mu$ ), substrat derişiminin fonksiyonu olarak ifade edilebilirse (4-6) nolu denklik sayesinde substrat-zaman ilişkisi çıkarılabilir. Mikroorganizmaların özgül büyümeye hızlarına ait denklikler tablo 4.4 de verilmiştir (11).

Denklik Adı	Denklik
Monod	$\mu = \mu_m S(K_S + S)^{-1}$
Gizli Büyüme	$\mu = \mu_m S(K_{S_0} + S)^{-1}$
Teiser	$\mu = \mu_m S(K_1 + K_2 S_0 + S)^{-1}$ $\mu = \mu_m (1 - e^{-S/K})$
Contois	$\mu = \mu_m S(BX + S)^{-1}$
Moser	$\mu = \mu_m (1 + KS^-)^{-1}$
Substrat inhibisyonu	$\mu = \mu_m (1 + K_S/S + S/K_i)^{-1}$ $\mu = \mu_m (1 + K_S/S + (S/K_i)^2)^{-1}$

Tablo 4.4. Mikroorganizmaların özgül büyümeye hızları.

Tablo 4.4 den faydalananarak elde edilen substrat-zaman ilişkili çeşitli kaynaklarda detaylı olarak verilmiştir. Ege Üniversitesi Kimya bölümünde F.S.Atalay'ın yaptığı deneysel incelemeler (inek gübre-si için), mikroorganizmaların özgül büyümeye hızını ifade etmek için

Contois denkliğinin en uygun denklik olduğunu göstermiştir. Bu durumda özgül büyümeye hızı ve kesikli sistem için aşağıdaki bağıntıların kullanılması gerekmektedir.

$$\mu = \mu_m S(BX + S)^{-1} \quad (4.10)$$

$$t = \frac{K(X_0 + YS)}{\mu_m(X_0 + YS_0)} \ln \frac{S_0 X_0 + Y(S_0 - S)}{X_0 S} + \frac{1-K}{\mu_m} \ln \frac{X_0 + Y(S_0 - S)}{X_0} \quad (4.11)$$

Bu denkliklerde,

$\mu_m$  = Maksimum özgül büyümeye hızı, ( $\text{gün}^{-1}$ )

S = Substrat konsantrasyonu (g/lt)

$S_0$  = Başlangıçtaki substrat konsantrasyonu (g/lt)

B = Kinetik bir katsayı

X = Mikroorganizma konsantrasyonu (g/lt)

$X_0$  = Başlangıçtaki mikroorganizma konsantrasyonu (g/lt)

Y = Mikroorganizmaların substrat kullanım katsayısı

K = B ile Y nin çarpımından elde edilen kinetik parametre.

Sürekli beslemeli, karıştırılan tank tipi fermentörler için yine contois eşitliğinden yararlanarak substrat tüketimi ve metan üretiminin matematiksel modelleri kurulabilir. Geri akımı olmayan sürekli karıştırılan sistem için mikroorganizma ve substrat dengeleri yazılırsa,

$$\frac{dX}{dt} = \mu X - \frac{X}{\theta} \quad (4.12)$$

$$\frac{dS}{dt} = -\dot{r} + \frac{S_0 - S}{\theta} \quad (4.13)$$

elde edilir. Burada,

$\theta$ : Hacimsal kalma süresi, (gün)

$\dot{r}$ : Substrat tüketim hızı (g substrat/lt-gün)

(4.12) nolu denklemin türetilmesinde girişte mikroorganizma olmadığı kabul edilmiştir. Her ne kadar hayvan dışkısı mikroorganizma içermesine rağmen öncedende belirtildiği gibi girişteki mikroorganizma derişimi fermentör içindeki konsantrasyondan ihmäl edilecek

kadar küçüktür.

Sistem dengeye geldiğinde (yatışkin halde)  $dX/dt$  ve  $dS/dt$  sıfıra eşit olup yukarıdaki eşitliklerden

$$\mu = \frac{1}{\theta} \quad (4.14)$$

$$\dot{r} = \frac{S_0 - S}{\theta} \quad (4.15)$$

$$X = Y(S_0 - S) \quad (4.16)$$

elde edilir. (4.16) nolu denklem Contois denkliğinde yerine konulursa,

$$\frac{\mu}{\mu_m} = \frac{S/S_0}{K + (1-K)S/S_0} \quad (4.17)$$

elde edilir. (4.14) ve (4.17) birleştirildiğinde aşağıdaki bağıntı bulunur.

$$\frac{S}{S_0} = \frac{K}{\mu_m \theta + K - 1} \quad (4.18)$$

Contois üreme modeline göre elde edilen (4.18) nolu denklik, sürekli beslemeli üreteçten çıkan substrat derişiminin, besleme derişimine, substratin cinsine ( $K$ ) ve kalış süresine ( $\theta$ ) bağımlı olduğunu göstermektedir.

$\text{CH}_4$  üretimi, uçucu katı maddenin azalması ile doğrudan ilgili dir. Eğer üreteçte uçucu katı maddenin gramı başına üretilen metanın hacmi  $\text{ÜM}$ , ve  $(\text{ÜM})_0$  ile de sonsuz kalma süresinde üretilerek hacmi ifade edilirse,  $S < (\text{ÜM})_0 - \text{ÜM}$  ve  $S_0 < (\text{ÜM})_0$  olacaktır. Bunlar (4.18) nolu eşitlikte yerine konur ve yeniden düzenlenirse

$$\text{ÜM} = (\text{ÜM})_0 \cdot 1 - \frac{K}{\mu_m \theta + K - 1} \quad (4.19)$$

denklemi elde edilir. Uçucu katı maddenin gramı başına üretilen  $\text{CH}_4$  hacmini ifade eden (4.19) nolu denklem, üreteç besleme derişimi  $S_0$  ile çarpılıp kalma süresine bölünürse üreteçin birim hacminden günde üretilen  $\text{CH}_4$  hacmi elde edilir.

$$GM = \frac{S_0 \cdot \text{ÜM}}{\theta} = \frac{(\text{ÜM})_0 \cdot S_0}{\theta} \cdot 1 - \frac{K}{\mu_m^{\theta+K-1}} \quad (4.20)$$

Atalay deneylerinde sonsuz kalma süresinde kullanılan uçucu katının gramı başına üretilen  $\text{CH}_4$  hacmini yaklaşık 0,36 lt olarak saptamış, Hashimoto ve çalışma grubu ise  $(\text{ÜM})_0$  değerini beslenen uçucu katının gramı başına 0,42 lt olarak saptamıştır. (4.20) nolu denklemde geçen K parametresi, substratın cinsine ve substrat besleme konsantrasyonuna bağlı olmaktadır. K değeri substrat inhibisyonunun bir göstergesi olup, bu parametrenin artması ile mikroorganizmaların üremeleri azalmaktadır. Hoshimoto, sığır dışkısı üzerinde yaptığı çalışmalar da K parametresinin aşağıdaki empirik bağıntı ile gösterileceğini belirtmiştir.

$$K = 0,8 + 0,0016 e^{0,0650} \quad (4.21)$$

(4.20) ve (4.21) nolu denkliklerle sürekli beslenen bir biyogaz tesisinden üretilen  $\text{CH}_4$  miktarı hesaplanabilir.

## BÖLÜM 5. BIYOGAZ TESİSLERİ VE ÖZELLİKLERİ

Biyogaz üretiminde hamadde ve çevre koşulları kadar biyogaz üreteçlerinin kendileride üretimde etkili olmaktadır. Herşeyden önce, mevcut koşul ve olanaklarla en çok gaz üretebilecek, üretimi sürekli olacak ve ucuza maledibilecek üreteç tipinin saptanması gerekmektedir. Bunun yapılabilmesi içinde değişik uygulamalar sonunda, bugüne kadar geliştirilmiş olan üreteçlerin tip ve özelliklerinin gözden geçirilmesi gerekmektedir. Üreteçler geliştirilerek kullanıldığı ülkelerin iklim durumlarında uygun tip seçiminde gözönüne alınmalıdır.

Bugüne kadar geliştirilmiş olan biyogaz üreteçleri gaz depolama özellikleri gözönüne alınarak, aşağıdaki sınıflandırılabilir.

### A) Fermentörü ve Gaz Toplayıcısı Birlikte Olan Üreteçler

Bu tip üreteçler genellikle Çin'de kullanılmaktadır. Çoğunlukla sabit kubbeli olmakla birlikte esnek torbalı üreteçlerede rastlanmaktadır. Çin tipinin avantajları bölgesel maddelerle inşa edilmesi ilk yatırım masraflarının kısmen düşük olması, fermentörün beslenmesi esnasında yerçekiminden yararlanması, tarımsal artıklarında kullanılabilmesidir. Dezavantajı ise, gaz basıncının düzensiz olmasıdır.

### B) Gaz Toplayıcısı Yüzer Olan Üreteçler

Bunlar Hindistan'da kullanılmaktadır. Üzerlerindeki gazometre nedeniyle basıncı sabit tutmaları avantajlı olmaktadır. Yalnızca sıçır gübresi kullanılması ve gazometrenin pahalı olmasına dezavantajlarıdır (Gaz toplayıcı metaldir).

### C) Ayrı Gaz Toplayıcılı Üreteçler

Gaz basıncı sabittir. İlk yatırım masrafları yüksektir. Gazın yanı yerde depolanması nedeniyle emniyetlidirler. Pek yaygın olmamakla birlikte Çin ve Tayland'da kullanılmaktadır.

Bu sınıflandırmanın yanısıra kanalizasyon tipi anaerobik bozma tesisleride bu konu içerisine girmektedir. Bu tip tesisler daha ge-

lişmiş ve mekanizasyonu daha ileri seviyede olan tesislerdir. Bu tesisler hakkında teferruatlı bilgi (4) nolu kaynaktan edinilebilir.

Bu bölümde ülkemizde yaygın kullanım alanı bulan biyogaz tesislerinden ve özelliklerinden bahsedilecektir.

### 5.1. Biyogaz Tesislerinin Başlica Bölümleri

#### 5.1.1. Gübre Besleme Rogarı

#### 5.1.2. Bağlantı Boruları

#### 5.1.3. Fermentör ve Karıştırıcı

#### 5.1.4. Gaz Toplama Yeri

#### 5.1.5. Fermente Oluş Gübrenin Tahliye Rogarı

#### 5.1.6. Gaz Dağıtı̄ Sistemi .

#### 5.1.7. Fermente Oluş Gübrenin Depolama Yeri

#### 5.1.8. Isıtma Sistemi

#### 5.1.1. Gübre Besleme Rogarı

Bu bölüm gübre+su karışımının fermentör içeresine verilmesini sağlar. Kapasitesi günlük besleme miktarı kadar olmalıdır. Buraya konulacak gübre+su karışımının homojen bir şekilde karışmasını sağlamak için basit bir karıştırıcı ilave etmek gereklidir. Bu karıştırıcı basit bir vantilatör pervanesi şeklinde olabileceği gibi dâha küçük tesislerde bu işlem kürek veya özel yapılmış bir çubuklada gerçekleştirilebilir. İyi bir karışımın sağlanıp tesisin tikanmaması için önemlidir.

Besleme rogarının alt kotu fermentör gübre seviyesinden daha yukarıda olmalıdır. Aksi takdirde besleme yapmak mümkün olmaz. Beslemenin rahat yapılabilmesi için bu kot farkı 30-40 cm civarında olmalıdır.

#### 5.1.2. Bağlantı Boruları

Bunlar, gübre besleme rogarı ile fermentörü bağlayan ve fermentte olmuş gübreyi tahliye eden borulardır. Bu borular su sızdırmaz bir şekilde büz veya PVC borulardan yapılabilir. Burada dikkat edilecek nokta besleme rogarını fermentörü bağlayan boru ucu fermentörün altına yakın olursa boşaltma borusunun mutlaka fermentörün yukarısında bir

yere konulmasıdır. Bu sayede giren gübrenin hemen çıkışını önlenmiş olur.

### 5.1.3. Fermentör

Gübrenin bozunmaya uğrayıp fermente olduğu bölümüdür. Burası tesisin en önemli bölümüdür. Fermentasyon işlemi burada gerçekleştiği için ısı kayıplarına karşı izole edilmiş, su sızdırması önlenmiş, gaz kaçmasına karşı yalıtılmış şekilde yapılması gereklidir. Fermentör kapasitesi isteğe göre ayarlanabilir. Seçilen yada hesaplanan değerden %20 daha fazla bir kapasitede yapılabilir. Bu fazlalık fermentör üzerinde gaz odası diye tabir edilen gaz toplama yeri içindir.

Fermentörler çok iyi pişirilmiş tuğladan yapılabildiği gibi büyük tesislerde betonarme yapılması yararlıdır. Su sızdırmazlığını temin etmek için iç yüzüne sikali şap sürülmeli tavsiye edilmiştir. Fermentörün dış yüzeyini ise yerel izolasyon malzemeleriyle izole etmek daha ekonomik olmaktadır.

Fermentör yeri seçilirken taban suyu seviyesi yüksek olmayan etkin rüzgarların etkisinde kalmayan ve güneye bakan bir yerin seçilmesi faydalıdır. Çünkü taban suyu yüksek olan yerlerde kurulacak tesislerin izolasyon maddeleri su alarak izolasyon özelliğini kaybedeceğini ve dışarıdan tesis içine su sıvıntısı olabileceği için şakıncalıdır.

Ayrıca deneme tesislerinde ortam sıcaklığının katı madde miktarının PH'ın kontrolü için yerler, termometre yeri ve numune olma yeri yapılmalıdır. Bu sayede tesisin kontrolü sağlanır.

Katı maddeler zamanla dibe çökeceği için belli bir süre sonra sistem tikanacaktır. İşte bu tikanma süresini kısaltmak için fermentör ortasına bir karıştırıcı koymak gereklidir. Bu sayede dibe çökmuş katı madde homojen bir şekilde sıvı içine dağılmış olur. Bu karıştırıcı basit ve insan gücüyle çalışır şekilde imal edildiği gibi bir elektrik motoruyla tarihlenerek kullanılabilir. Şekiller kısmında detaylı bir şekil verilmiştir.

Karıştırıcı için fermentör tabanından 30-40 cm yüksekliğindeki bir tabakanın karıştırılmasını ve sıvı yüzeyinde oluşan kabuklaşmayı parçalayabilecek bir pervane konulabilir. Diğer bir karıştırma şekli "Babul-Gün" denilen gaz kabarcığı tabancası kullanmakla gerçekleştirilebilir. Babul-gün denilen bir boru tesisin ortasına yerleştirilmiş üst

ucu bir kompresöre diğer ucu delikli olarak tesisin altına tespit edilmiştir. Fermentörden elde edilen gaz gazometre dediğimiz gaz toplama deposundan bir kompresörle emilir. Babul-gün'a basılır. Bu gaz fermentör içinden geçirilerek tekrar gazometreye gider. Bu sayede iyi bir karışma sağlanmış olur.

#### 5.1.4. Gaz Toplama Yeri

Bu bölüm tesislerde değişik şekillerde yapılmaktadır. Gazometre ayrı bir depo olarak düşünülebildiği gibi fermentör ile birlikte de yapılabilir. Çin tipi tesislerde fermentör ile gaz toplama yeri beraber inşa edilmektedir. Bu tip üreteçlerde kapasite hesaplanırken gaz toplama yeri tesis kapasitesine ilave edilmelidir. İlave edilen bu kapasite beklenen günlük gaz hacmi kadar olabilir. Gazometre kapasitesi değişik işletme şartlarında değişik değerler alır.

Gazometre genellikle saatdan imal edilir. Kore gibi uzak doğu ülkelerinde fiber glastan naylondan yapılmış gazometrelerde kullanılmaktadır. Gazometre fermentör içinde gübre ortamında hareket edebilecek tarzda yerleştirilir. Bu haliyle gaz çıkışına başladığında toplanan gaz gazometreye basınç yapacağı için gübre içerisinde yükselmeye başlayacaktır. Çok soğuk bölgeler için ayrı bir gazometre çukuru yapılarak bunun içine su doldurup çıkan gaz fermentörden bir boru ile gazometreye taşınarak depolanması sağlanır. Bununla tesisdeki ısı kaybı kısmen azaltılmış olur. Hint tipi tesisleri, çin tipi tesislerden ayıran başlıca özellik gaz depolama yeriidir. Çinlilerin yaptığı tesislerde gaz, gaz odası denilen fermentör içindeki bir bölümde toplanır. Gaz çıkışına başladığı zaman gübreye yapacağı basınç nedeniyle fermentördeki gübre+su karışımını aşağıya doğru iterek denge basıncı dediğimiz tahliye rogarındaki gübre seviyesini yükseltecektir. Gaz kulanıldıkça sistem ters çalışacaktır. Buradaki gaz odası hacmide alınma süresince ve üreteç sıcaklığına bağlı olarak tesis kapasitesine göre ayarlanır.

#### 5.1.5. Fermente Olmuş Gübrenin Tahliye Rogarı

Tespit edilen alikonma süresi gereğince alınan gübre tahliye rogarından günlük beslenen miktar kadar kendiliğinden atılacaktır.

Çinliler tahliye rogarını aynı zamanda denge bacası olarak kullanmaktadır. Bu tür üreteçlerde gazometre olmadığından gaz ba-

sinci nedenni ile bu denge bacasında gübre yükselecek böyle tesis basınç fazlalığından doğan zararlardan korunmuş olacaktır. Diğer gazometreli tesislerde böyle bir basınç zorlaması sözkonusu değildir. Onun için bestit bir rogar bu işleme yeterli gelir.

Dikkat edilecek önemli bir nokta, boşaltma borusunun çıkış ağız kotu, gübre üst kotunda olmalıdır, aksi takdirde istenilen kapasitenin altına düşülmüş olur.

#### 5.1.6. Gaz Dağıtım Sistemi

Üretilen gaz piyasada bulunan borularla dağıtılabılır.. Burada boru çapları taşınacak mesafeye ve gaz kullanım miktarına bağlı olarak seçilmelidir. Mesafe azaldıkça boru çapında basınç kayıplarını azaltmak için büyüyecektir. Gaz dağıtım şebekesi gaz sızdırmayacak şekilde yapılmalıdır, kullanılan vana ve fittings malzemeleri gaza göre seçilmelidir.

Fermentör sıcaklığında elde edilen gaz içerisinde o sıcaklıkta belli oranda doymuş su buharı bulunmaktadır. Su buharı fermentör sıcaklığının altındaki sıcaklıklarda sıvılaşacağından borularda su birikintisine neden olacaktır. Bu da gaz naklini engelleyecektir. Bunu önlemek için gaz dağıtım şebekesinin en düşük kotlarına birer tulumba ile birer su deposu yerleştirilir. Sıvılaşan su borularda toplanır. Ve zaman zaman dışarı atılır.

Ayrıca gazın içerisinde bulunan  $H_2S$ (Hidrojen sülfür) gazını kısmende olsa tutabilmek üzere demir talaşından geçirmek uygun olur. Böylece  $H_2S$  gazındaki kükürt demirle birleşerek  $(Fe_2S)$  oluşturur.

#### 5.1.7. Fermente Oluşmuş Gübrenin Depolama Yeri

Fermente gübre heran tarlaya atılamayacağı için tesis kapasitesine uygun büyülükte kullanım yerine ve üretece uygun (su sızdırmayacak) bir yerde depolanmalıdır. Eğer olanaklar uygunsa bir kanalet sistemiyle gübre doğrudan tarlayada verilebilir.

Ayrıca biyogaz ünitelerinde ısıtma sistemi ve fermentör kapağıda bulunur. Fermentör kapağı gerekiğinde tesisi boşaltabilmek için kullanılır. Bu kapak yerleştirildikten sonra gaz kaçırılmayacak şekilde yarılmalıdır. Isıtma sisteminde yerine göre şofben, santrifüj pompa, termostat serpantinler bulunur. Bazı tesislerde emniyet süpabı kullanmaktadır. Bu süpab içerisinde su bulunan bir U cam borusudur. Cam

boru içerisinde tesis basıncına eşit su sütunu bulunur ve bu cam boru tesisin gaz taşıma borularından birine bağlanır. Sistem basıncı maksimum değeri aştığında gaz cam borudan dışarı çıkarak tesis basıncını normale döndürür.

#### 5.1.8. Isıtma Sistemi

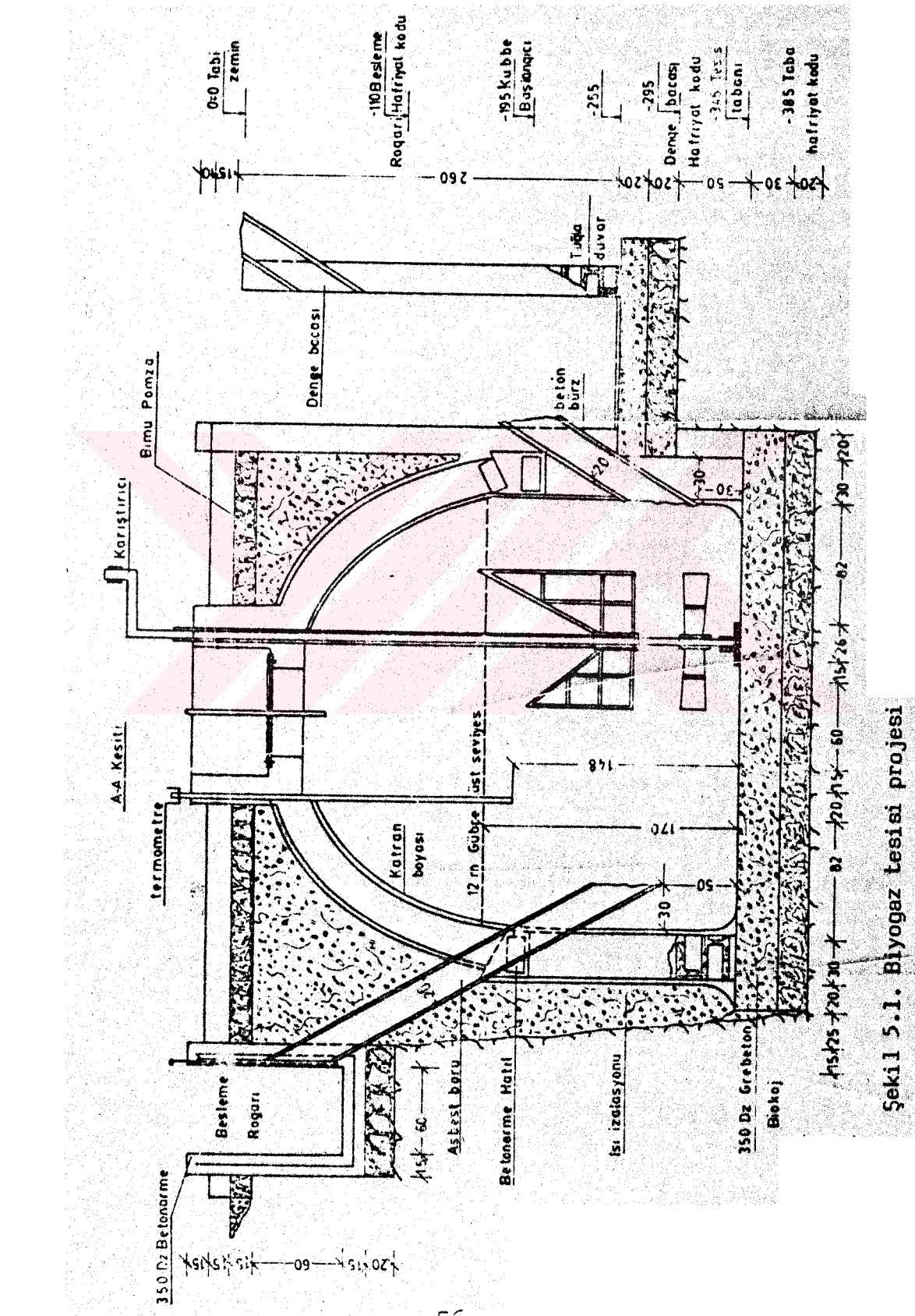
Biyogaz üreteçlerinde çeşitli ısıtma sistemleri uygulanmakla birlikte serpentinli ısıtma sistemi (ısı eşanjörü) yaygın olarak kullanılır. Fermentör içine yerleştirilen serpentiner (sıcak su boruları) içerisinde sıcak su dolaştırılarak kaybolan ısı karşılanmasıdır. Isıtma sistemi bir termostat yardımıyla otomatik olarak tesis ısısını sabit tutmaktadır.

Sistemde,

- 1) Motor-pompa grubu
- 2) Serpentinler
- 3) Su tankı
- 4) Su ısıticileri
- 5) Vanalar, termostat ve termometreler kullanılır.

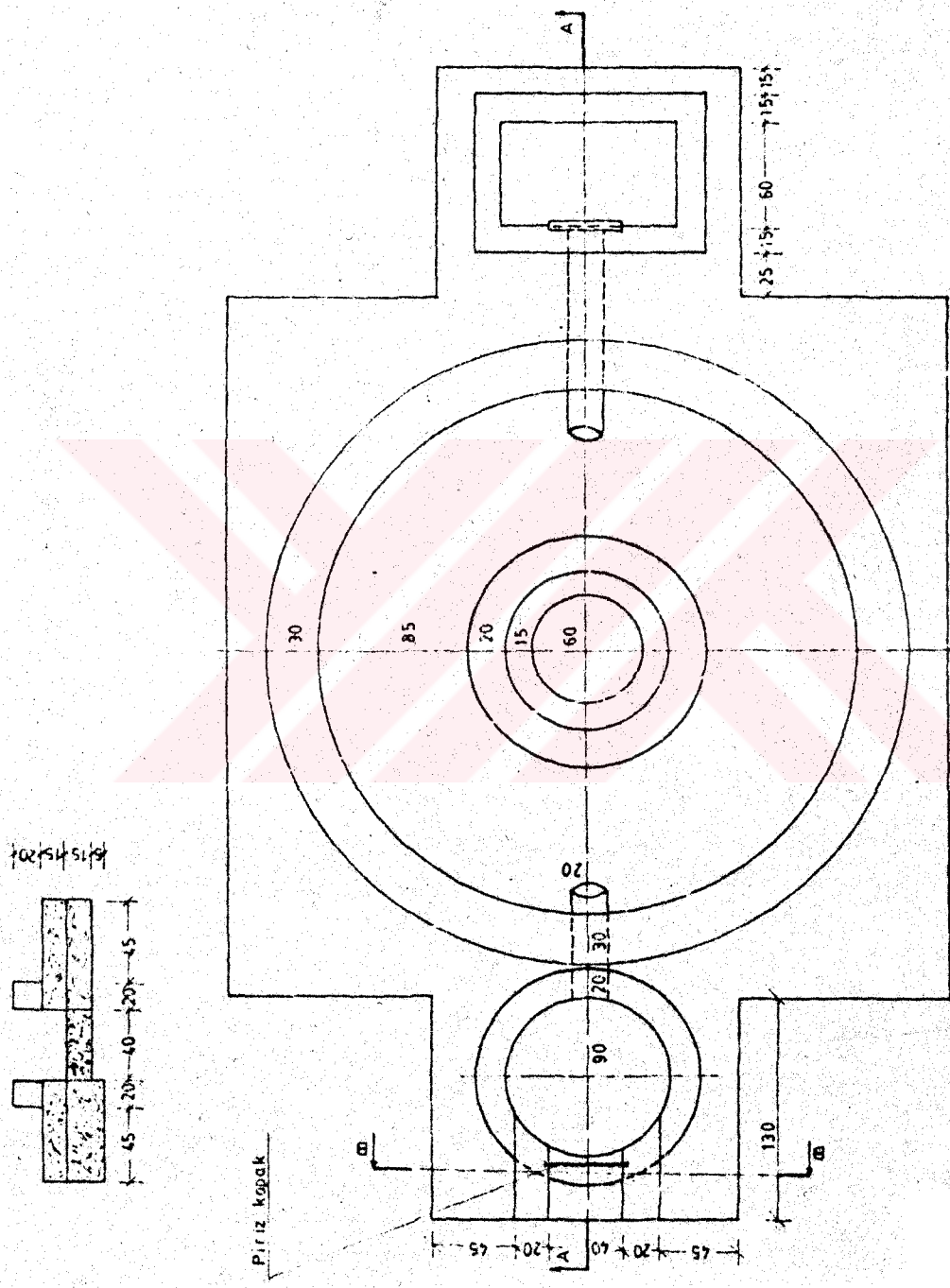
Motor-pompa grubu ısınan suyun fermentasyon tankı içindeki sirkülasyonunu sağlamaktadır. Pompa girişi üretecteki serpentinerlere, çıkış ise ısıtıcıya giden boruya bağlıdır.

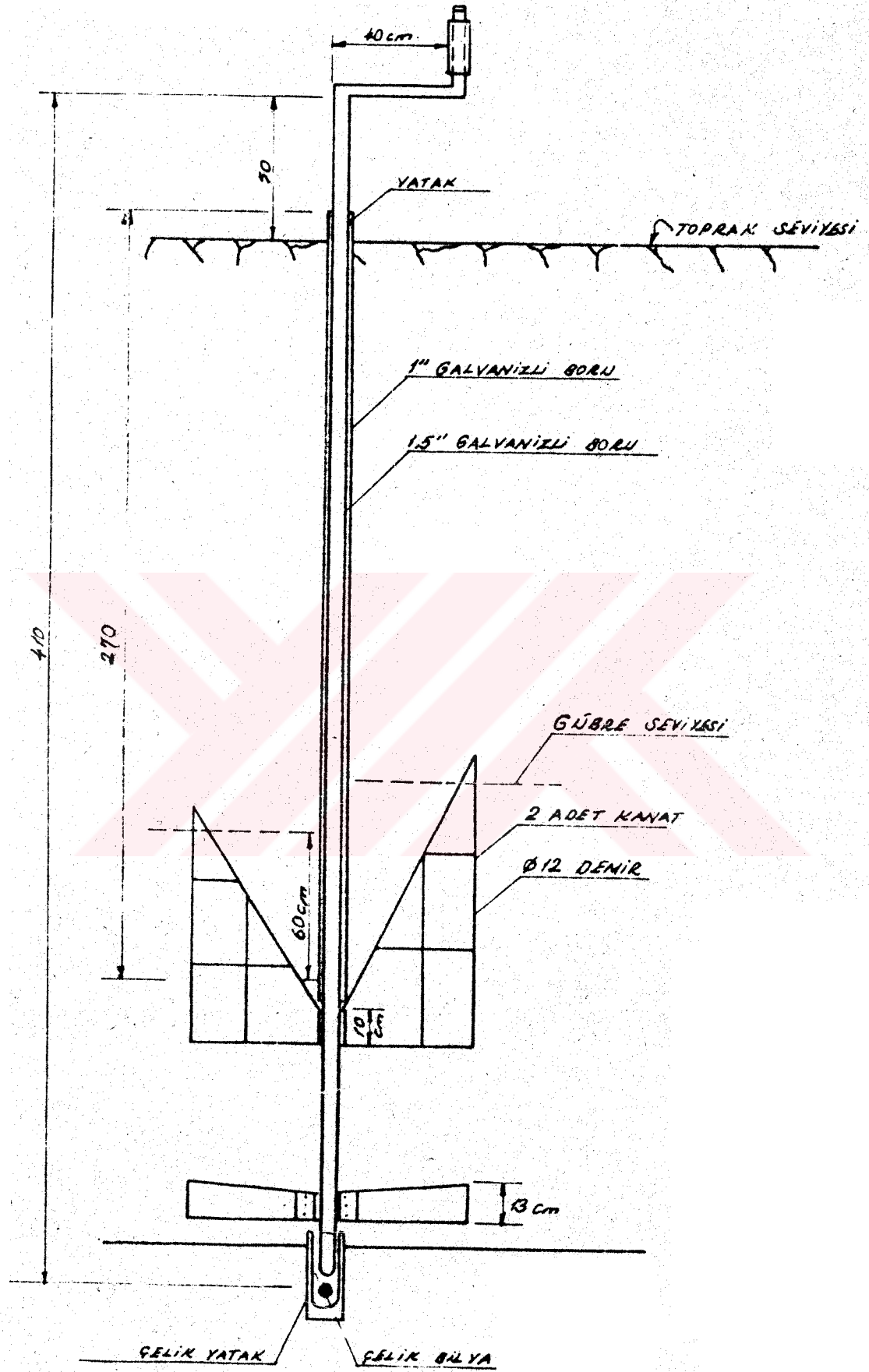
Serpentinler, ısınan suyu fermentasyon tankı içinde dolaştıracak tesisdeki ısı kaybının karşılanmasıını sağlarlar. Su tankı, suyun kapalı bir sistem olarak sürekli devrini sağlamaktadır. Aynı zamanda tesis içine verilen su sıcaklığının  $55^{\circ}\text{C}$  den yüksek olmamasını sağlar. Isıtıcıarda ısınan su tanka gelmekte buradan tesis'e geçmektedir. Direkt ısıtıcılardan alınması halinde istenilenin üstünde sıcaklıklarda su dolaşabileceğinde mikroorganizmalar için ölüm nedeni olabilir. Su ısıticileri olarak, güneş kollektörleri, elektrikli ısıtıcılar, üretilen biyogazdan faydalananarak ısıtma yöntemleri uygulanabilir. Termometreler ve termostat sıcaklıklarını kontrol amacıyla vanalarda su sirkülasyonunu istenilen düzeyde tutmak amacıyla yerleştirilmiştir.



**Şekil 5.1.** Biyogaz tesisi projesi

**Şekil 5.2.** Tesisin Üstten görünüşü





Şekil 5.3. MEKANİK KARIŞTIRICI

### 5.2.1. FERMANTÖRÜN BOYUTLANDIRILMASI

İsi kayiplarını minimuma indirmek amacıyla fermentör silindirik olarak düşünülebilir. Fermentörün hacmi besleme debisine ve hacimsel kalma süresine göre değişir. Fermentörün optimum çap ve yüksekliği aşağıdaki bağıntılardan bulunmaktadır.

$$D_{opt} = (8 V/\pi)^{1/3} \quad (5.1)$$

$$H_{opt} = (4 V/(\pi D_{opt}^2)) \quad (5.2)$$

Burada,

$V$ : Fermentör hacmi, ( $m^3$ )

$D_{opt}$ : optimum fermentör çapı(m)

$H_{opt}$ : optimum fermentör yüksekliği(m)

### 5.2.2. Fermentör İsi Dengesi

Fermentörü sabit sıcaklıkta tutmak için gereken ısı enerjisi, fermentör etrafında kurulan ısı dengesi ile hesaplanabilir.

$$Q_T = Q_{Yan} + Q_{Tab} + Q_{Tav} + Q_{Su} + Q_{Bef} + Q_{Gaz} - Q_{RX} \quad (5.3)$$

Burada,

$Q_T$ : Fermentörü sabit sıcaklıkta tutmak için gerekli ısı enerjisi (Mj/gün)

$Q_{Yan}$ : Yanal yüzeyden kaybedilen ısı enerji (Mj/gün)

$Q_{Tab}$ : Tabandan kaybedilen ısı enerjisi (Mj/gün)

$Q_{Tav}$ : Tavandan kaybedilen ısı enerjisi (Mj/gün)

$Q_{Su}$ : Fermentörden buharlaşan suyun aldığı ısı enerjisi (Mj/gün)

$Q_{Gaz}$ : Fermentörden ayrılan biyogazın hissedilir ısısı (Mj/gün)

$Q_{Bef}$ : Besleme sıvısını fermentör sıcaklığına getirmek için gerekli olan ısı enerjisi (Mj/gün)

$Q_{RX}$ : Reaksiyon ısısı (Mj/gün)

değerlerini ifade etmektedir. Bu ısı enerjisi değerleri kısaca şöyle elde edilir.

Yüzeylerden kaybolan ısı enerjisi: ( $Q_{Yan}, Q_{tab}, Q_{tav}$ ):

Fermentör duvarlarından kaybolan ısı değerini bulmak için yüzeyleri məydana getiren katmanlardaki ıslı dirençleri bulmak gereklidir. Silindirik

bir yüzey için ısil direnç.

$$R_i = \frac{\ln(r_i + l/r_i)}{2\pi k_i H} \quad (5.4)$$

bağıntısı ile tanımlanabilir (2). Burada;

$R_i$ : i katmanın ısil direnci ( $^0C$  gün/Mj)

$r_i$ : i katmanın yarıçapı, (m)

$k_i$ : i katmanın ısil iletkenlik katsayısı (Mj/m $^0C$  gün)

H : Katman yüksekliği, (m)

ifade etmektedir.

Taban ve tavanın yapısı dairesel diz bir yüzey olduğundan ısil direnç:

$$R_i = \frac{4 \delta_i}{\pi k_i D_i^2} \quad (5.5)$$

bağıntısı ile hesaplanır. Burada,

$\delta_i$ : i katmanın kalınlığı (m)

$D_i$ : i katmanın çapı (m) göstermektedir.

Hesaplanan ısil dirençlerden yanal yüzey ve tabandan olan ısı kaybı aşağıdaki (5.6) ve (5.7) denklemlerinden hesaplanır.

$$Q_{Yan} = \frac{T_f - T_s}{\sum_{i=1}^N (R_i)_{Yan}} \quad (5.6)$$

$$Q_{Tab} = \frac{T_f - T_s}{\sum_{i=1}^N (R_i)_{Tab}} \quad (5.7)$$

Bu ifadelerde  $T_f$  ve  $T_s$  sırasıyla fermentör ve toprak sıcaklıklarını ( $^0C$ ) göstermektedir. Tavandan kaybolan ısı enerjisi kondüksiyonun yanında havanın hareketli olması nedeniyle konveksiyonlada olmaktadır. Bu nedenle tavan için toplam ısil dirence konveksiyon ısil direncinin de katılması gereklidir. Konveksiyonla ısı transferi katsayı-

si tavan üzerindeki hareketli Reynolds sayısının bir fonksiyonudur.

Reynolds sayısı,

$$Re = 70630 V_h D \quad (5.8)$$

bağıntısı ile hesaplanmaktadır. Burada,

$V_h$ : Hareketli havanın hızı, (m/s),

D : Fermentör tavanının çapı (m)

göstermektedir. Reynolds sayısına bağımlı olarak düz bir yüzeyden  $V_h$  (m/s) hızla akan havanın konvektif ısı transferi katsayısı tablo 5.1 de verilmiştir. Böylece konveksiyon ısıl direnci:

$$R_{konv} = \frac{2}{\pi h D^2} \quad (5.9)$$

bağıntısı ile hesaplanabilir. Burada,

$h$  : Havanın konveksiyonla ısı transfer katsayısı ( $Mj/m^2 \text{ } ^\circ\text{C}\text{-gün}$ )

D : Tavan çapını (m)

ifade etmektedir.

Reynolds sayısı	Konveksiyon ısı transferi katsayısı ( $Mj/m^2 \text{ } ^\circ\text{C}\text{-gün}$ )
$Re < 300000$	$346 V_h^{0,5} D^{-0,5}$
$300000 < Re < 500000$	$1070 V_h^{0,8} D^{-0,2}$
$Re > 500000$	$1110 V_h^{0,8} D^{-0,2}$

Tablo 5.1. Düz bir yüzeyden akan havanın konveksiyonla ısı transfer katsayısı

Duvarlardan olan ısı kaybını veren bağıntılar incelendiğinde fermentör ve çevre sıcaklığının sabit olması halinde ve ısıl direncin artması durumunda duvarlardan olan ısı kaybının azalacağı görülmektedir. Bu da sistemin ısıl iletkenlik katsayısı küçük olan izolasyon maddesi ile izole edilmesi gereğini ortaya koymaktadır.

Fermentörde Buharlaşan Suyun Aldığı Entalpi ( $Q_{su}$ ):

Fermentör sıcaklığında buharlaşan suyun aldığı entalpi aşağıdaki bağıntı ile hesaplanmaktadır.

$$Q_{su} = W [H_{su} + C_{p,su} (T_f - T_b)] \quad (5.10)$$

Burada,

$W$ : Buharlaşan su miktarı (kg/gün)

$\Delta H_{su}$ : Fermentör sıcaklığında ( $T_f$ ) suyun buharlaşma entalpisi (kj/gün)

$C_{p,su}$ : Suyun ısı kapasitesi, (kj/kg<sup>0</sup>C)

$T_f$ : Fermentör sıcaklığı (°C)

$T_b$ : Besleme sıvısının sıcaklığı (°C) ifade eder.

Fermentör sıcaklığında buharlaşan suyun miktarı aşağıdaki bağıntılarla hesaplanmaktadır.

$$W = 0,775 C_{CH_4} X_w / (1-X_w) X_{CH_4} \quad (5.11)$$

$$X_w = (1.27) 10^6 \cdot \exp(-5220/T) \quad (5.12)$$

$$T = T_f + 273 \quad (5.13)$$

Bu bağıntılarda:

$C_{CH_4}$ : Günlük üretilen metan miktarı (m<sup>3</sup>/gün)

$X_{CH_4}$ : Kuru biyogazdaki metan yüzdesi

$X_w$ : Biyogaz içindeki suyun yüzdesi

$T$ : Fermentör sıcaklığını (°K) göstermektedir.

Besleme sıvısını fermentör sıcaklığına yükseltmek için gerekli ısı enerjisi: ( $Q_{Bef}$ ): Fermentöre giren sulu karışımı fermentör sıcaklığına ullaştırmak için verilmesi gereken ısı enerjisi

$$Q_{Bef} = m_b C_p b (T_f - T_b) \quad (5.14)$$

denklemi ile bulunmaktadır. Burada:

$m_b$ : Toplam besleme debisi (kg/gün)

$C_{p,b}$ : Besleme sıvısının ısı kapasitesini (Mj/kg<sup>0</sup>C)

göstermektedir. Besleme sıvısının ısı kapasitesi, beslemedeki katı maddenin yüzdesine bağlı olup,

$$C_{p,b} = (1 - 0,00812 \times k) 0,00418 \quad (5.15)$$

bağıntısı ile hesaplanmaktadır. Burada,

$k$  = Beslemedeki katı madde yüzdesidir.

Fermentörden ayrılan biyogazın hissedilir ısısı: ( $Q_{gaz}$ )

Fermentörü terkeden biyogazın hissedilir ısısı, metanın ve karbondioksitin hissedilir ıslarının toplamına eşit olmaktadır.

Buna göre,

$$Q_{CH_4} = n_{CH_4} \cdot C_{p,CH_4} (T_f - T_h) \quad (5.16)$$

$$Q_{CO_2} = n_{CO_2} \cdot C_{p,CO_2} (T_f - T_h) \quad (5.17)$$

bağıntılardan her bir bilşenin hissedilir ısısı hesaplanır. Bağıntınlarda,

$n_{CH_4}$  : Metanın molar olarak günlük üretimi (kmol/gün)

$n_{CO_2}$  : Karbondioksitin molar günlük üretimi (kmol/gün)

$C_{p,CH_4}$  : Metanın ısı kapasitesi (Mj/kmol°C)

$C_{p,CO_2}$  : Karbondioksitin ısı kapasitesi (Mj/kmol°C)

$T_h$  : Havanın sıcaklığı (°C)

Reaksiyon ısısı: ( $Q_R$ ): Biyogazlaşma işleminde açığa çıkan reaksiyon ısısı yaklaşık olarak  $-54507$  (Mj/kmol)  $CH_4$  olup (13) bu değer günlük üretilen metan miktarı ile çarpılarak reaksiyon esnasında açığa çıkan ısı enerjisi hesaplanmaktadır.

### 5.2.3. Isı Transfer Alanı

Fermentörü sabit sıcaklıkta tutmak için gerekli ısı miktarı ( $Q_T$ ) atmosferik parametreler nedeni ile her an değişmektedir. Fermentör yerleştirilecek ısıtıcı boruların alanı hesaplanırken en fazla ısı kaybının temel alınması şarttır. En büyük ısı kaybı aylık ortalama bazda bulunduktan sonra ısıtma alanı aşağıdaki formülle hesaplanmaktadır.

$$A = \frac{Q_T}{U \Delta T_{log}} \quad (5.18)$$

Burada,  $U$ : Toplam ısı transfer katsayısı ( $Mj/m^2 \text{ °C gün}$ )

$\Delta T_{log}$ : Logaritmik sıcaklık farkı ortalaması (°C)

göstermektedir. Isı transferi alanı bulunduktan sonra ısıtıcı eşanjör gibi düşünülüp gerekli boru uzunluğu, eşanjör çapı, boru aralıkları geçiş sayısı gibi değişkenler bulunabilir.

#### 5.2.4. Besleme Sistemi

Biyogaz eldesinde kullanılan organik artıklar yüksek viskozite- li maddeler olup, genelde Newtonien olmayan yalançı plastik davranış gösterirler. Bu tür akışkanlarda kayma gerilimi ve hız gradienti arasındaki ilişki üstel bir fonksiyon olarak bilinmektedir. Borudan geçen besleme sıvısının rejimini belirlemekte kullanılan Reynolds sayısı:

$$Re = \frac{\rho D_b V}{K} \left( \frac{BV}{D_b} \right)^{1-n} \left( \frac{4n}{1+3n} \right)^n \quad (5.19)$$

bağıntısı ile belirlenir (2).

Burada;

$\rho$ : Besleme sıvısının yoğunluğu ( $\text{kg/m}^3$ )

$D_b$ : Besleme borusunun çapı (m)

$V$ : Besleme sıvısının çizgisel hızı (m/s)

$n$ : Kayma gerilimi ile hız gradienti ilişkisindeki üstel katsayı

$K$ : Kayma gerilimi ile hız gradienti ilişkisindeki sabiti ifade etmektedir. Sulu inek dışkısı üzerinde yapılan çalışmalarda  $K$  sabiti ortalama olarak  $4 \text{ dynsn/cm}^2$  ve  $n$ 'de 0,6 olarak saptanmıştır (2).

Besleme sisteminde kot farkı önemli olmadığından sistemdeki basınç kaybı sürtünme kayıplarına eşit olmakta ve aşağıdaki bağıntılarla hesaplanabilmektedir.

$$f = \begin{cases} 16/Re & Re \leq 3100 \\ 0,0306 Re^{-0.18} & R > 3100 \end{cases} \quad (5.20)$$

$$P = 2f \sum \frac{L_b}{D_b} V^2 \quad (5.21)$$

Bu bağıntılarda,

$f$ : Sürtünme faktörü

$P$ : Sistemdeki toplam basınç kaybı ( $\text{N/m}^2$ )

$L_b$ : Eşdeğer boru uzunluğu(m)

$D_b$ : Boru çapı, (m)

$\rho$ : Besleme sıvısının yoğunlığını ( $\text{kg/m}^3$ )

ifade etmektedir.

### 5.2.5. Karıştırma Sistemi

Biyogaz üretim tesislerinde homojenliği sağlamak için karıştırma yapılması şarttır. TÜBİTAK'ın desteklediği MAG-536 sayılı Ege Üniversitesi'ndeki bir tasarım çalışmasında yatayla  $90^{\circ}$  lik açı yapan iki adet çift kanatlı karıştırıcı, yapım kolaylığı nedeni ile öngörülmüşdür.

Bu karıştırıcının gücü aynı çapa fakat (2b) genişliğinde bir adet çift kanatlı karıştırıcının gücüne eşdeğerdir. Tasarım verilerinde kanadın çizgisel hızının  $5 \text{ m/s}$  geçmemesi ve kanat çapı fermentör çapının  $0.4$  ü kadar olması önerilmektedir.

Bir adet çift kanatlı karıştırıcı için güç sayısı,

$$\text{Güç say} = \frac{A}{Re} + B \left( \frac{10^3 + 1.2 \cdot Re^{0,66}}{10^3 + 3,2 \cdot Re^{0,66}} \right)^P \left( \frac{H}{D} \right)^{0,35+b/D} (\sin \alpha)^{1.2} \quad (5.22)$$

bağıntısı ile hesaplanmaktadır. (2). Karıştırmada Reynolds sayısı,

$$Re = \frac{D_k^2 N (11N)^{1-n}}{K} \left( \frac{4n}{1+3n} \right)^n \quad (5.23)$$

bağıntısı ile bulunmaktadır (2). Bu bağıntılarda,

$H$ : Fermentör yüksekliği ( $\text{m}$ )

$D$ : Fermentör çapı ( $\text{m}$ )

$b$ : Bir kanadın genişliği ( $\text{m}$ )

$\alpha$ : Kanadın yatayla yaptığı açı, (derece)

$N$ : Karıştırıcının saniyedeki devir sayısı ( $\text{d/s}$ )

$D_k$ : Karıştırıcının çapını ( $\text{m}$ )

ifade etmektedir. Yukarıdaki bağıntılarda geçen  $A$ ,  $B$  ve  $P$  değerleri,

$$A = \frac{b}{D} \left( 670 \left( \frac{D_k}{D} - 0,6 \right)^2 + 185 \right) \rightarrow \quad (5.24)$$

$$B = 10 \cdot 1,3 - 4 \left( \frac{b}{D} \right)^2 - 0,5^2 - 1,14 \left( \frac{D_k}{D} \right)^2 \quad (5.25)$$

$$P = 1,1 + 4 \left( \frac{b}{D} \right) - 2,5 \left( \frac{D_k}{D} \right)^2 - 0,5^2 - 7 \left( \frac{b}{D} \right)^4 \quad (5.26)$$

bağıntıları ile hesaplanmaktadır. Güç sayısından yararlanarak karıştırma için gerekli olan motorun teorik gücü (watt):

$$\text{Teorik Güç} = (\text{Güç sayısı})(N^3)(D_k^5) \rho \quad (5.27)$$

bağıntısından bulunur.

#### 5.2.6. İzolasyon

İyi bir fermentasyon için belirli sıcaklık sınırlarının yanısıra fermentördeki ıslak değişimlerini de minimuma indirmek, ani sıcaklık değişimlerini önlemek zorunludur. Anı sıcaklık değişimleri PH'ı değiştirmekte dolayısıyla asit üretimi ve metan üretimi arasındaki denge bozularak gaz verimi düşmektedir.

Bu nedenle biyogaz üreteçleri genelde kapalı yerlerde, toprak altında, ahır ve ağıllarda kurulmakta veya üreteçlerin üzerinde sera etkisi oluşturulmaya çalışılmaktadır. Bunların yanısıra izolasyon malzemeleri kullanaraka bu durum sağlanmaktadır. Bu konuda yapılan değişik çalışmalarında,  $50^{\circ}\text{C}$  da çalışan hacimsal kalma süresi 20 gün olan ve 100 hayvanın gübreinin değerlendirildiği bir biyogaz tesisinde optimum izolasyon kalınlığı cam elyafı için 0,25 (m), perlit için 0,5(m) olarak bulunmuştur. Gübre miktarı ve kalma süresi değiştirildiğinde optimum izolasyon kalınlığının değişmediği görülmüştür. Ayrıca bu tür tesisler için izolasyon kullanmadan sadece beton monoblok şeklindeki bir tasarımda 0,9 metre beton kalınlığının optimum değer olduğu görülmüştür. Bu sonuçlar, biyogaz tesislerimin mutlaka ıslık direnç katsayısi yüksek olan bir malzeme ile izole edilmesi gerektiğini göstermektedir.

#### 5.2.7. Ekonomiklik Hesabı

Bu tür sistemlerin ekonomiklik analizi deneySEL çalışmalarдан ve model çalışmaların değerlendirilmesinden yapılır. Tesisin kurulacağı yıldaki fiyatlar temel alınır. Aşağıda ekonomik analizde kullanılacak bağıntılar verilmiştir (2).

$$\text{Geri dönüş oranı} = \frac{K}{TSM} \quad (5.28)$$

$$\text{Metan birim maliyeti} = \frac{YTM}{YUMM} \quad (5.29)$$

$$\text{Mmür boyu tasarruf} = \frac{1}{(EO-FO)} \cdot \left( \frac{1+EO}{1+FO} \right)^M - 1 \cdot k \quad (5.30)$$

Bu bağıntılarda,

$k$ : (Metanın yıllık parasal değeri)-(yıllık toplam maliyet)(TL/yıl)

TSM: Toplam kuruluş maliyeti(TL)

YTM: Yıllık toplam maliyet(TL/yıl)

YUMM: Yıllık üretilen metan miktarı( $m^3/yıl$ )

EO: Yıllık enflasyon oranı(yüzdesi)

FO: Yıllık Net ~~fazla~~ yüzdesi

M: Amortisman süresi (yıl)

İfade etmektedir.

## BÖLÜM 6. GÜL POSALARININ TEORİK VE DENEYSEL İNCELENMESİ

Bu bölümün amacı güyağı fabrikalarının posalarından biyogaz elde etme olasılığının araştırılmasıdır. Böyle araştırmalarda teorik ve deneysel çalışmalar birlikte yürütülür. Teorik katsayılar deneyler sonucunda ideal değerine ulaşır. Kısıtlı laboratuvar olanakları nedeniyle sağlıklı bir deneysel inceleme yapılamamış bu yüzdede teoriye uygunluk sağlanıp sağlanamadığına kesin bir karar verilememiştir. Ancak deneyler sırasındaki gözlemlere dayanarak sonuç bölümünde bazı noktalar belirtilemiştir.

### 6.1. Teorik Yaklaşım

Artıkların anaerobik sindirim'e uygunluğu kontrolde ilk aşama, kimyasal kompozisyonlarının bilinmesidir. Tablo 6.1 de gül posasının kimyasal bileşimi verilmiştir. Bu verilere dayanarak C/N oranının 17.43 olduğu görülmüştür. Bu oran biyogaz üretimi için yeterlidir. Literaturde bu oranın 20/1 civarında olması halinde dengeli PH'in sağlanacağı ve hücre gelişmesi için gerekli azotun varlığı belirtilmektedir. Karbon fazlalığı fermentasyonu durdurmakta, azot fazlalığı ise NH<sub>3</sub> oluşumuna neden olup bakteriler üzerinde belli bir konsantrasyondan sonra toksik etki oluşturmaktadır.

Gül çiçeklerinden distilasyon ve extraksiyon yöntemleriyle elde edilen güyağı ve gülsuyu üretiminden sonra yılda 750 ton gül posası yakılmakta veya derelere dökülmektedir. Bu artıkların kuru örneklerinde yapılan ön analizlerde posanın kuru ot düzeyinde besin maddesi (karbonhidrat+protein) kapsadığı görülmüştür. Posanın havada kurutulduktan sonra gübre halini aldığı gözlenmiştir. Posayla birlikte dışarı atılan ikinci bir artık distilasyon sularıdır. Bu artık sular gelişigüzel arklara bırakıldığından çevredeki bitkisel varlık için zararlı olmakta, kurutucu özellik göstermektedir. Bunun nedeni atık sularındaki fenil etil alkol ve fenil asit türevleridir. Bu asit türevleri taze artıklarında hem besin hemde gübre değerini olumsuz yönde etkilemektedir. Bu durumun daha ileri derecede çalışmalar için gözönüne alınması gereklidir.

Elementel AnalizKuru numune, % ağırlık

C	40.44
H	5.2
N	2.32
O	36.71
P	0.1
Kül	4.26
Diger elementler	10.97

Endüstriyel yaşı analiz% ağırlık

Nem	23.63
Uçucu madde	58.35
Kül	4.26
Sabit karbon	13.76

Organik bileşikler% ağırlık

Ham protein	13.91
Selüloz	26.7
C/N	17.43

Tablo 6.1. Gül posasının kimyasal analiz sonuçları

Biyogaz dolayısıyla da metan üretiminin ortamdaki mikroorganizmaların büyümeye hızıyla orantılı olduğu bölüm 4 de açıklanmıştır. (4.3) nolu denklemden mikroorganizmaların mezofilik fermentasyonla çoğazla hızı:

$$\mu_m = 0,13 T - 0,129 \text{ gün}^{-1}$$

$$T = 35^\circ\text{C} \text{ (mezofilik fermentasyon sıcaklığı)}$$

$$\mu_m = 0,326 \text{ gün}^{-1}$$

olarak bulunur.

Deneysel sonucu bulunan,

$S_0 = 35 \text{ kg/m}^3$  Beslemedeki uçucu madde konsantrasyonu (4.21) nolu kinetik katsayı denkleminde kullanılırsa.

$$K = 0,8 + 0,016 e^{0,66 S_0}$$

$$K = 0,93$$

olarak bulunur. Artıkların fermentörde hacimsal kalma süresi ( $\theta$ )=25 gün olarak seçilmiştir. Değişik hayvansal artıklar üzerinde yapılan deneyselde sonsuz kalma süresinde kullanılan uçucu katının gramı başına üretilen  $\text{CH}_4$  hacmi yaklaşık 0,36 litr civarında tespit edilmiştir. Bu değer bitkisel artıklar için  $(UM)_0 = 1,32 \text{ m}^3/\text{kg}$  olarak kullanılacaktır. Bu verilere dayanarak fermentör binim hacminde günde üretilen metan miktarı, (4.20) nolu denklemden bulunur.

$$GM = \frac{S_0 \cdot UM}{\theta} = \frac{S_0 (UM)_0}{\theta} \left[ 1 - \frac{K}{\mu_m \theta + K - 1} \right]$$

$$GM = \frac{0,32 \times 35}{25} \left[ 1 - \frac{0,93}{0,326 \cdot 25 + 0,93 - 1} \right]$$

$$GM = 0,399 \text{ m}^3/\text{gün-m}^3 \text{ bulunur.}$$

$$\frac{GM}{S_0} = \frac{0,399}{35} = 0,0114 \text{ m}^3/\text{kg-gün}$$

Seçilen günlük besleme miktarına göre fermentör hacmi hesaplanabilir. Bu hesaplamada aşağıdaki değerler deneyel olarak bulunmalı veya literatürlerden belirli bir yaklaşım ile alınmalıdır. Görüleceği gibi bazı değerlerde hesaplanmaktadır.

$G_g$ : Fermentöre yüklenecek artık kapasitesi kg/gün

$X_{yk}$ : Artıkların katı madde yüzdesi

$X_{vs}$ : Katı maddedeki uçucu katı oranı

$S_o$ : Beslemedeki uçucu katı konsantrasyonu  $\text{kg}/\text{m}^3$

$V_{S_m}$ : Beslemedeki günlük uçucu katı miktarı kg/gün

$X_{ggk}$ : Fermentöre yüklenen günlük katı madde miktarı kg/gün

$G_{so}$ : Fermentör için gerekli substrat beslemesi kg/gün

$G_{su}$ : Gerekli su miktarı kg/gün

$V_{su}$ : Hacimsal su debisi  $\text{m}^3/\text{gün}$

$V_U$ : Fermentasyon hacmi  $\text{m}^3$

Bu değerlerden bilinenler aşağıda sıralanmış bilinmeyenler hesaplanmıştır.

$$G_g = 500 \text{ kg/gün}$$

$$X_{yk} = \% 18$$

$$X_{vs} = \% 80$$

$$S_o = 35 \text{ kg/m}^3$$

$$\rho = 980 \text{ kg/m}^3 : \text{Besleme sıvısının yoğunluğu}$$

$$X_{ggk} = (G_g) \times (X_{yk})$$

$$X_{ggk} = 500 \times 0,18 = 90 \text{ kg/gün}$$

$$V_{sm} = (X_{vs}) \times (X_{ggk})$$

$$V_{S_m} = (0,80) \times (90) = 72 \text{ kg/gün}$$

$$G_{so} = \frac{V_{S_m} \cdot \rho}{S_o}$$

$$G_{so} = \frac{72 \times 980}{35} = 2016 \text{ kg/gün}$$

$$G_{su} = (G_{so} - G_g) = 2016 - 500$$

$$G_{su} = 1516 \text{ kg/gün}$$

$$V_{su} = \frac{G_{su}}{g_{su}} = \frac{1516}{1000}$$

$$V_{su} = 1.516 \text{ m}^3/\text{gün}$$

$$V_F = \frac{(G_{so} \times \theta)}{g_{bs}} = \frac{2016 \times 25}{980}$$

$$V_F = 52,00 \text{ m}^3 \text{ alınır.}$$

Bu hacime sahip bir fermentörden günde üretilebilecek metan miktarı,  $GM \times V_F$  değerindedir.

$$GM \times V_F = 0,399 \times 52 = 20.74 \text{ m}^3/\text{gün}$$

Fermentöre yüklenen 1 kg katı madde miktarına düşen metan ise,  $(GM \times V_F) / X_{ggk} = 0,23 \text{ m}^3/\text{kg}$  katı madde-gün olur.

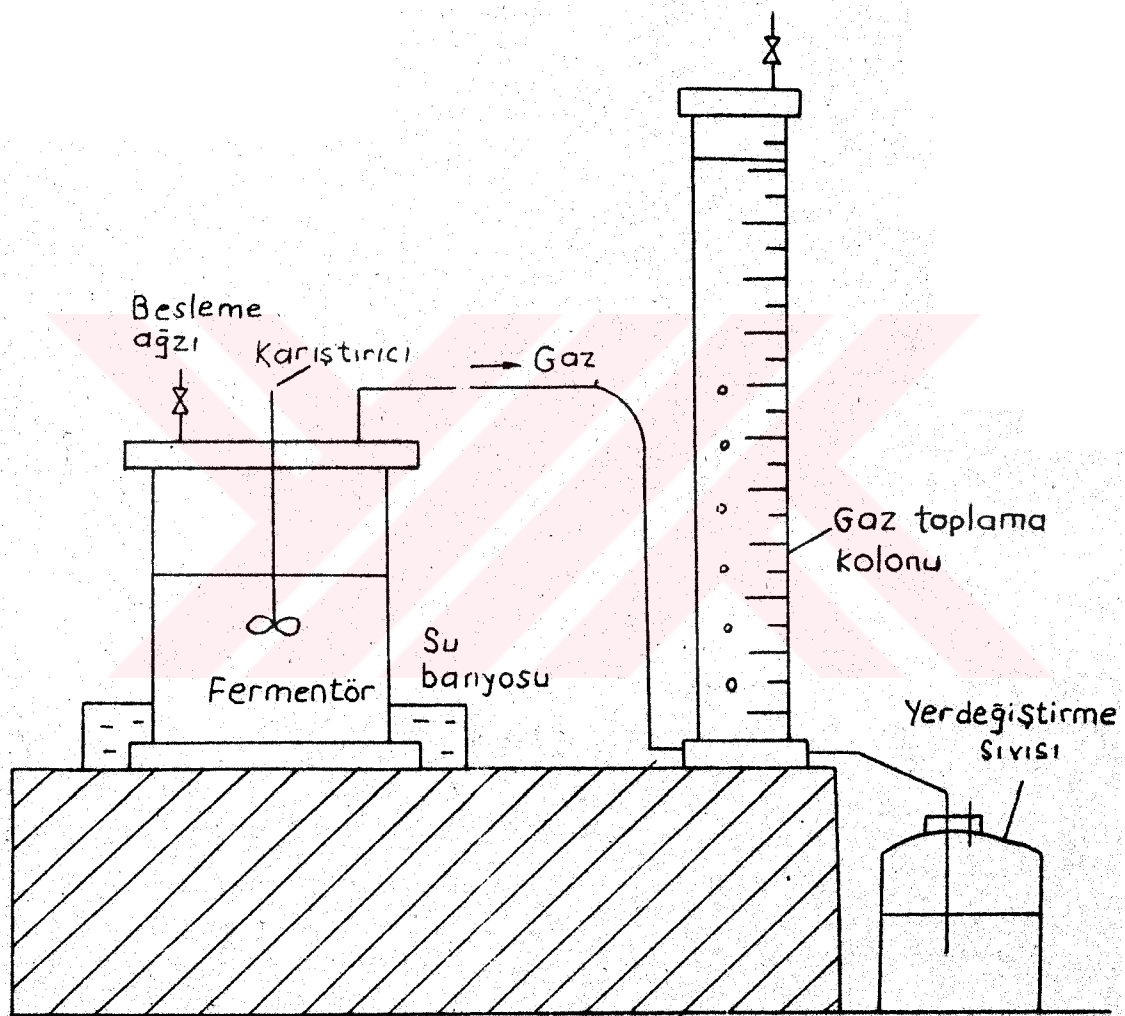
Bu yaklaşım larla elde edilebilecek metanın enerji kapasitesi hesaplanabilir.

## 6.2. Deneysel İnceleme

Gülbirlik tesislerinden alınan gül artıkları yıkama ve küçük parçalara ayrılma gibi ön işlemlerden geçtikten sonra fermentöre alınmıştır. Gaz Üreteci dediğimiz fermentör olarak kullanılan kap Gıda Kontrol Mühendisliği laboratuvarlarından temin edilmiş 1,5 litrelilik vakumlu desikatördür. Deney kabına % 5 katı madde % 35 su karışımı konularak desikatörün içindeki hava vakum pompasıyla çekilmiş ve deney başlatılmıştır. Başlangıçta 6,9~7,1 arasında PH değerleri gösteren karışım zaman geçikçe asidik ortama doğru kayma göstermeye başlamıştır. Deneylerde 1000 ml karışım kullanılmış bunun 50 ml lik kısmını katı madde oluşturmuştur. Gaz toplama kolonunda kullanılan su, gazı soğurmamasın diye tuzla doyurulmuştur.

Karışımın sıcaklığını  $35^{\circ}\text{C}$  de tutabilmek için fermentör olarak kullanılan desikatör termostatlı bir elektrikli su ısıticisinin içine konmuştur. Karıştırma işlemi küçük bir mekanik karıştırıcıyla yapılmaya çalışılmış zaman zamanda desikatörü çalkalayarak karıştırma yapılmıştır.

mıştır. Aşağıdaki şekilde deney seti görülmektedir.



Şekil 6.1. Deney Seti

### I.Deneme:

Artıklar direkt fermentöre konmuş ve % 5 katı-%95 su oranı sağlandıktan sonra 15 günlük süreyle bekletilmiştir. Bu deney başarısızlıkla sonuçlanmış ve karışım kokulu asidik sindirim haline gelmiş gaz çıkıştı gözlenmemiştir. Bu başarısızlığın nedenleri, desikatörün metalden yapılmış bir kapakla kapatılmaya çalışılması dolayısıyla sızdırmazlığın sağlanamaması, artıklarda kalmış olan fenil etil alkol türevlerinin zamanla karışımının biyolojik dengesini etkilediği ve mikroorganizmaların ölümüne yol açmaları şeklinde belirlenmiştir. Bunların yanında elektrik kesintisi nedeniyle zaman ısitmanın aksaması ve iyi bir karıştırma sağlanamaması da büyük olumsuz etkenler olarak değerlendirilebilir.

### II.Deneme:

Artıklar bir miktar temiz suyla yıkanıp dinlendirildikten sonra çok küçük parçalara ayrılarak % 5 katı oranında fermentöre yerleştirilmiştir. Fermentörün metal kapağı yerine cam bir kapak kullanılmıştır ve sızdırmazlık kısmen sağlanmıştır. 20 günlük bekleme süresi sonunda çok az gaz çıkıştı elde edilmiştir.

Yukarıda sıralanan olumsuz etmenlerden olan gaz kaçakları ve havanın fermentöre girmesi tamamen engellenmemiştir.

### III.Deneme:

I ve II.deneyde görülen ve işlemi olumsuz yönde etkileyen girider tamamen giredilmeye çalışılmış desikatörün kapağı mekanik kelepçelerle sıkıştırılmış, ısıtıcı daha düzenli ısitma sağlayacak hale getirilmiştir. Bu deneyde kullanılan karışımıma II.deneydeki karışımından (10 gr) aşlama yapılmıştır. % 5 katı-%95 su konsantrasyonundaki katı artık ve su karışımı 25 günlük bekleme süresine tabi tutulmuştur. İlk 10 gün içinde maksimum gaz çıkıştı olmuş sonra bu değer ya-

vaş yavaş azalma göstermiştir. Deney sonucunda elde edilen gaz üretimi Şekil 6.2 de gösterilmektedir. Toplam gaz üretimi ölçümlerin birleştirilmesinden bulunmuştur. Bu değer şekilde görülen eğrinin altında kalan alanlada ifade edilebilir.

25 günlük bekleme süresi sonunda elde edilen toplam gaz üretimi 20,8 ml olmuştur. Bu değer 50 gr katı maddenin bozunması sonucudur. 1 kg katı maddeden 416 ml gaz elde edilebilir. Bu gazın % 60 oranında metan içeriği göz önüne alınırsa 1 kg katı maddeden 250 ml gaz elde edilir. Güç artıklarının % 18 katı madde içerdikleri düşünülverek 1 kg artıktan 45 ml gaz elde edilebileceği görülmektedir.

Deneysel olarak bulunan 0,45 (lt/kg) metan üretim değeri teorik olarak elde edilen  $0,014 \text{ m}^3/\text{kg}\cdot\text{gün}$  değerinin yanında çok küçük kalmaktadır. Fakat bu deneysel çalışmanın çok kısıtlı laboratuvar imkanlarıyla yaptığı göz önüne alınırsa elde edilen sonuç anormal değil beklenen bir sonuçtır. Elde edilen bu gazın kokusuz ve mavi bir alevle yandığı gözlenmiştir.

Artıklardan biyogaz eldesi konusunda çeşitli üniversitelerin laboratuvarlarında deneysel incelemeler yapılmaktadır. O.D.T.Ü.kimya bölümünde samanın yarı sürekli bozunması için bir deney seti kurulmuş ve önemli aşamalar kaydedilmiştir.

Bu deneysel incelemenin sonuçları 6.3.a, 6.3b ve 6.3c deki şekillerde gösterilmiştir. Bu çalışmada öğütülmüş saman yarı sürekli olarak  $55^\circ\text{C}$  ta 10 günlük bekleme süresi ile iki ayrı incelemeye tabi tutulmuştur. Birinci deney, temel karışımıla ve hiçbir ön işlem uygulanmadan yapılmıştır. İkinci deneye temel karışım alkali ile ön işlemden geçirilmiştir. % 5 katı madde içeren karışımı (2 gr NaOH/100 gr Uçucu katı) eklenmiş oda sıcaklığı ve basıncında 24 saat bekletildikten sonra bu karışım fermentöre beslenmiştir. Deneyler boyunca toplam gaz üretimi ölçülp kaydedilmiştir. Temel karışım için metan yüzdesi ortalama 33 iken alkali ile muamele edilen karışım için bu değer 62 dir. Temel karışım için yatkın durumdaki metan üretim hızı  $0,142 \text{ m}^3/\text{m}^3\text{-ferm.gün}$  iken alkali ile muamele edilmiş karışım için  $0,682 \text{ m}^3/\text{m}^3$  fer.gün dır. Bu belirgin farklılıklar, hidrolizin samanın anaerobik bozunurluluğu üzerindeki olumlu etkisini ortaya çıkarmıştır. Ön hidrolizin etkisi şöyle açıklanabilir: Alkali ile muamele, ligninin karbonhidratlarla olan bağlarını qevsetir ve böylece substrata erişilebilirliği ve dolayısı ile anaerobik bozunabilirliği artırır.

Ege Üniversitesi kimya bölümünde inek gübresi üzerinde benzeri deneysel ve teorik incelemeler yapılmış, ayrıca bir tesisde inceleme amacıyla kurulmuştur. Şekil 6.4.a, 6.4b, 6.4c deneysel inceleme sonuçlarını, Şekil 6.5 de kurulan tesisi göstermektedir. Bu deneysel incelemelerde de 32.32 gr, 41.14 gr, 51.72 gr biyolojik parçalanabilir uçucu katı için elde edilecek gaz ve metan miktarları araştırılmıştır. Bu değerler için mikroorganizma derişimi-zaman, biyolojik parçalanabilir uçucu katı madde-zaman, mikroorganizma özgül büyümeye hızı-biyolojik parçalanabilen uçucu katı madde arasındaki ilişkiler de Şekil 6.6a, 6.6b, 6.6c de gösterilmiştir. Bu araştırma için kurulan tesiste şekil 6.3. de gösterilmiştir. Şekil 6.6 de de gübre-su karışımı sıcaklığının bir fonksiyonu o arak gaz üretimi gösterilmektedir.

Isparta-Gölcük yolu üzerinde ve Isparta'ya 15 km mesafede kurulan tavuk gübresi ile çalıştırılan bir biyogaz tesisi bir evin ihtiyaçlarını karşılayacak kadar gaz üretebilmektedir. Üniversitemizin makina bölümü de bu gazın motorlarda kullanılabilirliği hakkında araştırmalar yapılmaktadır.

Gül artıklarından teorik yaklaşımla ( $0,0114 \text{ m}^3/\text{kg}\text{-gün}$ ) elde edilen metan değerinden hareket ederek 750 ton/yıl kapasiteli artıkların enerji içeriği hesaplanabilir. Gül artıklarındaki katı oranı %18 katı madde içindeki uçucu katı oranı da % 80 olarak tespit edilmiştir. Bu durumda toplam uçucu katı:

$$750 \times 10^3 \times 0,18 \times 0,8 = 108 \times 10^3 \text{ kg}$$

bulunur.

Bu uçucu katının üretebileceği metan miktarı:

$$0,0114 \times 25 \times 108 \times 10^3 = 30,78 \times 10^3 \text{ m}^3$$

olarak bulunur. Bu işlemdeki 25 sayısı gün olarak artıkların fermentörde kalma süresidir. Metanın alt ısıl değeri  $33000 \text{ kg}(\text{m}^3)$  olduğuna göre teorik olarak elde edilebilecek enerji eşdeğeri:

$$30,78 \times 10^3 \times 33000 = 1015 \times 10^6 \text{ kJ}$$

bulunur.

Bu teorik enerji değerinin ise, çeşitli kayıplar, ısıtma masrafları kullanılan cihazların ve metanın değerlendirildiği makinaların veriminde göz önüne alındığında, ancak % 35inden faydalılabileceği düşü-

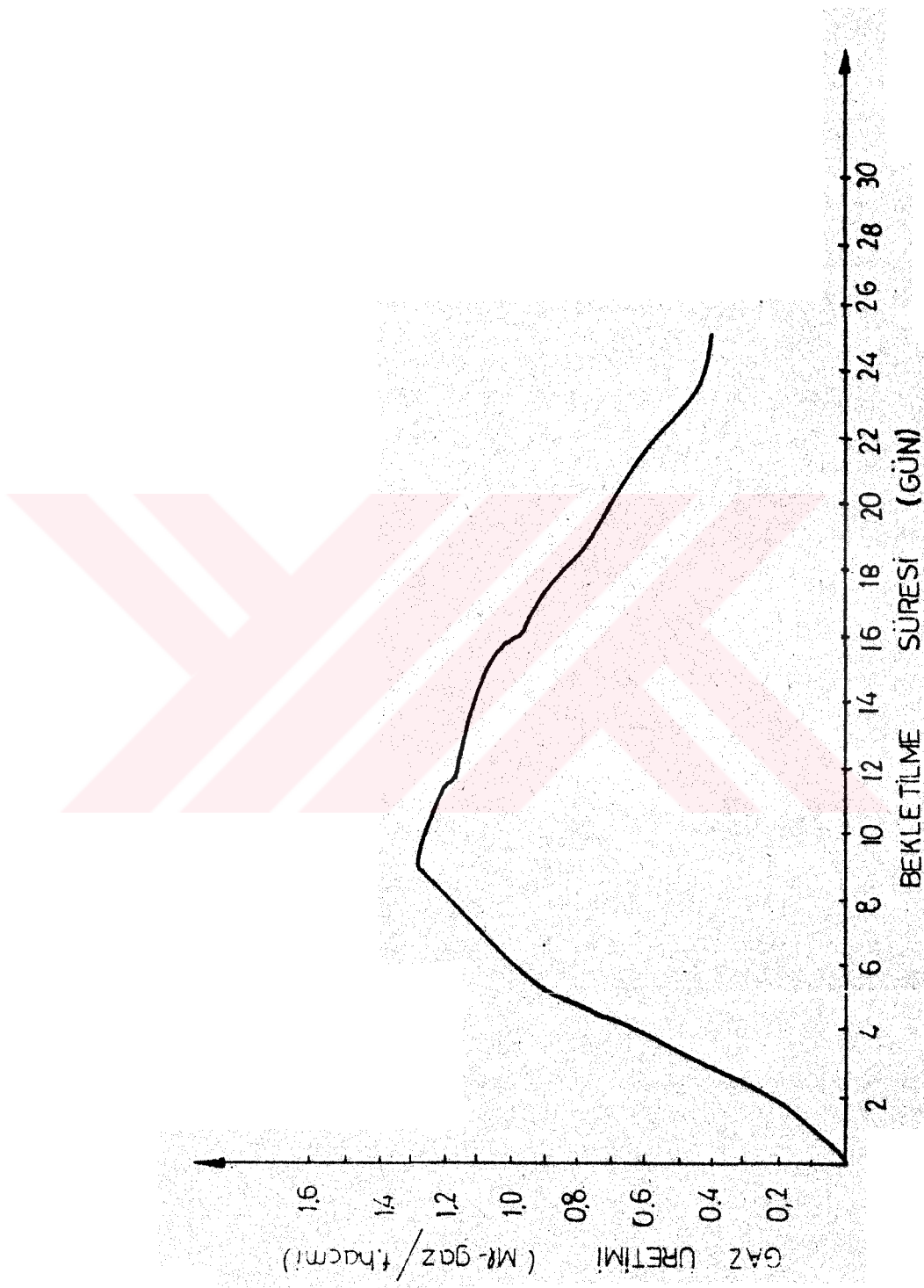
nülürse

$$1015 \times 10^6 \times 0,15 = 355 \times 10^6 \text{ kj}$$

değerinde bir enerji kapasitesi ile karşı karşıya kalındığı görülür. Bu değer 98620 kwh elektrik gücüyle eşdeğerdir. Günümüz şartlarında elektrik enerjisinin kw-hının 50 TL olduğu gözönüne alınırsa bu artıkların değerlendirilmesiyle yılda 50 milyonluk enerji tasarrufu sağlanabileceğinin görüldür.

Enerjiye çok fazla ihtiyacı olan ülkemizde gül artıkları gibi çeşitli yöresel artıklar, çay, fındık, tütün artıkları, bitkisel ürünleri işleyen fabrikaların artıkları kullanılmadan boş harcanmakta ve çevre kirliliği oluşturmaktadır. Bu enerji değerinin yanında metan üretiminden sonra elde edilen fermentasyon çıkışındaki artıkta kaliteli gübre olarak değerlendirilebilmektedir.

**Sekil 6.2.** Gül artıklarından elde edilen gaz üretimi



## SONUÇLAR VE ÖNERİLER

Biyomas konusunda yapılan bu araştırmanın sonunda ülkemizin oldukça büyük kapasitede biyomas kaynaklarına sahip olduğu görülmüştür. Bu enerji kaynağının en uygun şekilde değerlendirilmesi gerekmektedir. Yapılan incelemeden elde edilen sonuçlar aşağıda verilmiştir.

- 1) Isı değeri yüksek çöplerin, sanayi artıklarının ve özel artıkların dışında kimyasal enerji içeriğinden anaerobik sindirim prosesiyle yararlanabileceğimiz her tür tarımsal ve orman biyomas artıklarının mevcut potansiyelini ihmali etmemeli, bu potansiyelden mutlaka akılcı ve ekonomik bir şekilde yararlanmalıyız.
- 2) Günümüzde çöplerin ve artıkların yakılması, termik reaksiyonlarla gazlaştırılması veya sıvılaştırılması, çevre kirliliğine yol açar fazla miktarda artık bırakın, ekonomik olmayıp kompleks bir teknolojiyi gerektiren ve sadece çöplerin miktarını azaltan işlemler olarak görülmektedir. Dolayısıyla anaerobik sindirim prosesi rahatlıkla tercih edilebilir.
- 3) Biyomasdan enerji üretim teknikleri içinde her yönyle en uygunu genel olarak fermentasyon tekniğini kapsayan anaerobik sindirim prosesi olarak saptanmıştır.
- 4) Anaerobik sindirim prosesi esnasında çevre kirliliği önlemek, iyi bir yakıt sayılan biyogaz elde edilmekte geriye kalan sindirim çamuruda gübre olarak doğrudan toprağa verilebilmektedir.
- 5) Anaerobik sindirim prosesinde kullanılan biyomasın fiziksel ve kimyasal yapısı oldukça önemli olmaktadır.
- 6) Bir biyogaz ünitesinde elde edilen net enerji verimi, kullanılan artığın biyolojik ayırsabilirliği, ayrışma oranı, ısıtma, karıştırma ve pompalama için gerekli enerji miktarının kompleks bir fonksiyonudur.

Anaerobik sindirim prosesinin incelenmesinden aşağıdaki sonuçlar elde edilmiştir.

- 1) Substrat konsantrasyonunun artması ile mikro organizmaların

büyüme hızının azaldığı gözlenmiştir.

2) Düzenli miktarda gaz üretimi için sabit sıcaklıkta çalışma-nın gerekli ve şart olduğu belirlenmiş kontrol kolaylığı yönü ile  $35^{\circ}\text{C}$  (mezofilik) çalışmanın uygun olduğu anlaşılmıştır.

3) Mikroorganizmaların gecikme evresinin azaltılması için başlangıçta sisteme aşırı mikroorganizma katılmasıının gerekli olduğu belirlenmiştir.

4) Karıştırmanın homojenlik temini açısından gerekli ve şart olduğu saptanmıştır.

5) Karışımın PH'ı her şeyi iyi ayarlanmış fermentörler için öneMLİ olmayıp  $6,8 \sim 7,2$  değerleri arasında kalmalıdır.

6) Substrat konsantrasyonunun artmasıyla erezgül büyümeye hızının azalması ( $K$ ) parametresinin zehir etkisi yapan bir özellik taşıdığını göstermektedir.

7) Biyomasın özelliğine göre belli oranlarda alkali ( $\text{NaOH}$ ) ilavesi metan yüzdesini ve gaz üretimini artırmaktadır. Bu oran değişik biyomas kaynakları için araştırılmalıdır.

8) Biyogaz üretimi için prizma yerine silindirik geometride bir fermentör tavsiye edilmektedir. Bunun nedeni prizma tip fermentörlerde mikroorganizma ve substrat dağılımı istenilen düzeyde olmamakta ve tam karışım sağlanmamaktadır.

9) Değişik boyutlandırmalarda silindir yanal yüzeyi maliyetinin tavan ve taban yüzeyi maliyetinin iki katı olduğu gözönüne alınarak optimum çap/yükseklik hesabı yapılmalıdır.

10) Isı kayıplarını minimuma indirmek ve besleme sıvısının naklini kolaylaştmak amacıyla fermentörün toprağa gömülmesi düşünülebilir. Tesisin kurulacağı yerde yeraltı suyunun ulaşılabilceği maksimum yükseklik dikkate alınmalı, suyun toprak seviyesine yakın olduğu durumda tesisin zorunlu olarak yerüstüne inşa edilmesi gerekecektir. Bu durumda sisteme bir besleme pompasının kullanılması zorundadır.

11) Prosesin ısısını sabit tutmak çok önemli olduğu için tesisin izole edilmesinin şart olduğu görülmüş, perlit, cam elyafi ve strafor gibi izolasyon malzemelerinin kullanılabileceği düşünülmüştür.

Köylerde tesisin bir ahır içine inşa edilmesi veya tesis üzerinde sera etkisi oluşturulması uygun bir yöntemdir.

12) Termofilik sıcaklıkta çalışma esnasında uçucu parçalanma yüzdesi mezofilik bölgede çalışmaya göre daha fazla olmakta ve daha kısa sürede daha fazla gaz üretimi yapılmaktadır. Ancak yüksek sıcaklıkta termofilik bakteriler daha hassas davranışlarından termofilik çalışmada sıcaklığın çok iyi kontrol edilmesi gerekmektedir. Mezofilik bölge çalışmak pratiklik ve kontrol kolaylığı yönünden daha uygun olmaktadır. Organik artıktı miktarının çok olduğu, iklim koşullarının uygun olduğu yörelerde termofilik bölgede çalışılabilirdir.

13) Tesisin kurulacağı yere su temin edilebilmeli ve kullanılacak substratın uçucu katı madde yüzdesi, biyolojik parçalanabilirlik yüzdesi, C/N oranı, besleme sıvısının yoğunluğu ve viskozitesi vb. kimyasal ve fiziksel özelliklerin önceden belirlenmiş olması gerekmektedir.

14) En fazla ısı, fermentöre giren besleme sıvısının sıcaklığını çalışma sıcaklığına yükseltmek için gereklidir. Sistemin en rji giderlerini azaltmak için fermentörden çıkan sulu karışımın enerjisinden ve/veya karışımı hazırlamada kullanılan suyun ısıtılmamasında güneş enerjisinden yararlanılmalıdır.

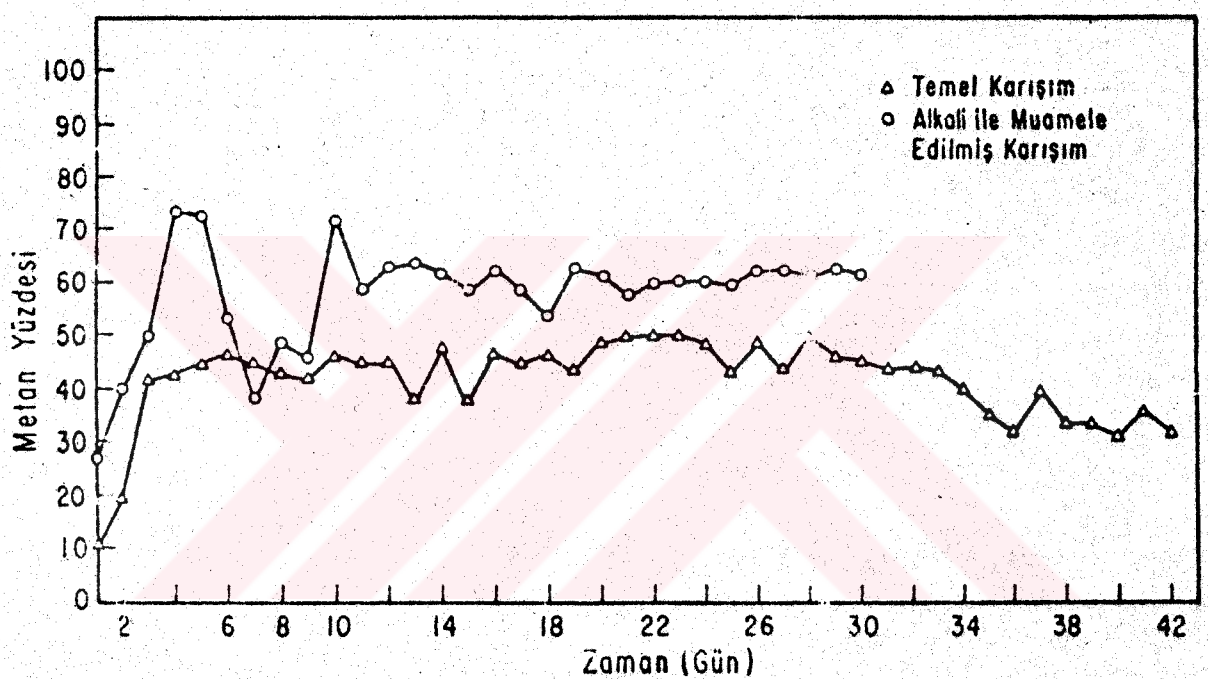
15) Aşı mikroorganizma üretim için hayatı önemde olduğundan anaerobik bakterilerin üretimini gerçekleştirecek organizasyonlar oluşturulmalı, biyogaz tesisleri için gerekli aşı bu kuruluşlardan temin edilebilmelidir.

16) Fazla artığın olması, sistemin ekonomikliğini olumlu yönde etkilemektedir. Bu nedenle Türkiye ve benzer koşullardaki ülkelerde biyogaz tesislerinin büyük hacimli (köy tipi) olarak kurulması ve yaygınlaştırılması bu tip çalışmaların en somut önerileri arasındadır.

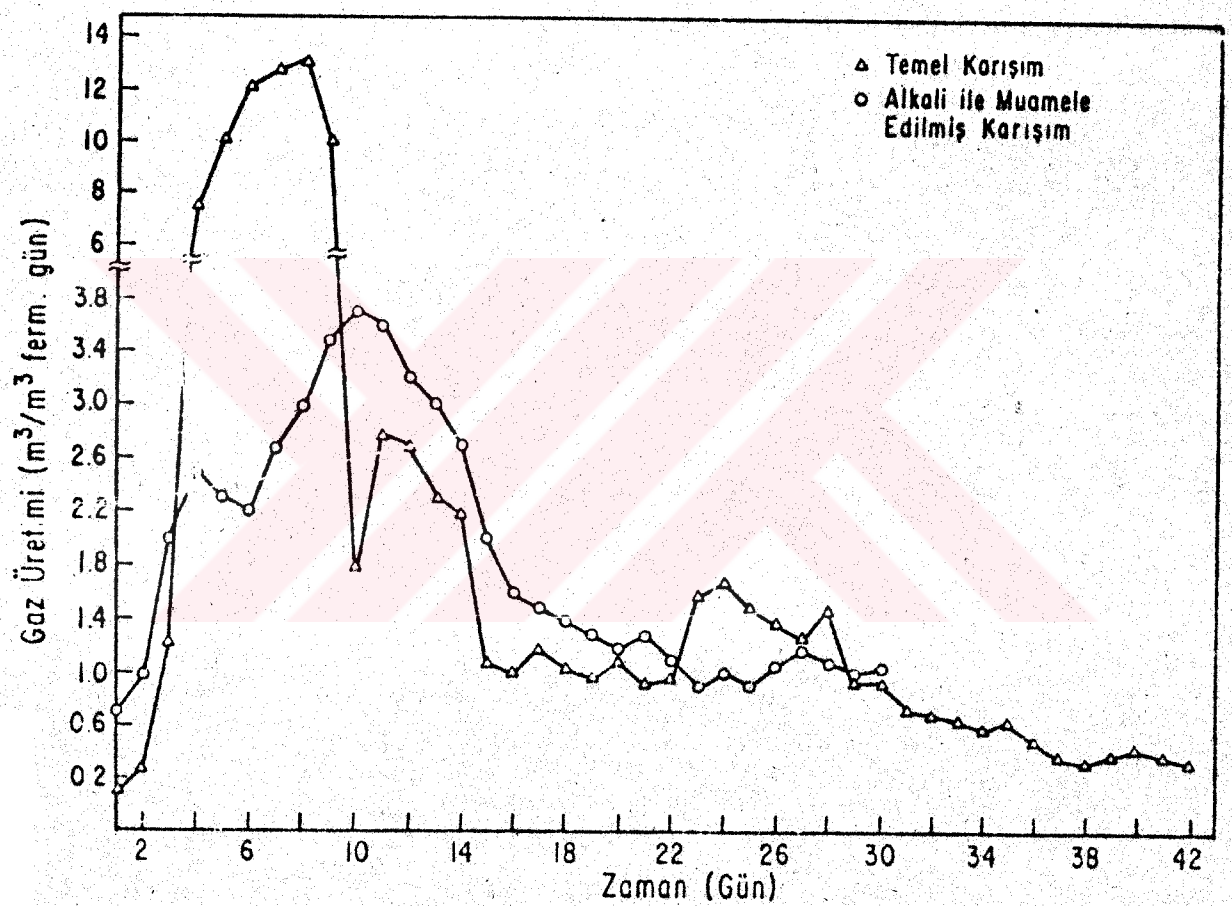
17) Bu ve benzeri çalışmalarında makina, kimya ve ziraat mühendisliği bölümünün birlikte araştırma yapması, laboratuvarlarını ortaklaşa kullanması ve ileriye dönük araştırmalar için bilgi alış-verişinde bulunmaları gerekmektedir.

## K A Y N A K L A R

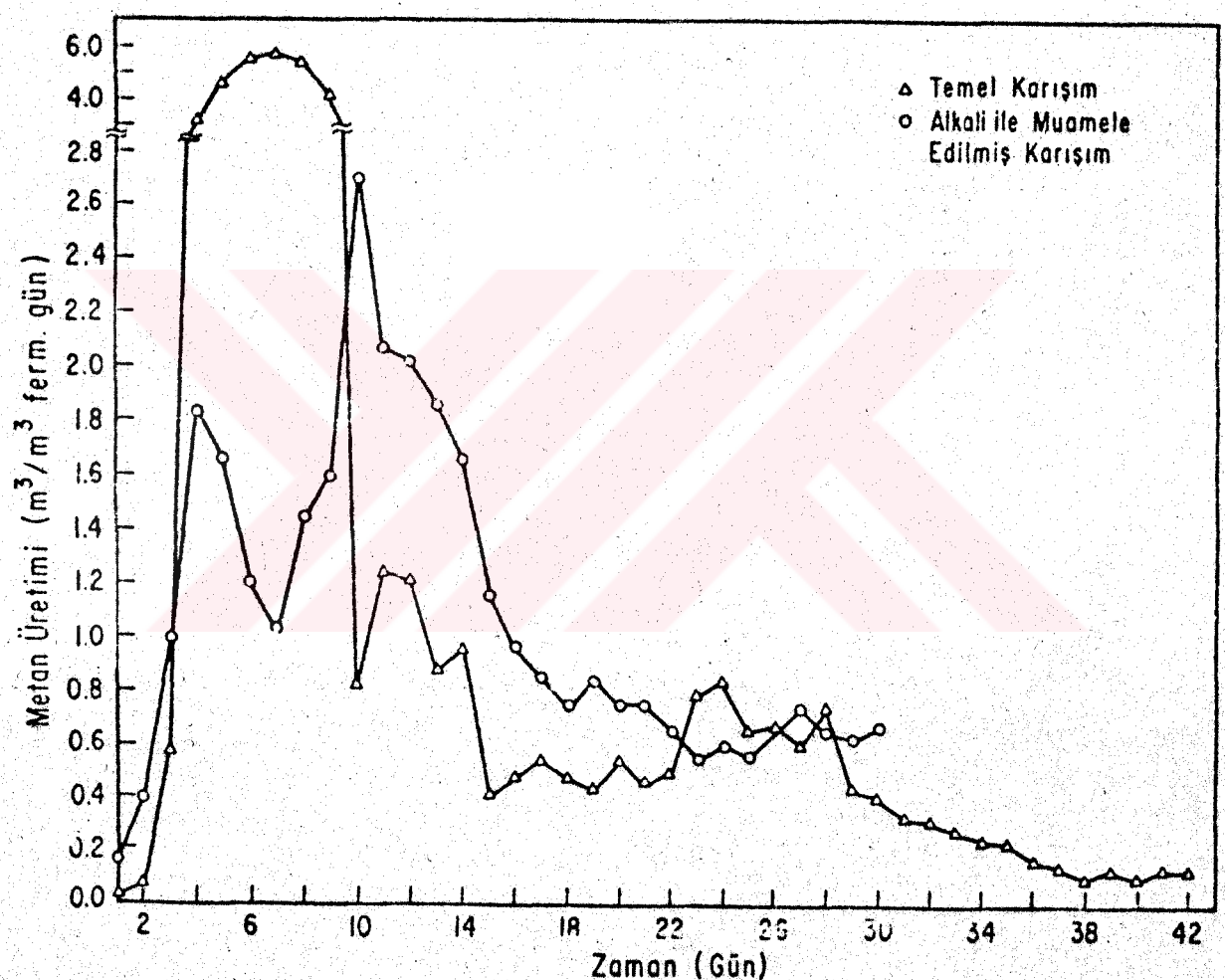
1. PEKİN Burhan, "Biyokimya Mühendisliği (İemel İlkeler), Birinci kitap, Kısım-II, E.Ü.Matbaası (1979).
2. ATALAY, F.S., "Biyogaz üretim koşullarının incelenmesi ve tesis tasarımı" Doktora tezi, E.Ü.1984.
3. Uluslararası Biyogaz semineri, Türkiye Cumhuriyeti Hükümeti-UNICEF ortak organizasyonu 1981-Ankara.
4. AKYURT, Mehmet, "Biyogaz Teknolojisi", İstanbul, 1987.
5. Özel Oturum Tebliğleri, Türkiye 4.Enerji Kongresi, İzmir, 1986.
6. BAHAR, M. "Biyogaz üretimi ve ön tasarım", Diploma projesi (Yönetici: Beba, A.) E.Ü.Kimya Fakültesi (1981).
7. PAMİR, M.N., "Tarımsal kaynaklı selüloz içeren artıkların biyolojik parçalanma yoluyla değerlendirilmesi ve bu bakımından memleketimizin olanakları" A.Çağlar (Editör), Biyoteknoloji ve Biyomühendislik" III. Ulusal Biyomühendislik Kongresi Tebliğleri, Ankara, 1981.
8. TELLİ, Z.K, "Termodinamik", A.Ü.Mühendislik Fakültesi,Isparta,1984.
9. TOSUN, A., SELÇUK,N., SOYUPAK, S., "Samandan Biyogaz Üretimi", İsi Bilimi ve Tekniği Dergisi, Cilt 11, Sayı 1. Ankara, 1988..
10. OECD Report, "Biomass For Energy", Paris, 1984.
11. Clausen, E.C.and Gaddy.J.L., "Separate Strage Fermentation Of Biomass to Methane", AICLE, Symp., Vol.74, 1973, PP.56-74.
12. Klass, D.L.and Ghosh, S., Methane production by Anaerobic Digestion Of Bermuda Grass", 177 th National Meeting, American Chemical Society, April 1979, Biomass aSa Nonfossil Fuel Source, PP. 230-249.
13. Jevell, W.J. etal(1976), Bioconversion of agricultural wastes for pollution control and energy conservation, Final Report, Agr.Eng., Cornell Univ.Ithaca, New York.
14. -(1977) Methane generation from human, animal and agricultural wastes, National Acad, sci.Washington,D.C.
15. Barnett, A.Pyle, L, Subramanian, S.K.Biogas Technology in the The Third World, International Development Research Centre, (1978).



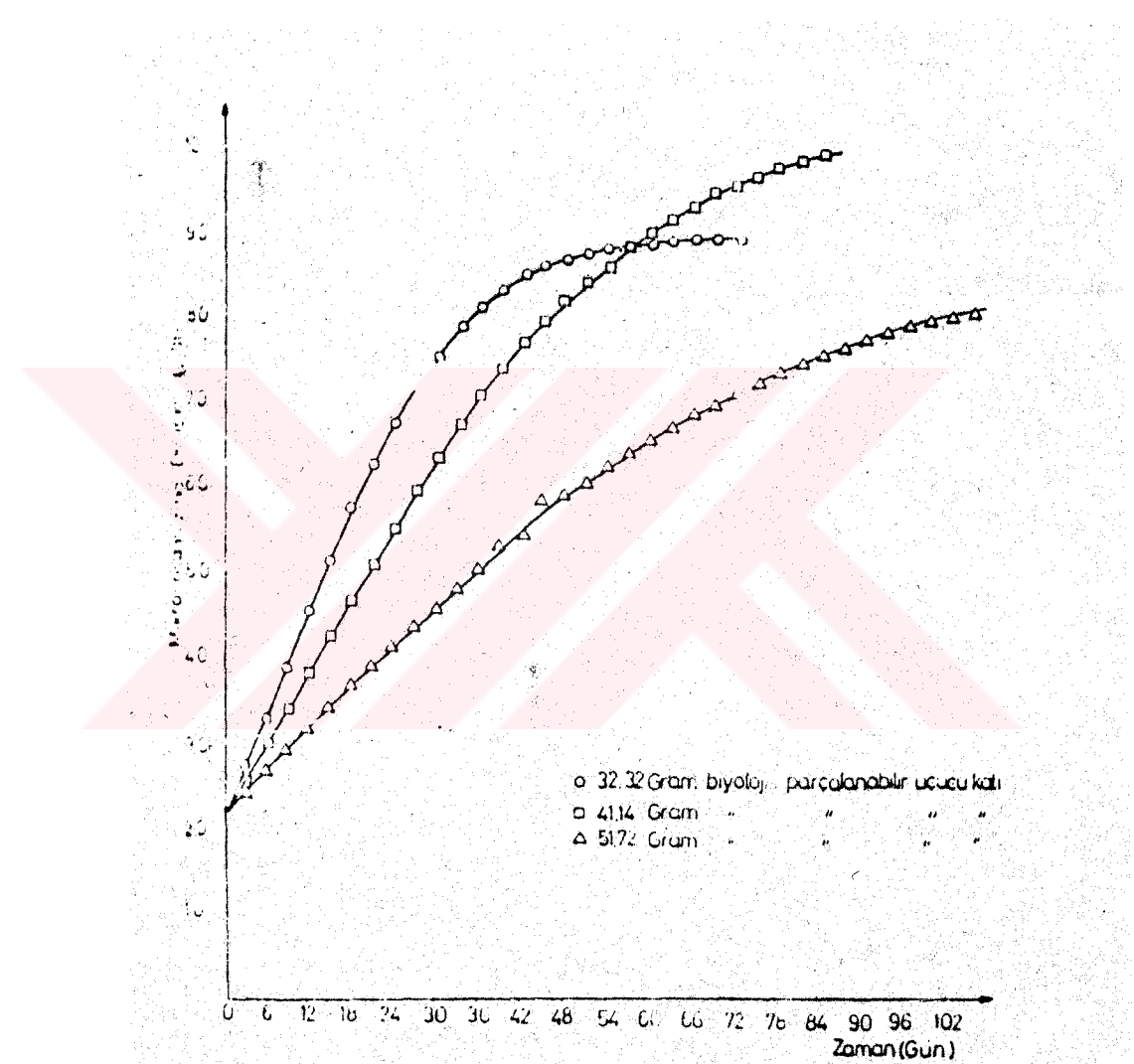
Şekil 6.3.b. Metan yüzdesinin zamana göre değişimi (bekl. me Süresi=10 gün)



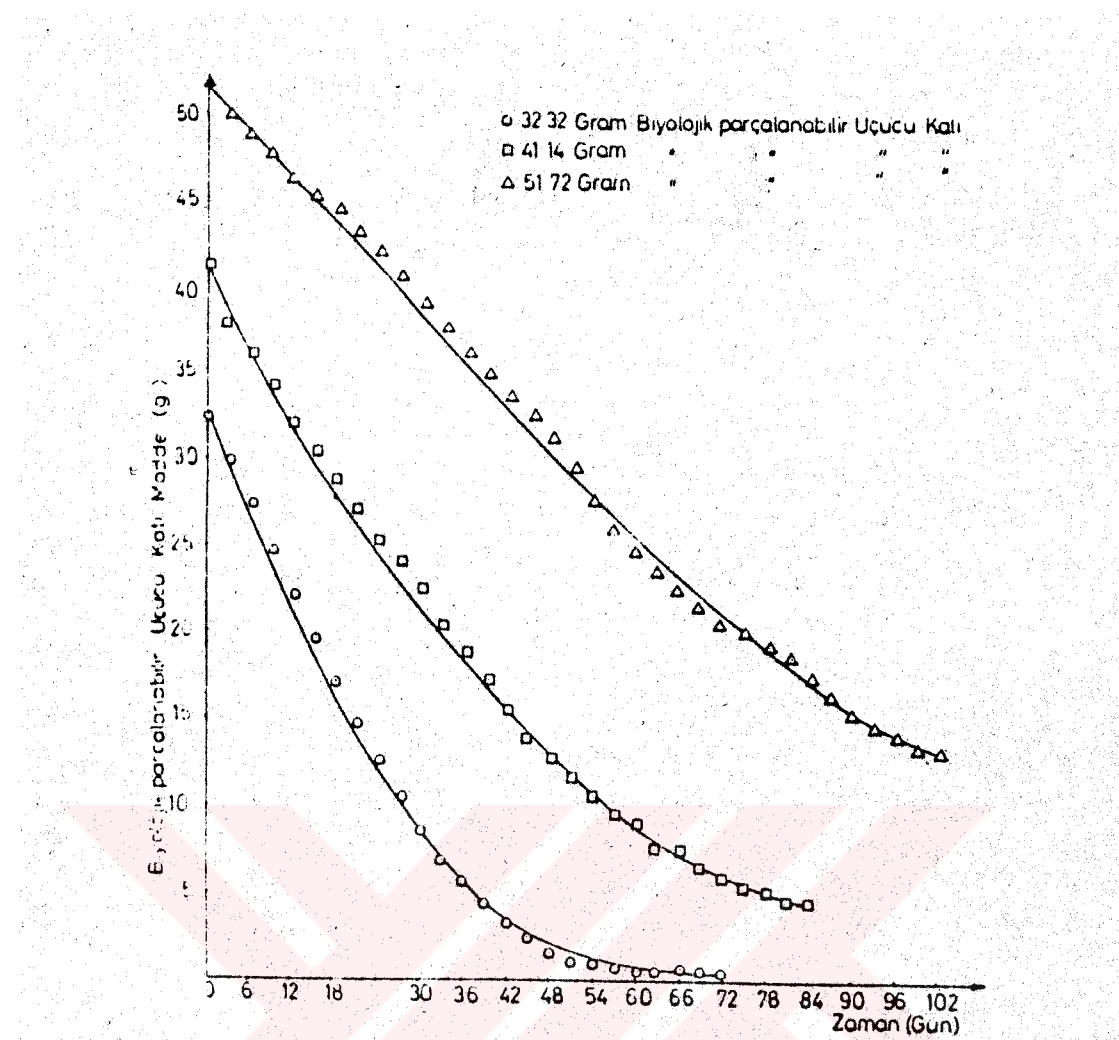
Şekil 6.3.a. Samandan gaz üretiminin zamana göre değişimi .



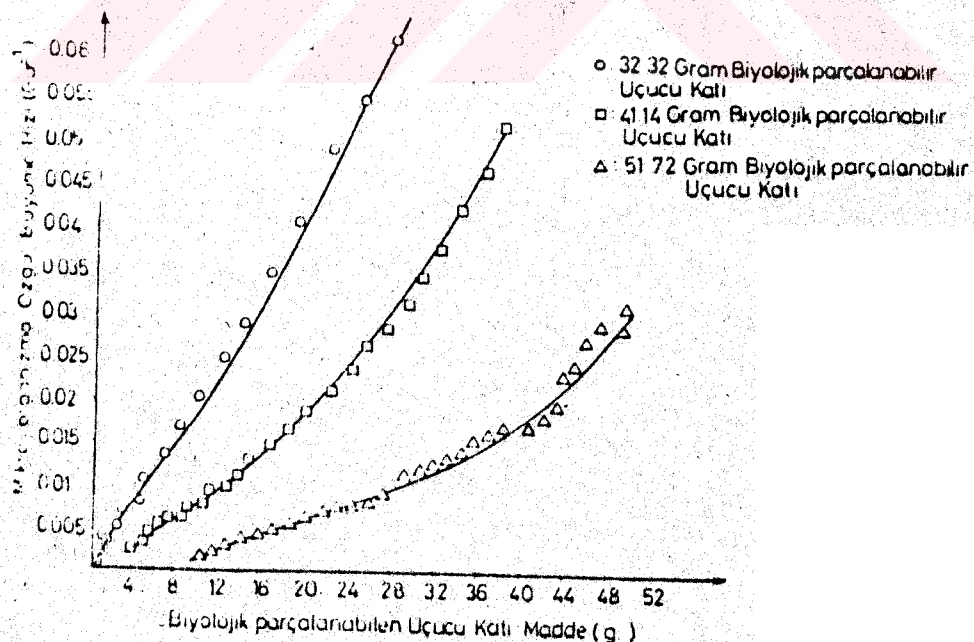
Şekil 6.3.c. Metan üretimi hızının zamanla göre değişimi (bekleme süresi=10 gün)



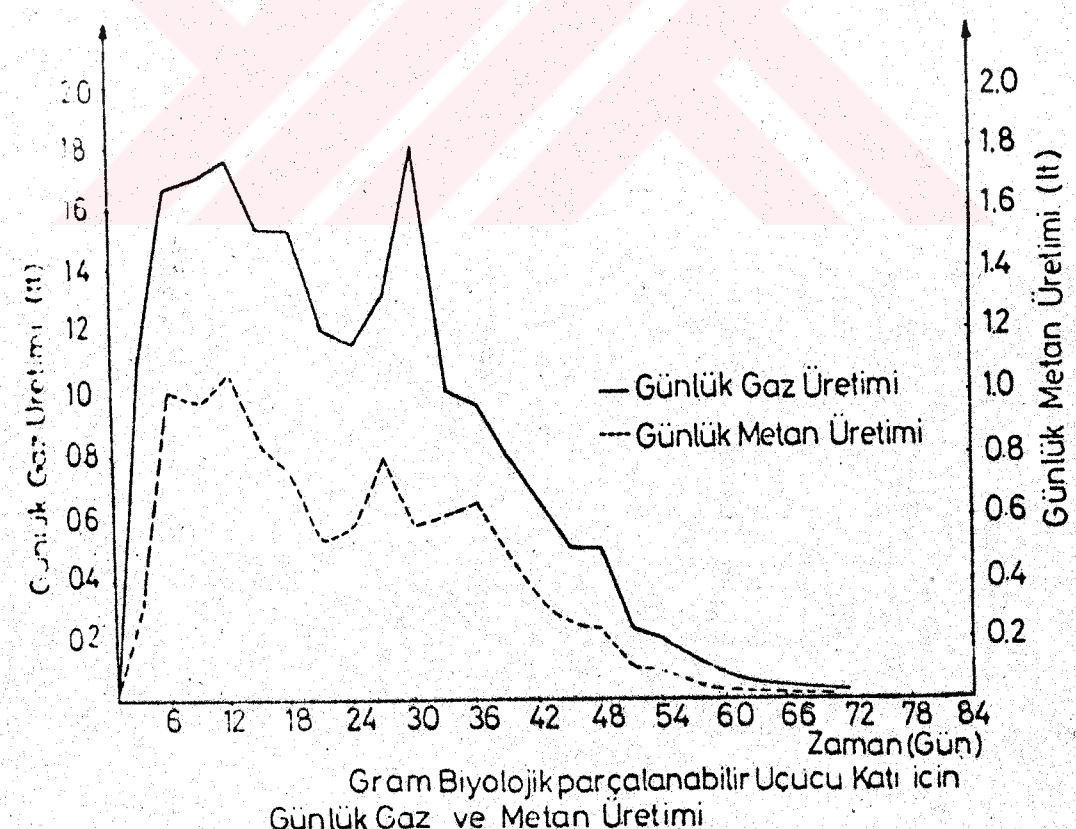
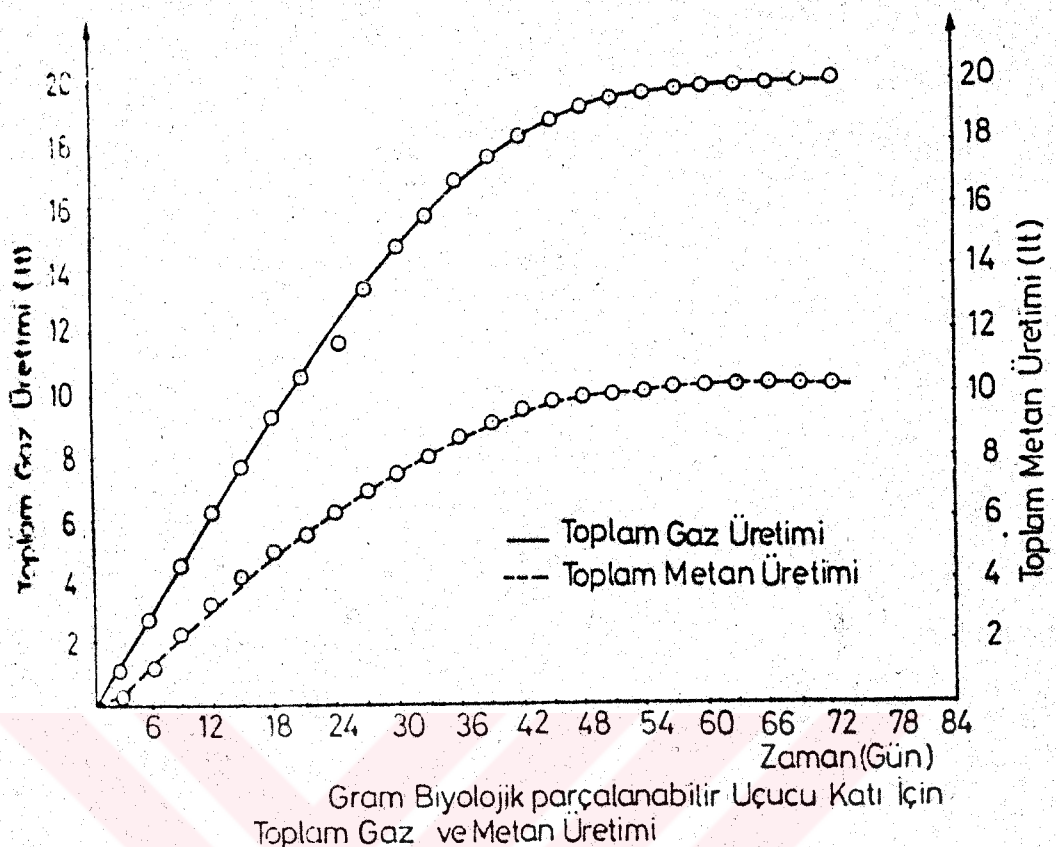
Şekil 6.4.a. İnek gübresi için mikroorganizme derişimi ile fermentasyon süresi arasındaki ilişki



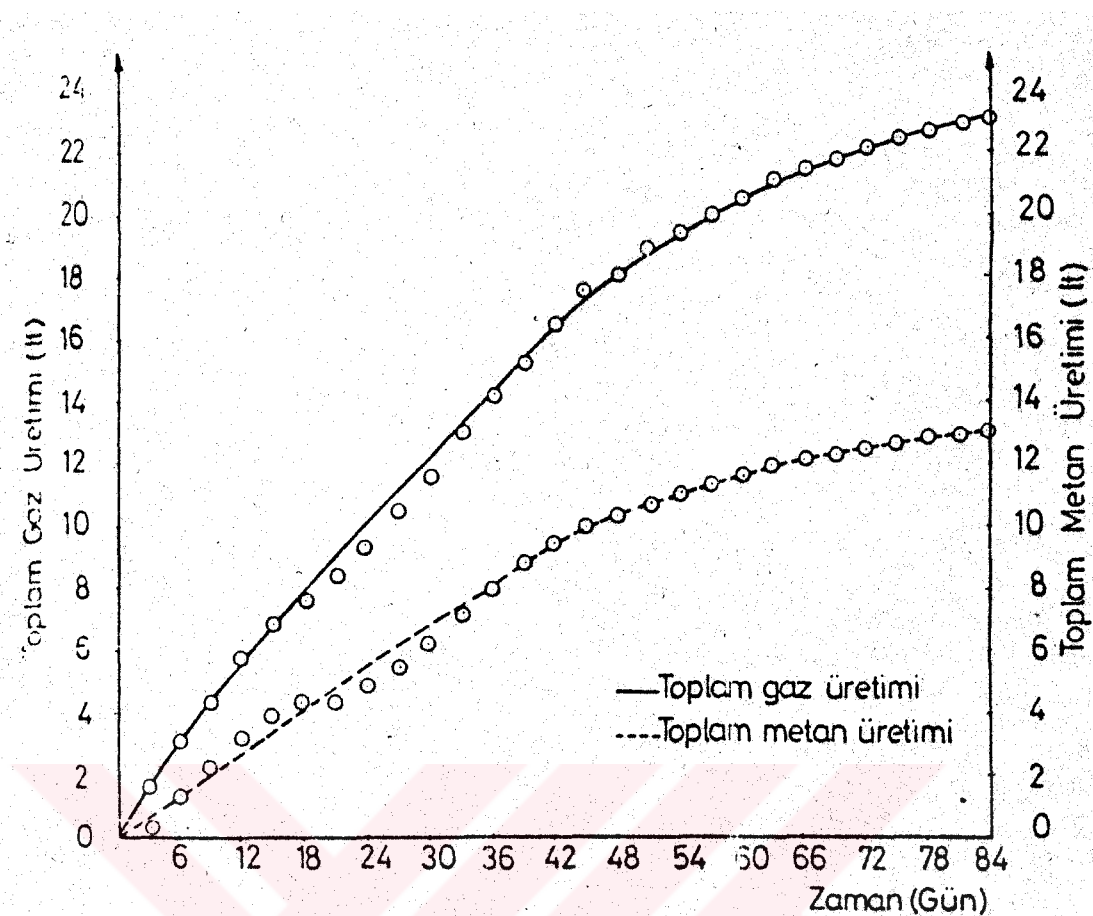
Şekil 6.4.b. Biyolojik parçalanabilir Uçucu Katı ile Fermentasyon Süresi Arasındaki İlişki



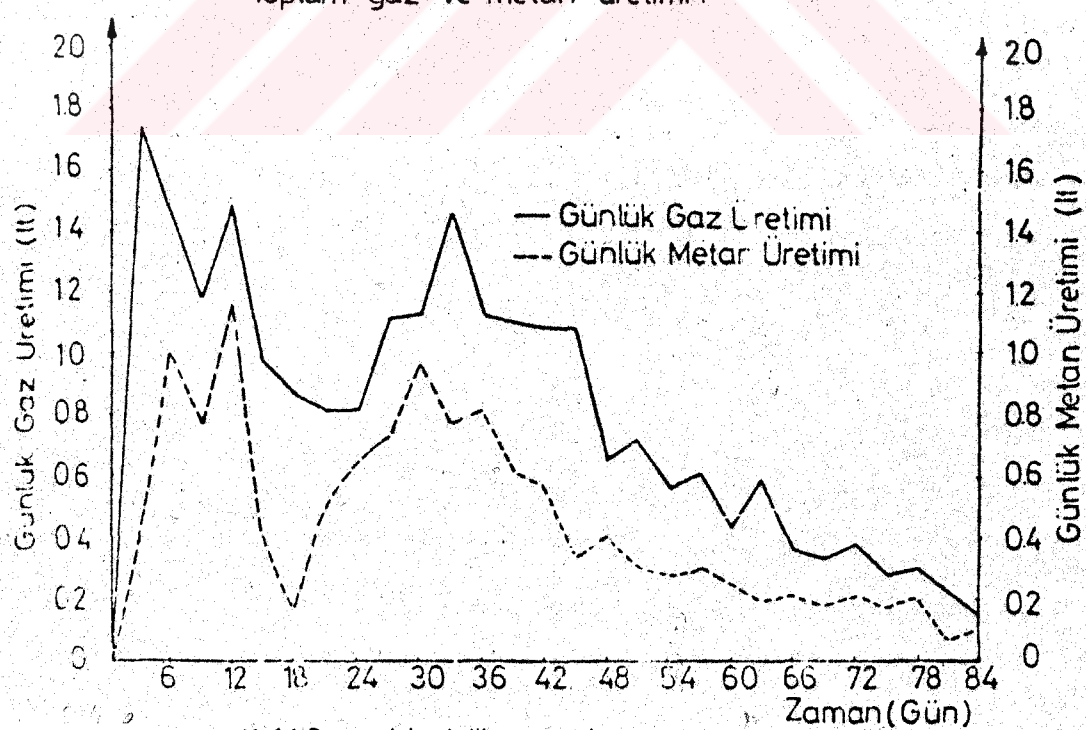
Şekil 6.4.c. - Mikro-organizmaların Özgül Büyüme Hizi ile Biyolojik Parçalanabilir Uçucu Katı Arasındaki İlişki



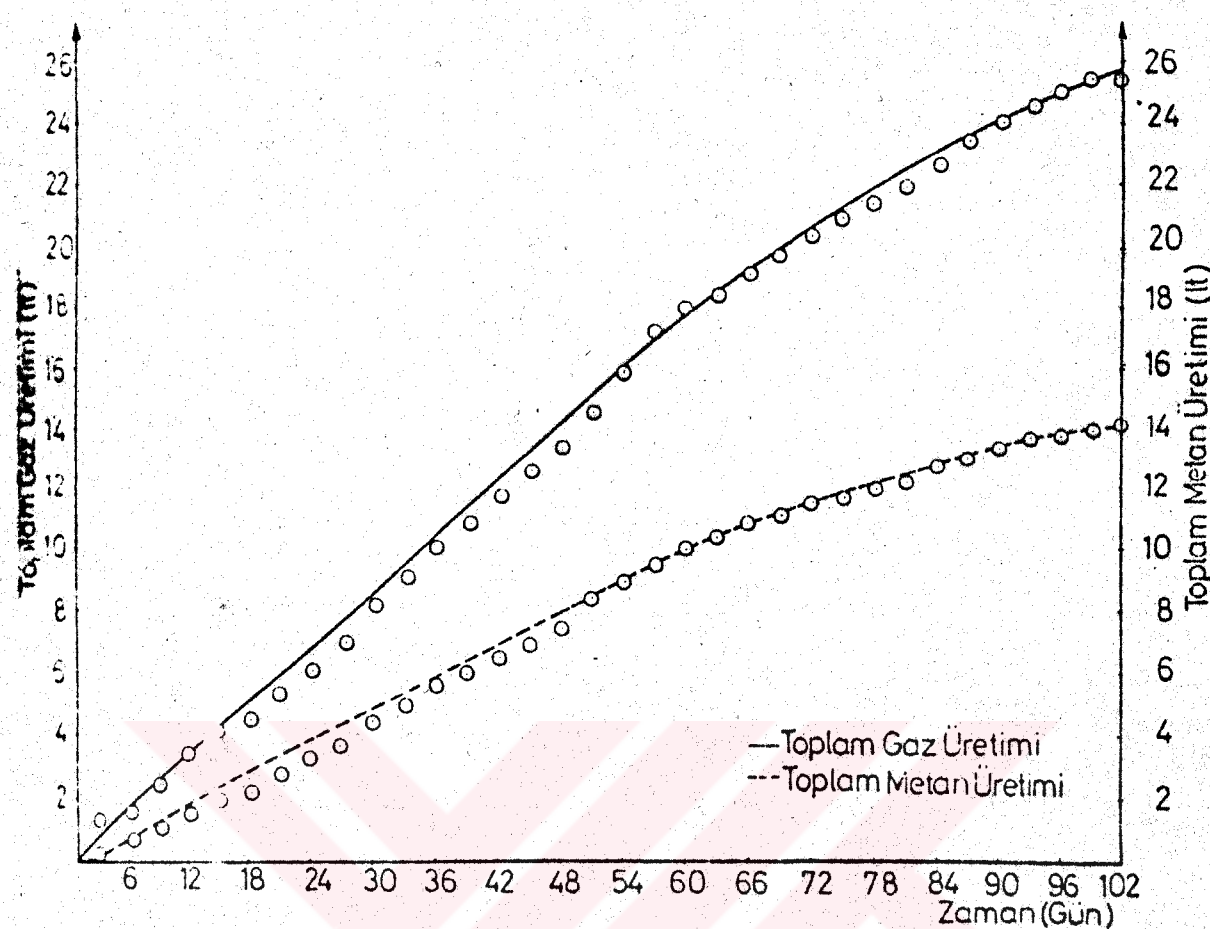
Şekil 6.4(d,e,f). Değişik miktarlarda biyolojik parçalananabilir uçucu katı için günlük gaz ve metan üretimi



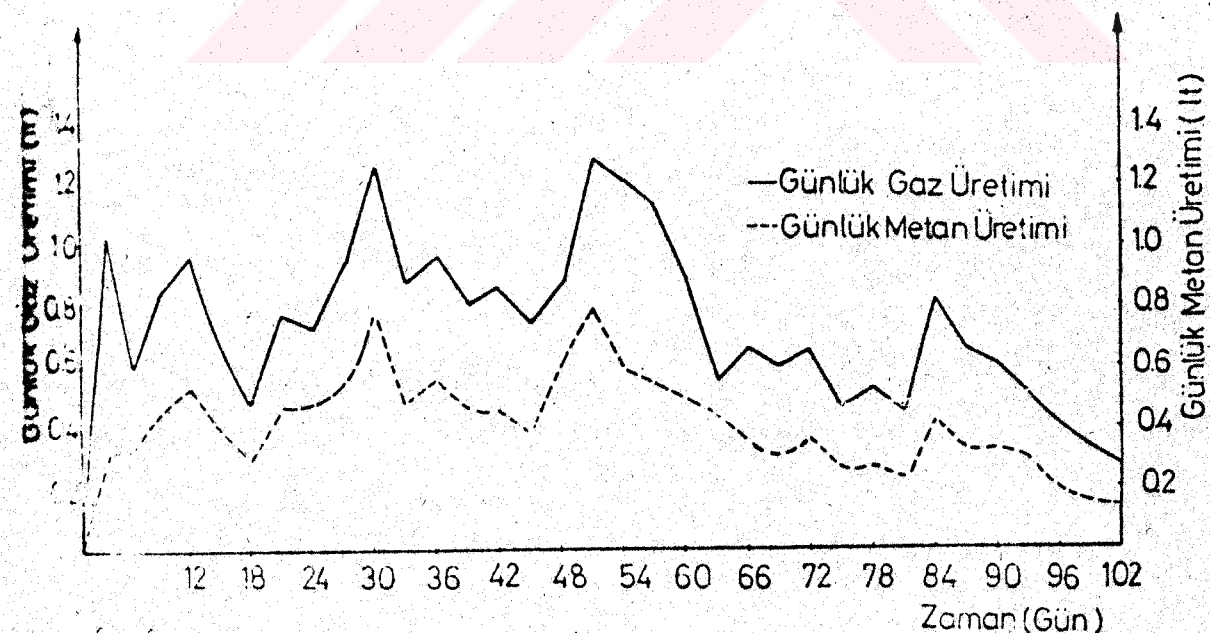
Gram biyolojik parçalananabilir uçucu katı için  
Toplam gaz ve metan üretimi.



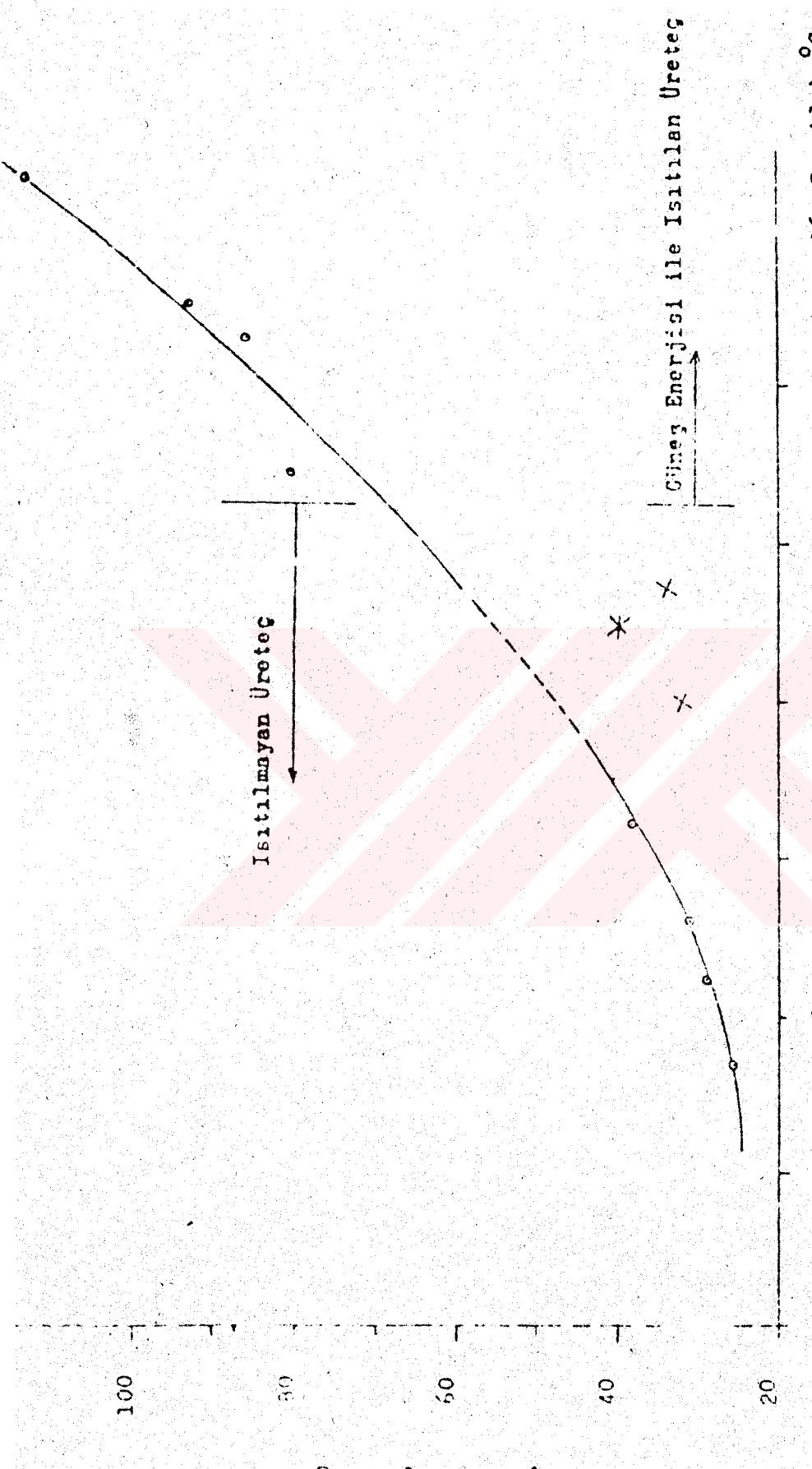
41.14 Gram biyolojik parçalananabilir uçucu katı için  
Günlük gaz ve metan üretimi.



51. 72 Gram Biyolojik parçalananabilir Uçucu Katı İçin Toplam Gaz ve Metan Üretimi

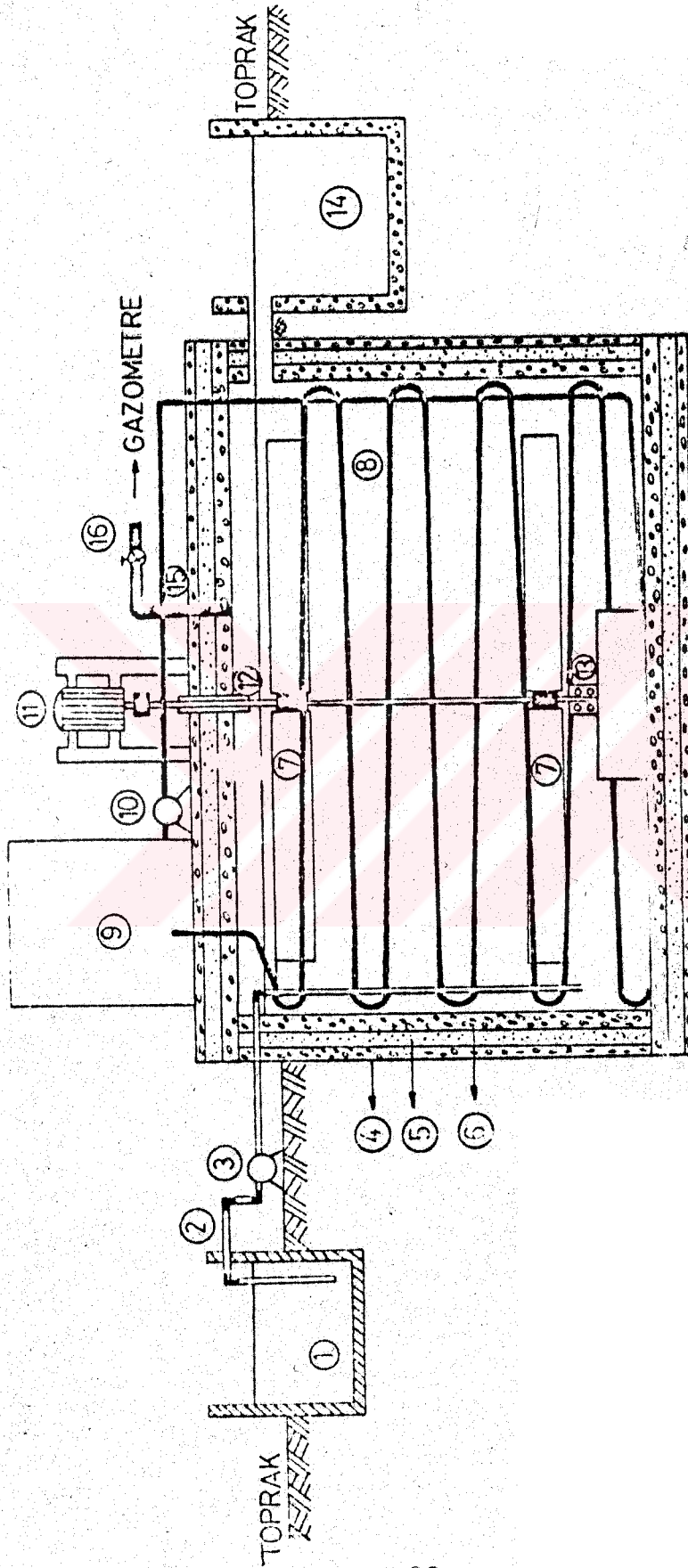


51. 72 Gram Biyolojik parçalananabilir Uçucu Katı İçin Günlük Gaz ve Metan Üretimi



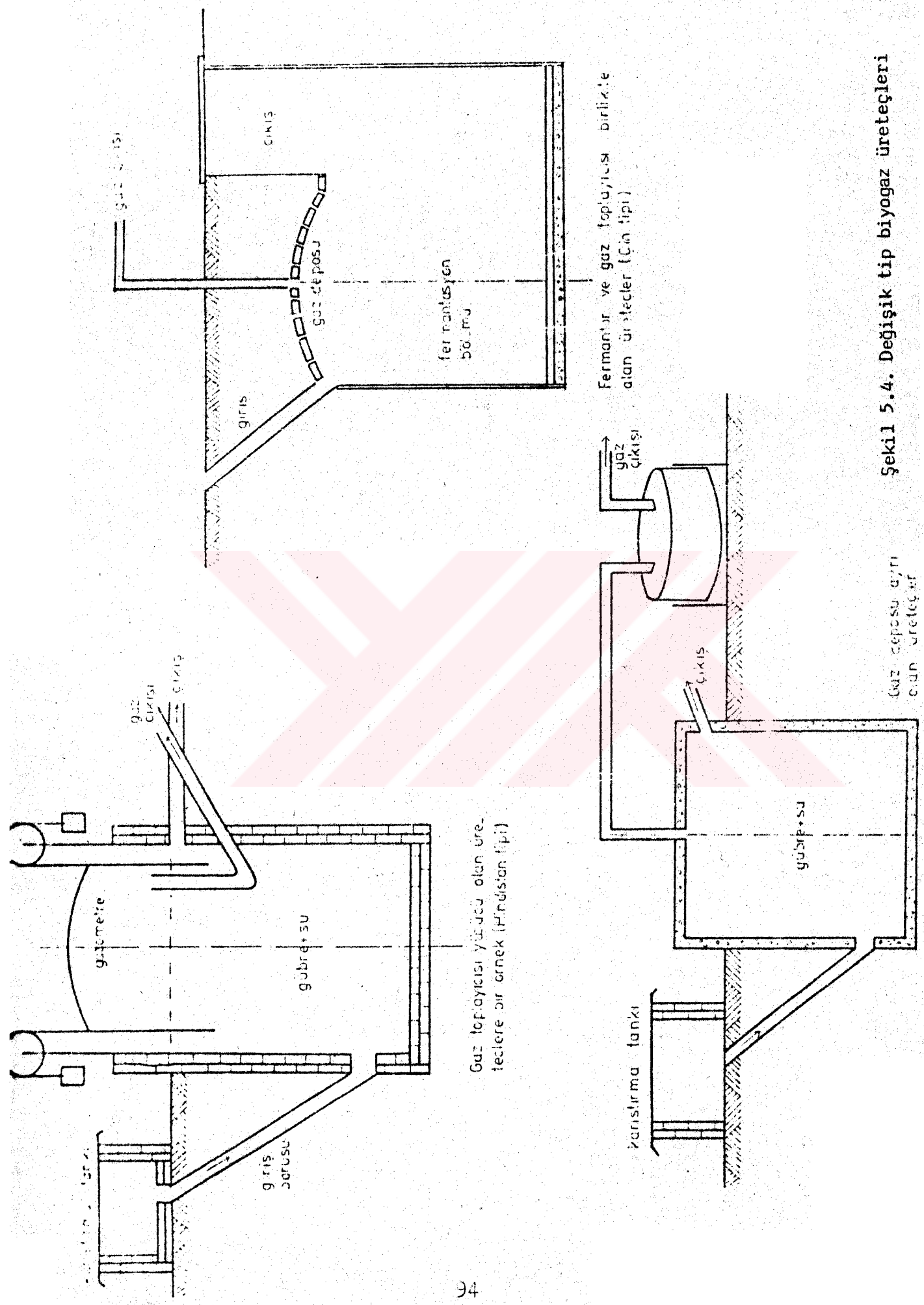
- Hindistan'dan alınan değerler,
- Güneşle ısıtilmada bekletilme süresi = 15-18
- Nepal'den alınan değer,
- Bir A.B.Devletleri'nden alınan değer.
- Toplam Koli Mağde = ~ 3-10

Şekil 6.6. Gübre-Su karışımının sıcaklığından bir fonksiyonu olarak enz üretime



Sekil 6.5. Ege Üniversitesi'nde kurulan tesisin şeması

- ① Besleme Havuzu (2 Gün Kapasitesi)
- ② Besleme Borusu (2")
- ③ Besleme Pompası
- ④ Fermentör Dış Beton Duvarı
- ⑤ İzolasyon
- ⑥ Fermentör İç Beton Duvarı
- ⑦ Karıştırma Kanalları
- ⑧ Isıtma Kengal Borusu (1/2" Boru)
- ⑨ Su Isıtma Sistemi
- ⑩ Sicak Su Sirkülasyon Pompası
- ⑪ Karıştırıcı Motoru
- ⑫ Sıvıdmaz Salmastırma
- ⑬ Karıştırıcı Mıll Yatağı
- ⑭ Boşaltma Havuzu
- ⑮ Gaz Çıkış Borusu
- ⑯ Gaz Vanası



**Sekil 5.4.** Değişik tip biyogaz üreticileri

卷之三